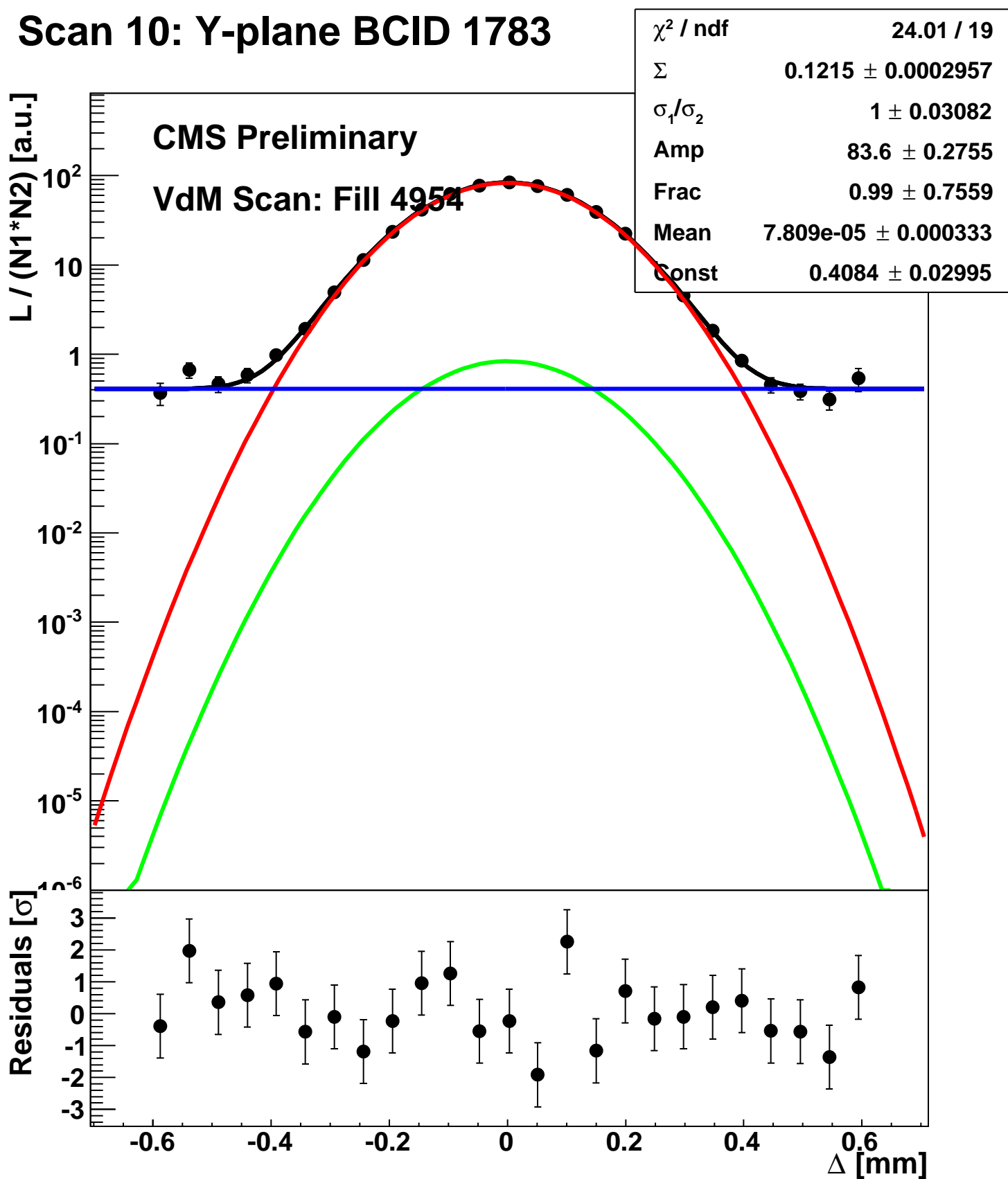
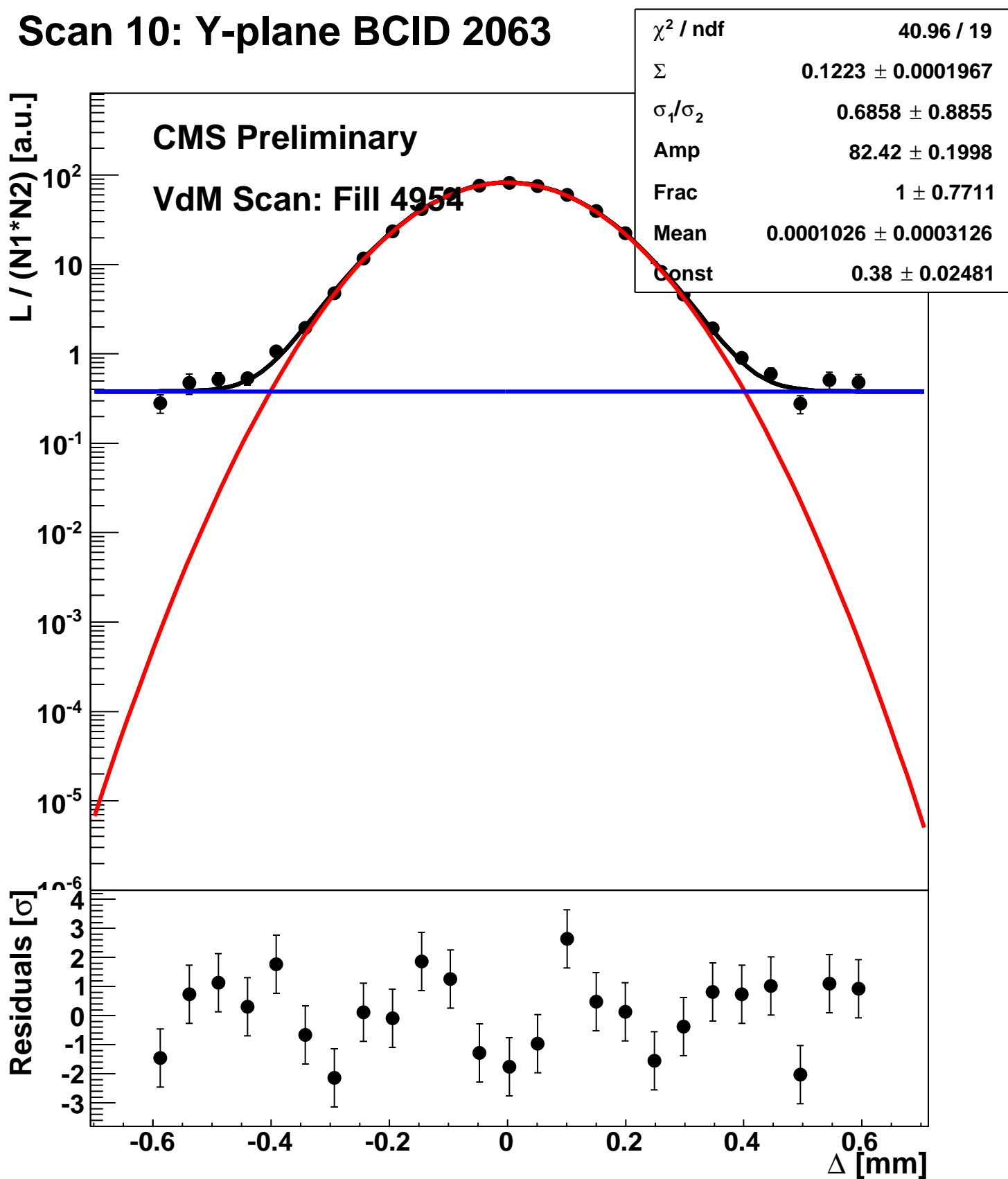


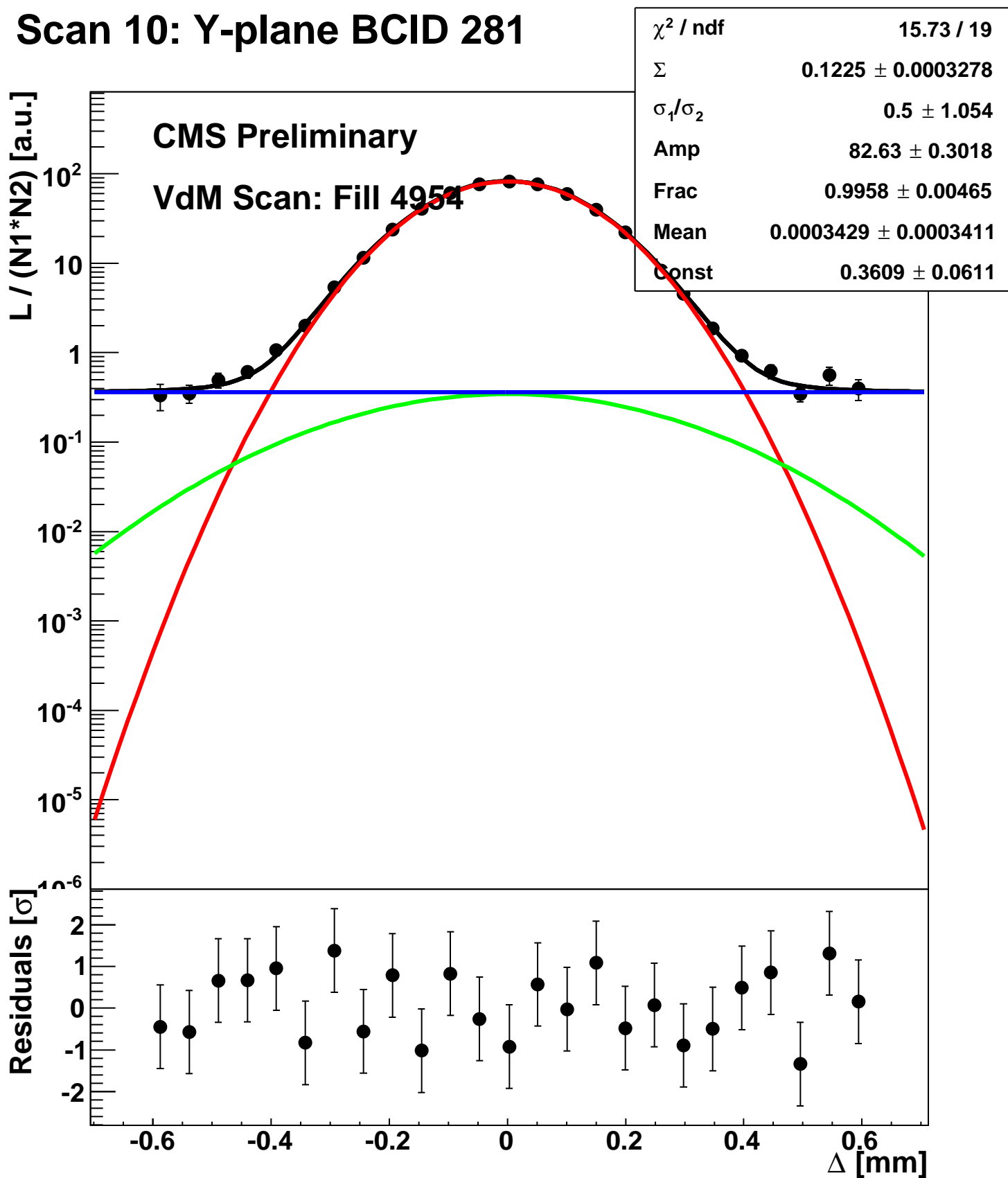
Scan 10: Y-plane BCID 1783



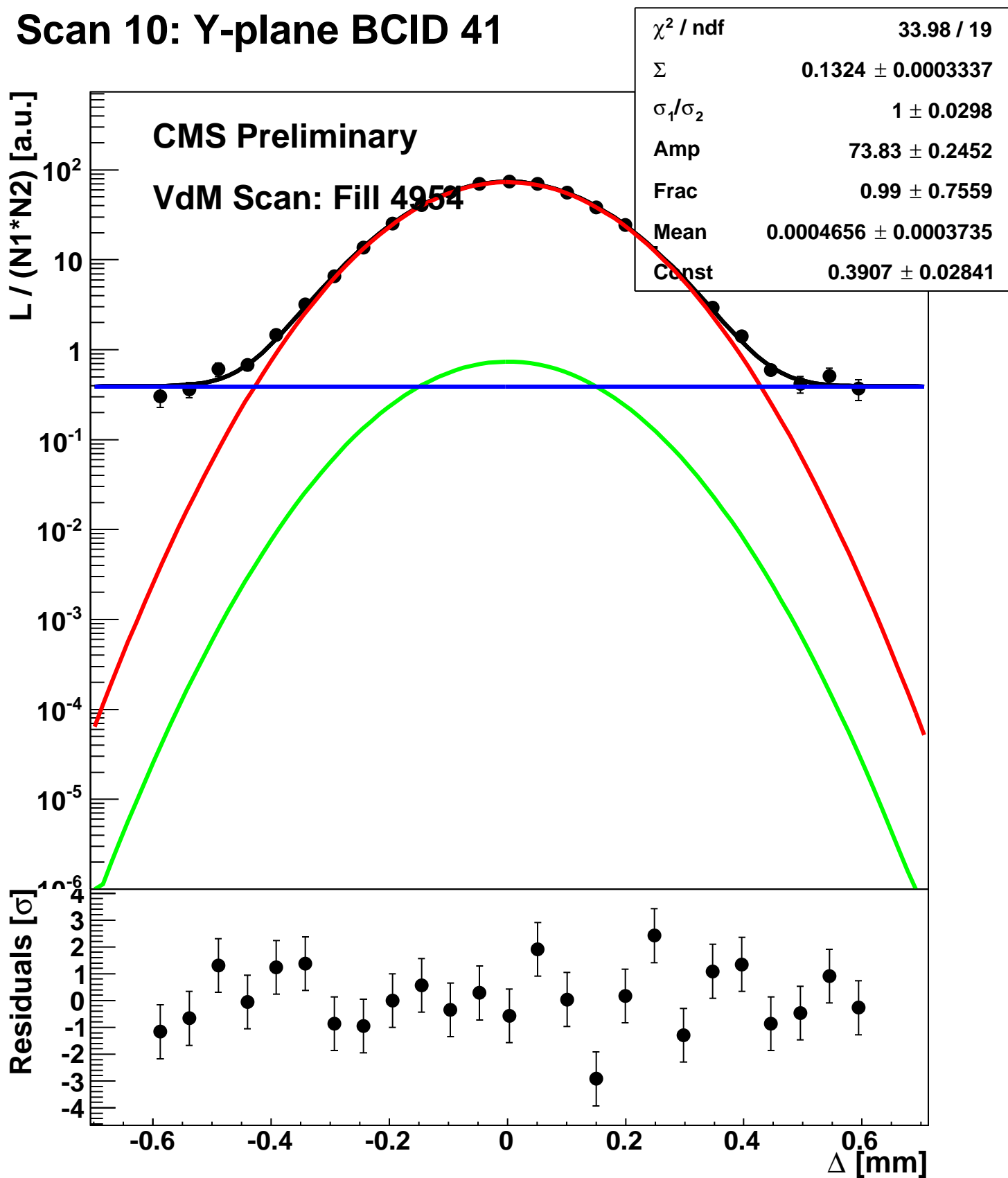
Scan 10: Y-plane BCID 2063



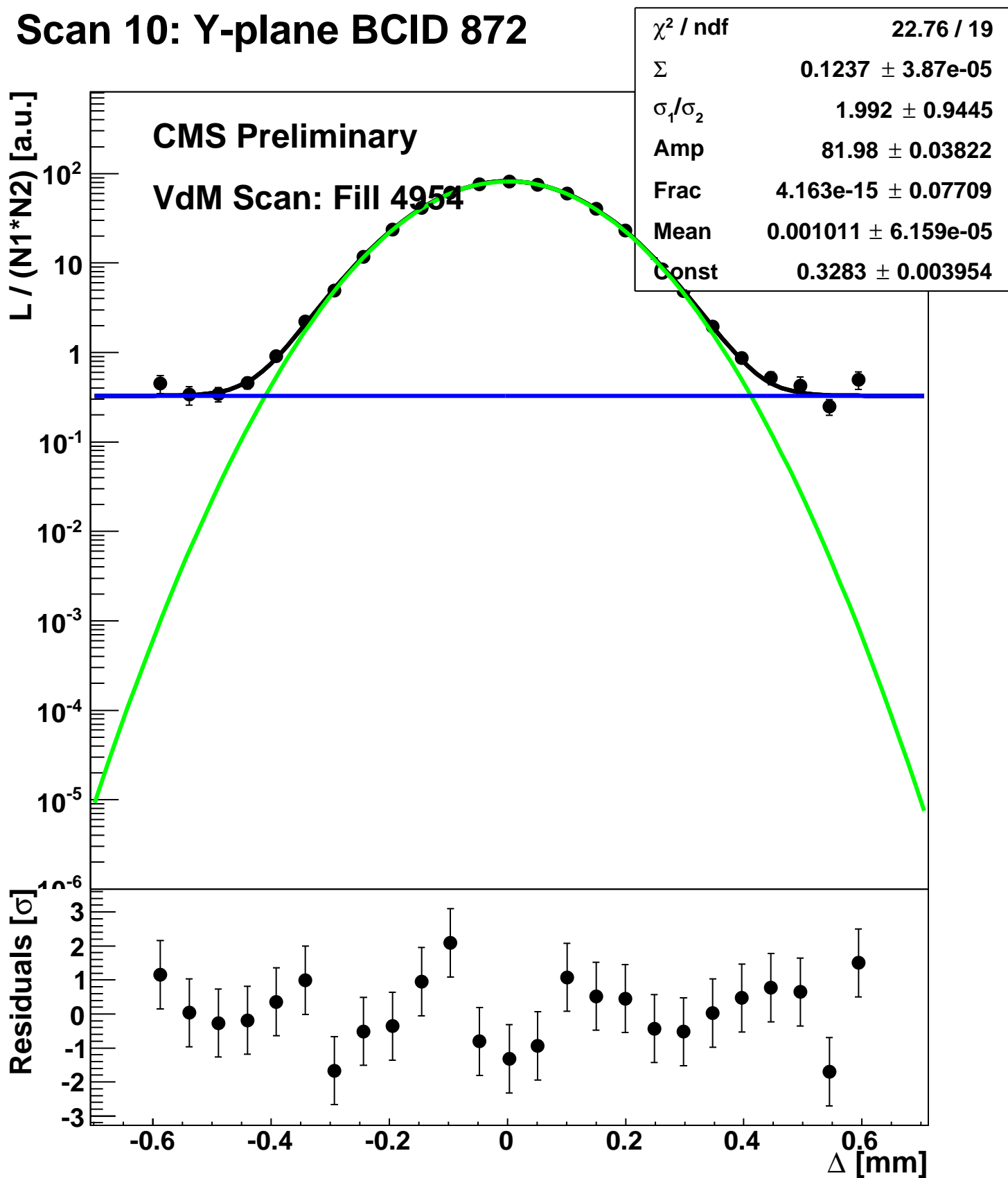
Scan 10: Y-plane BCID 281



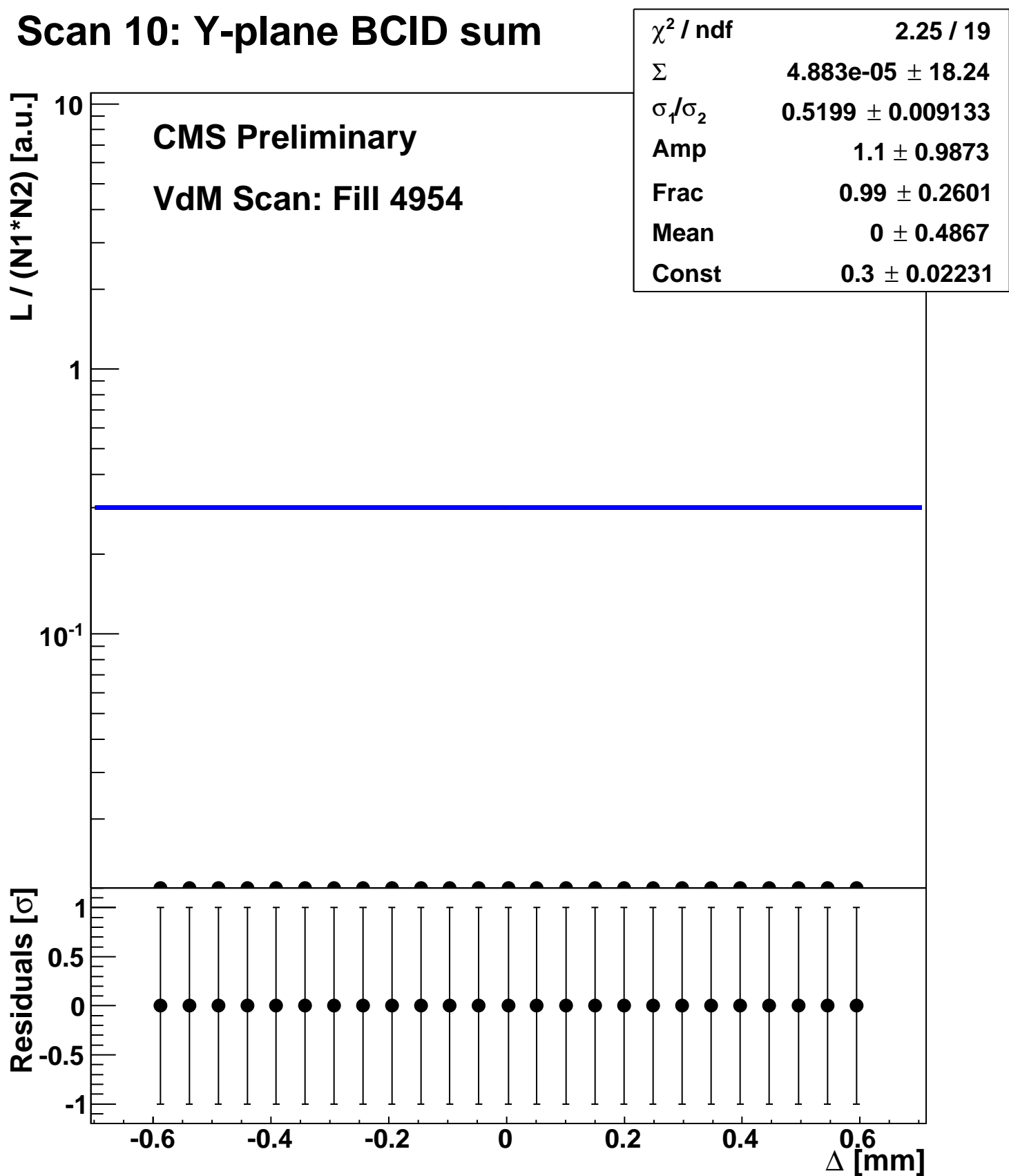
Scan 10: Y-plane BCID 41



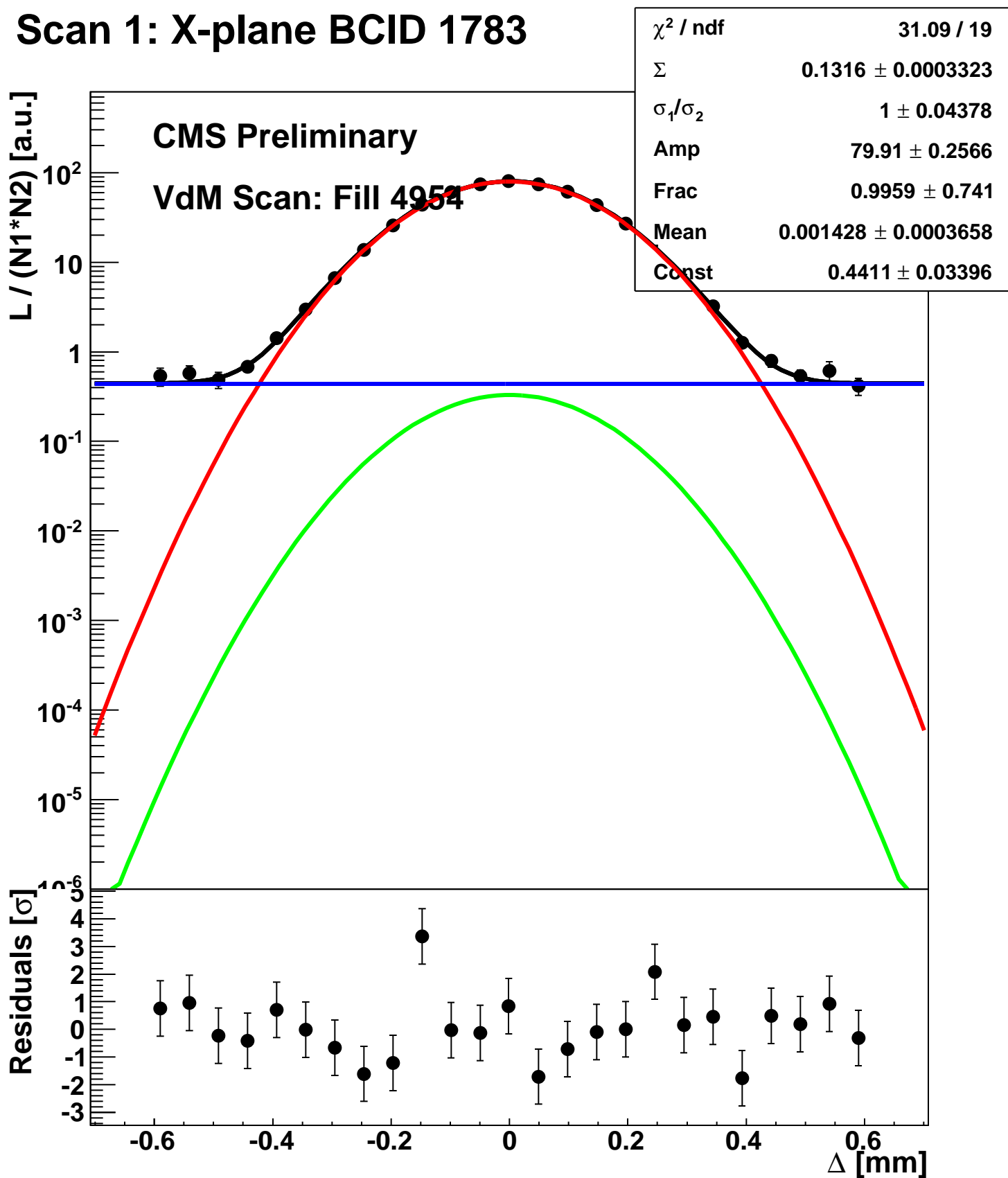
Scan 10: Y-plane BCID 872



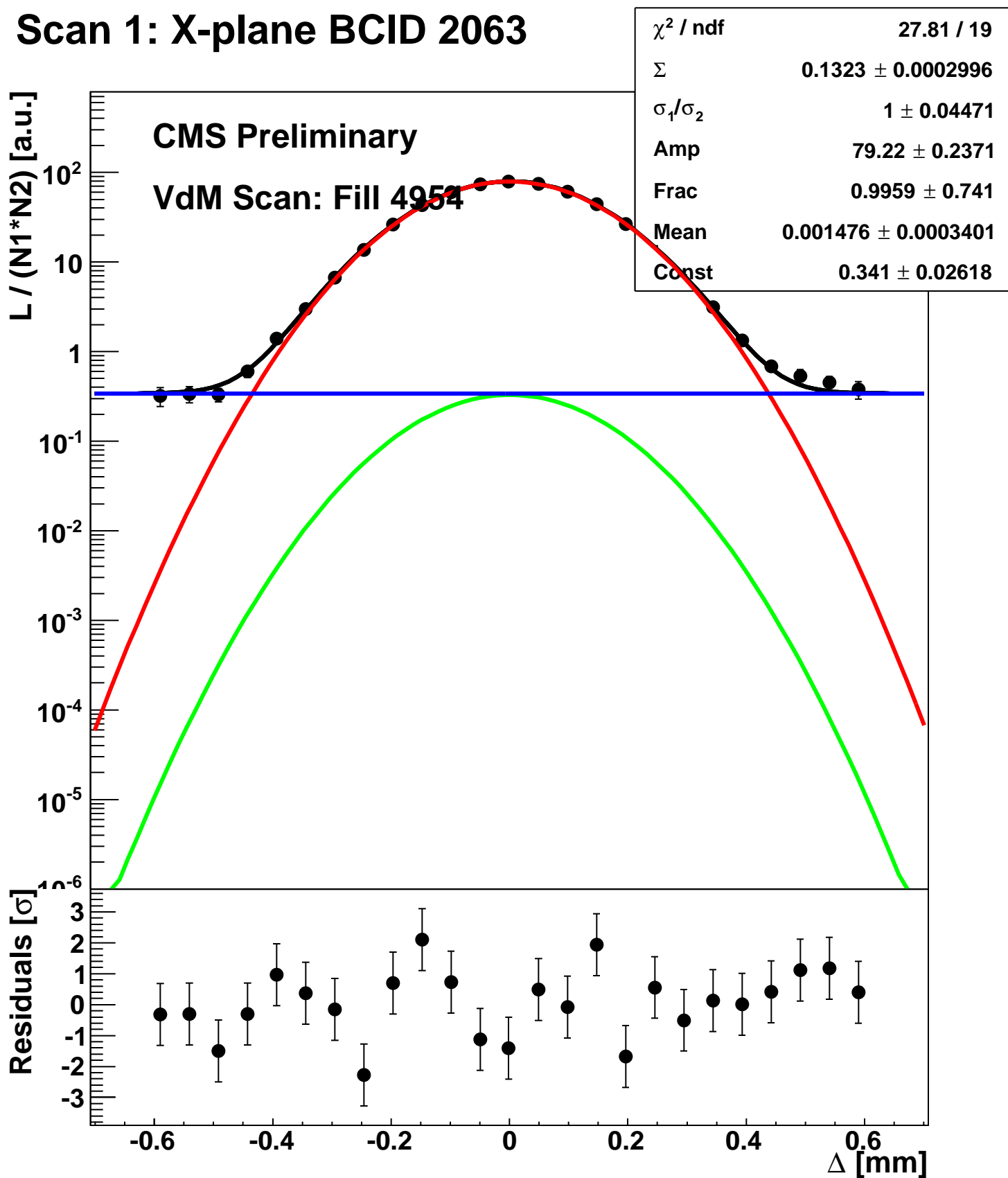
Scan 10: Y-plane BCID sum



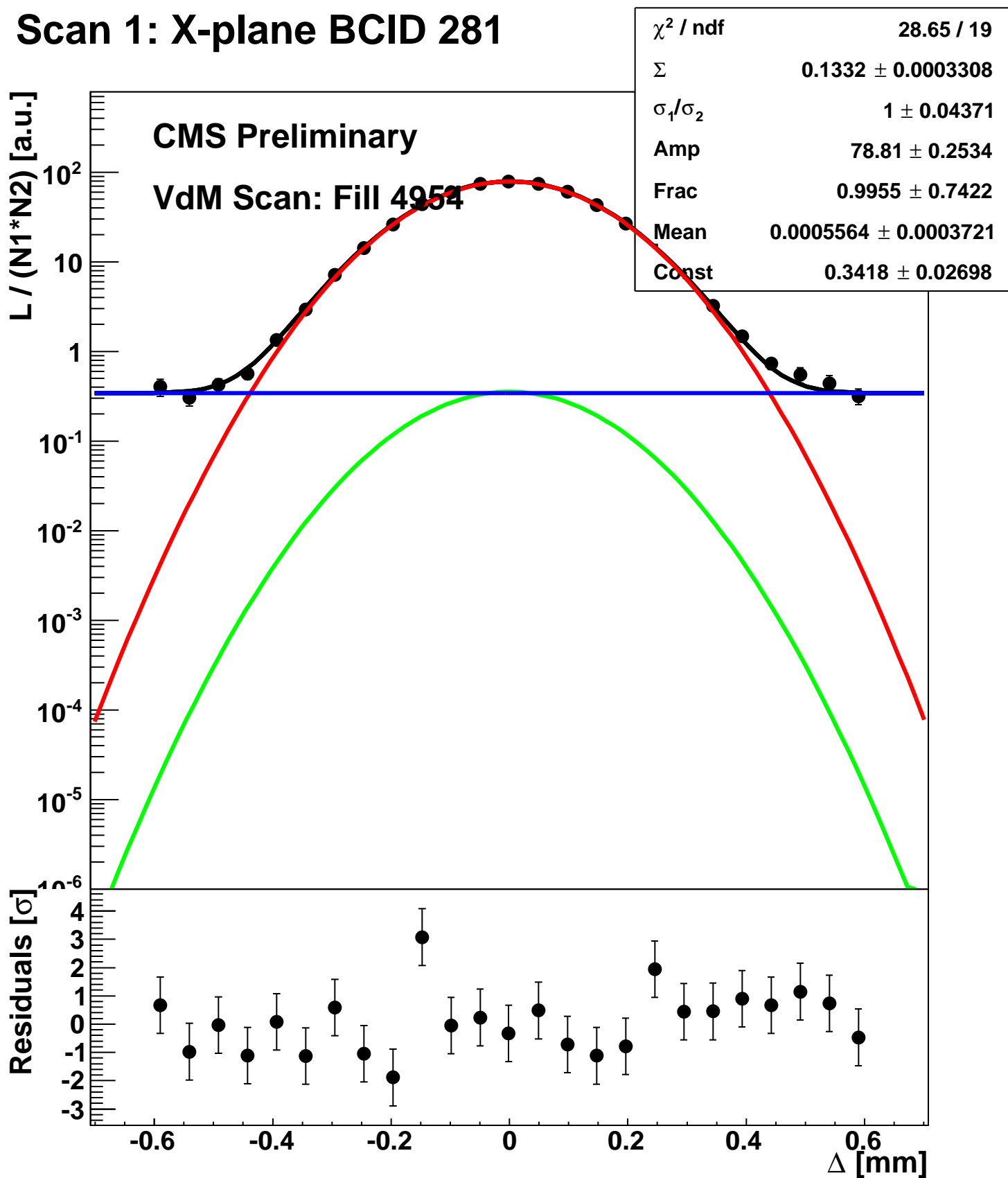
Scan 1: X-plane BCID 1783



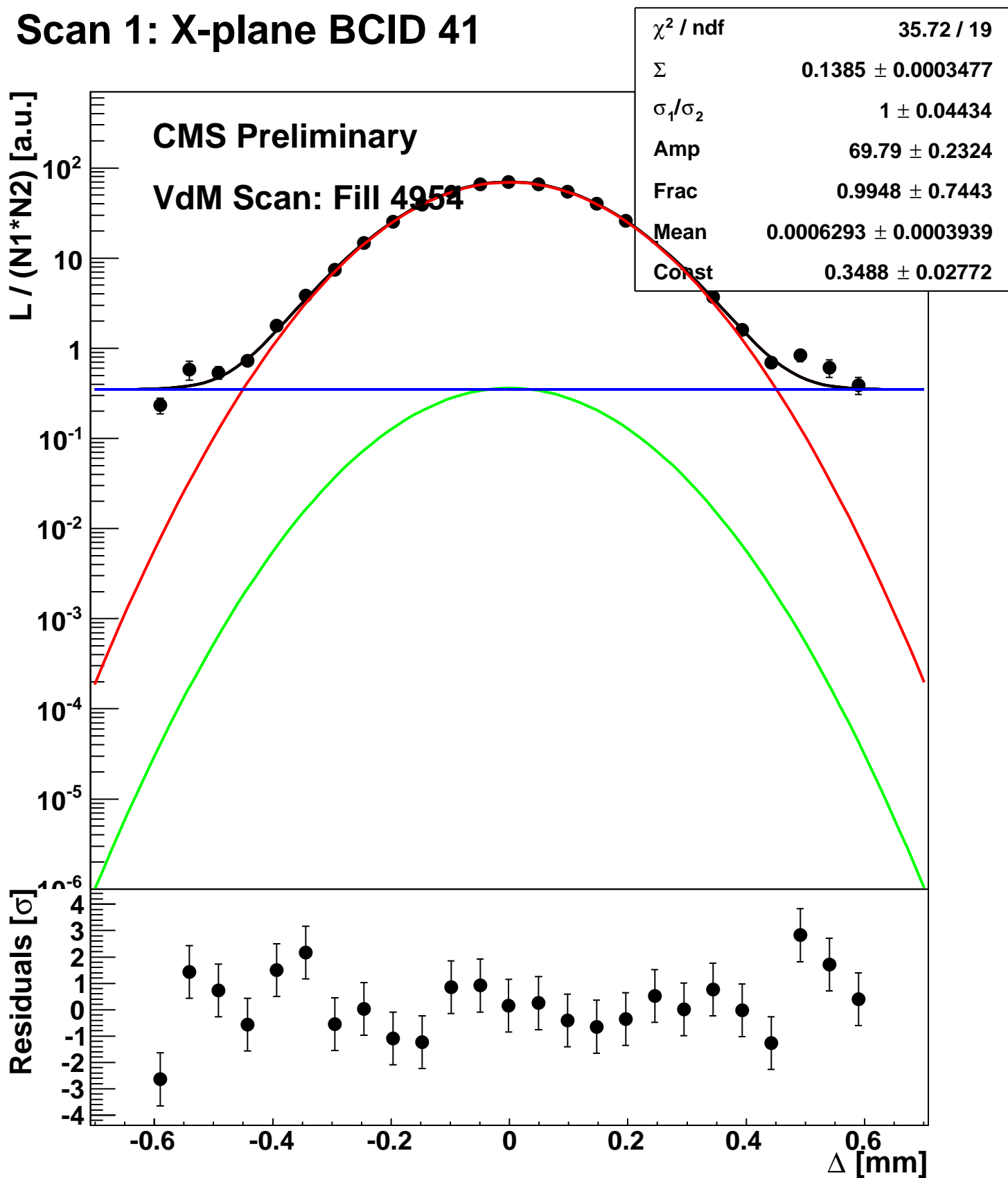
Scan 1: X-plane BCID 2063



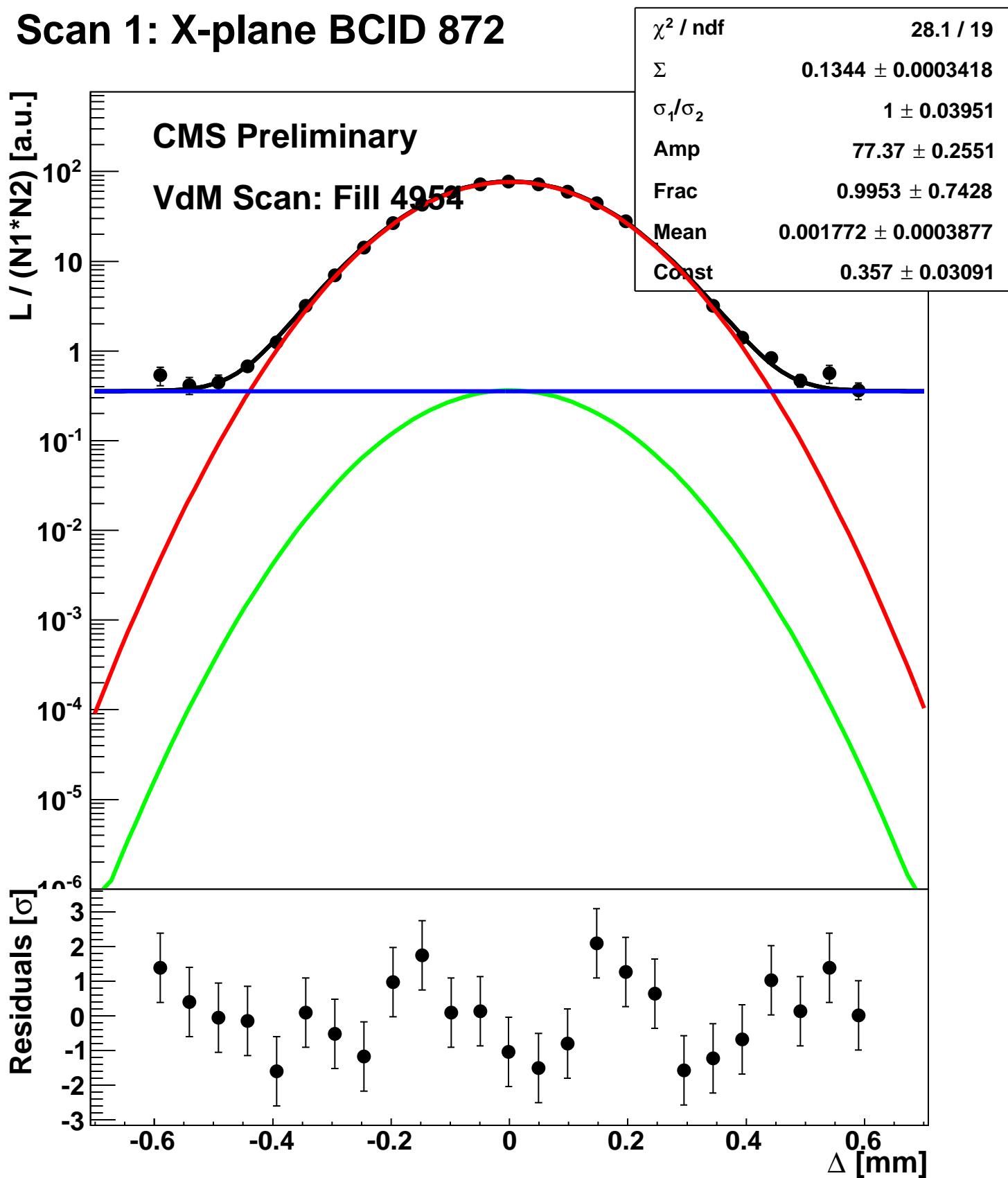
Scan 1: X-plane BCID 281



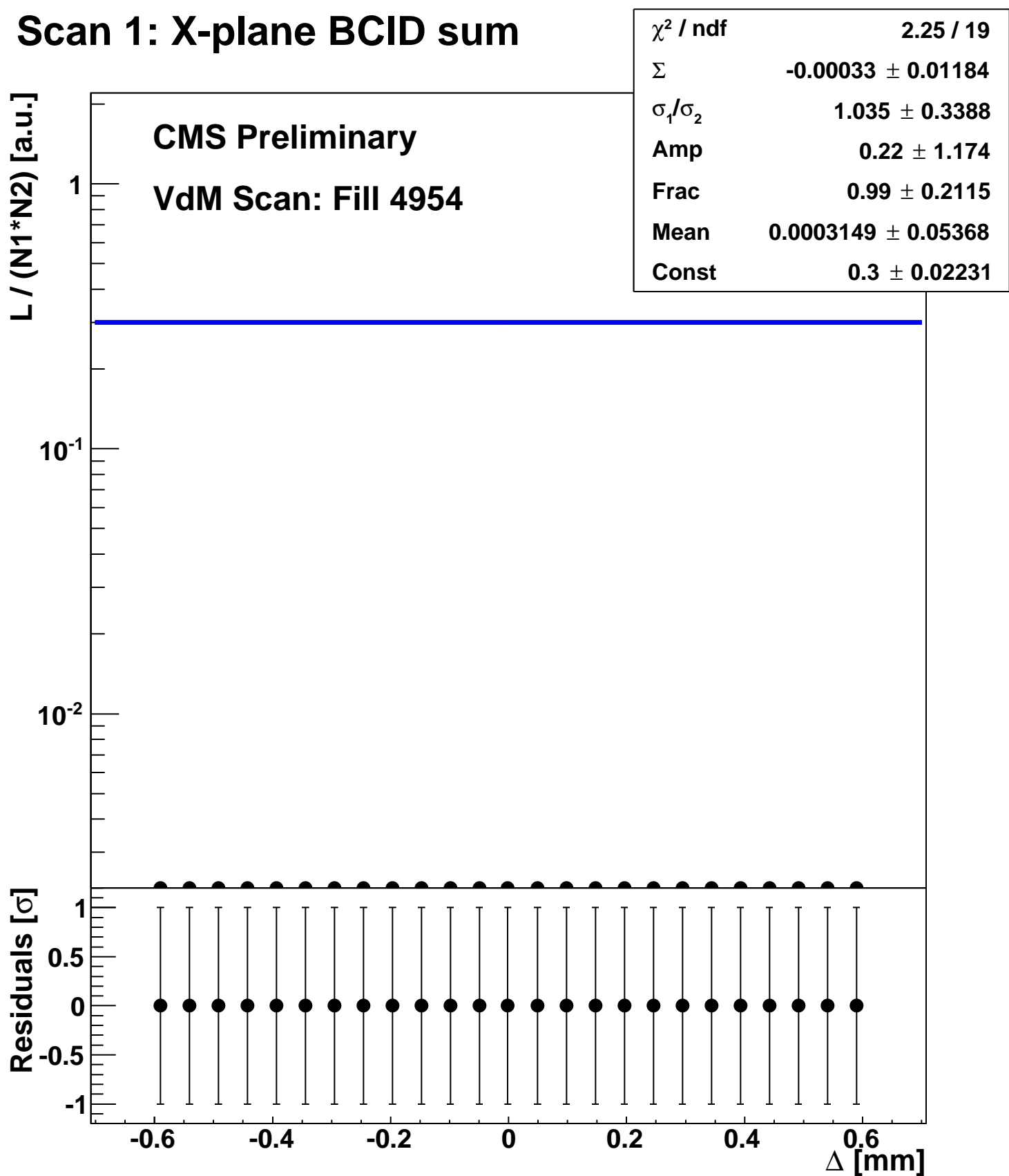
Scan 1: X-plane BCID 41



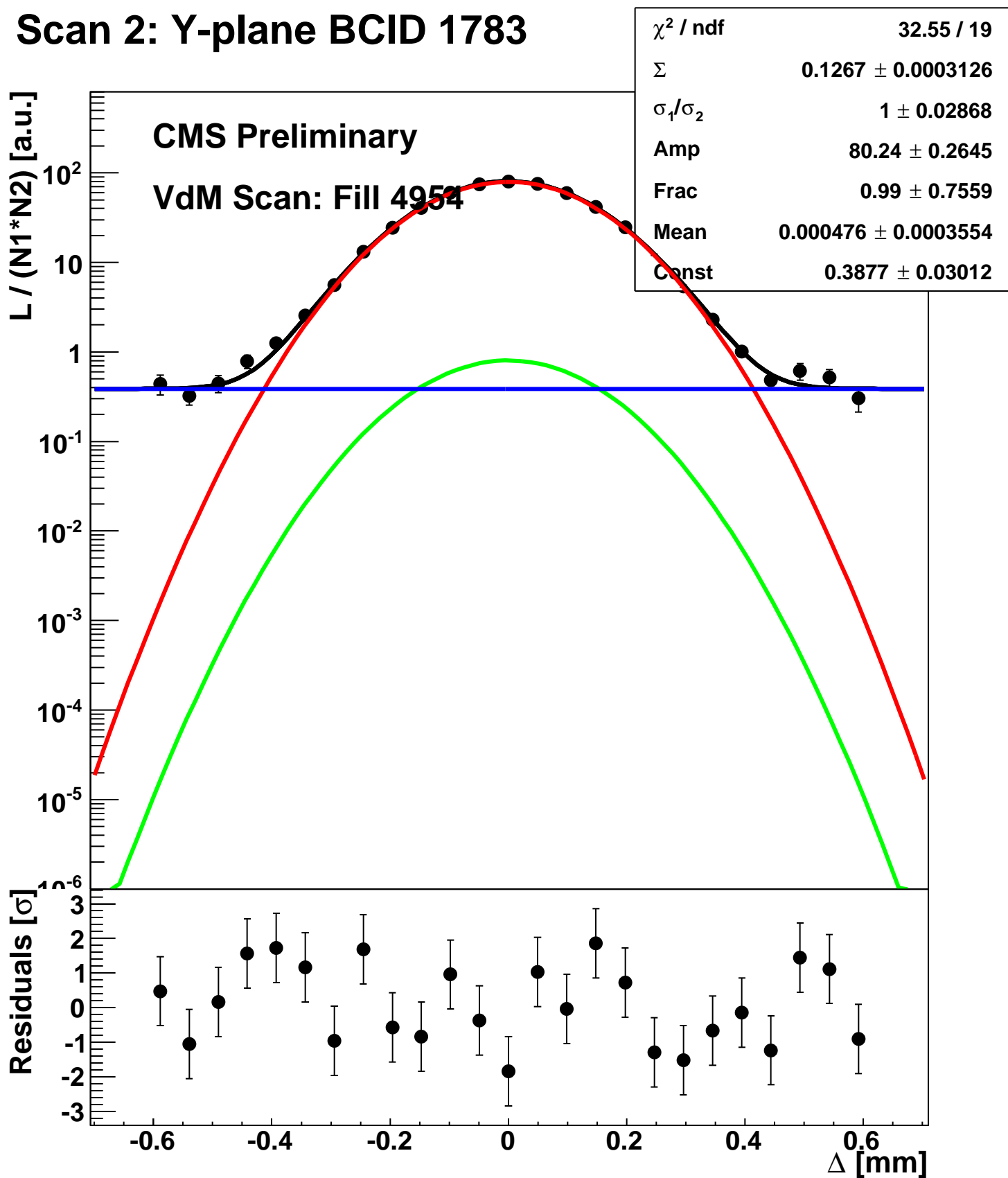
Scan 1: X-plane BCID 872



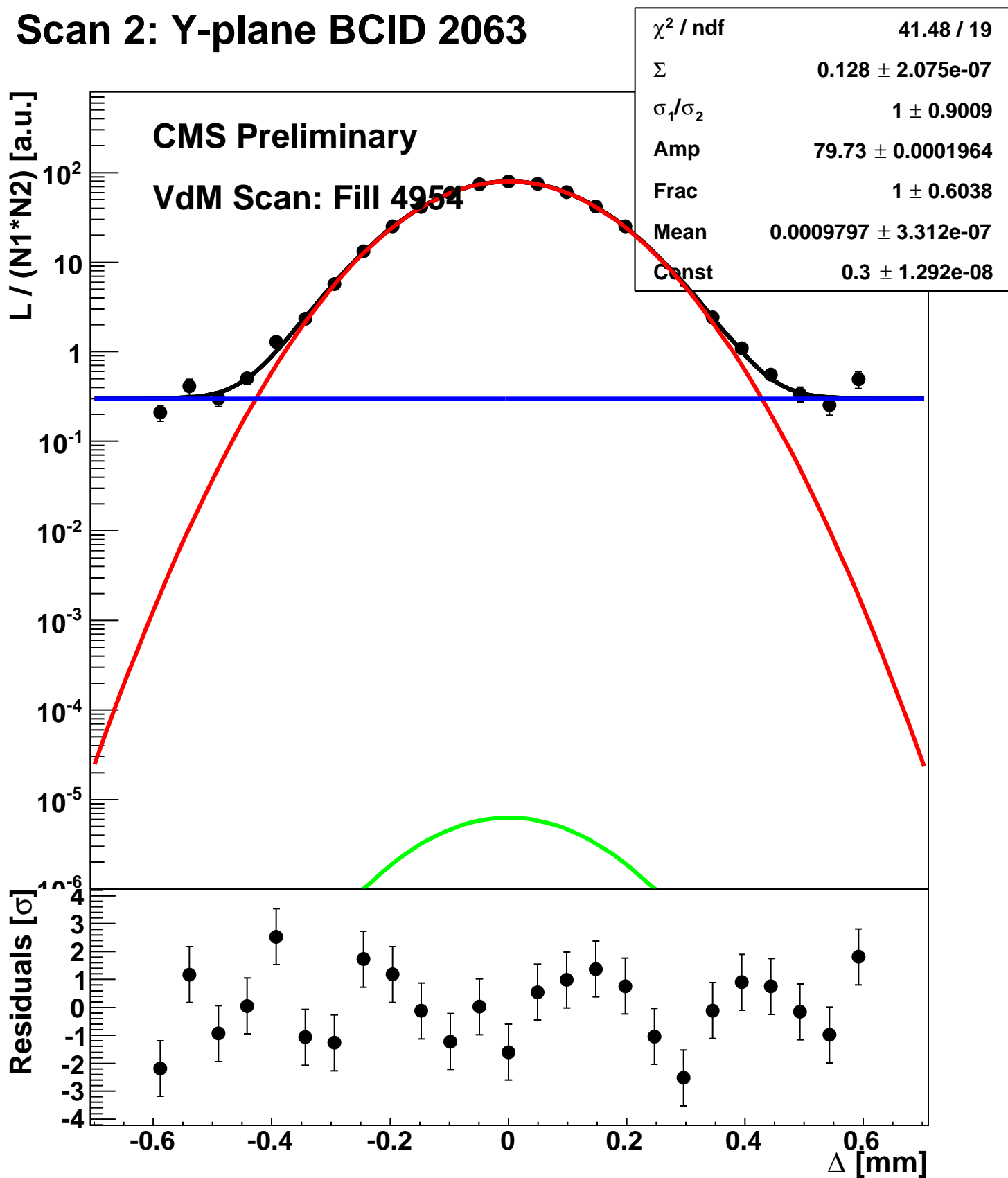
Scan 1: X-plane BCID sum



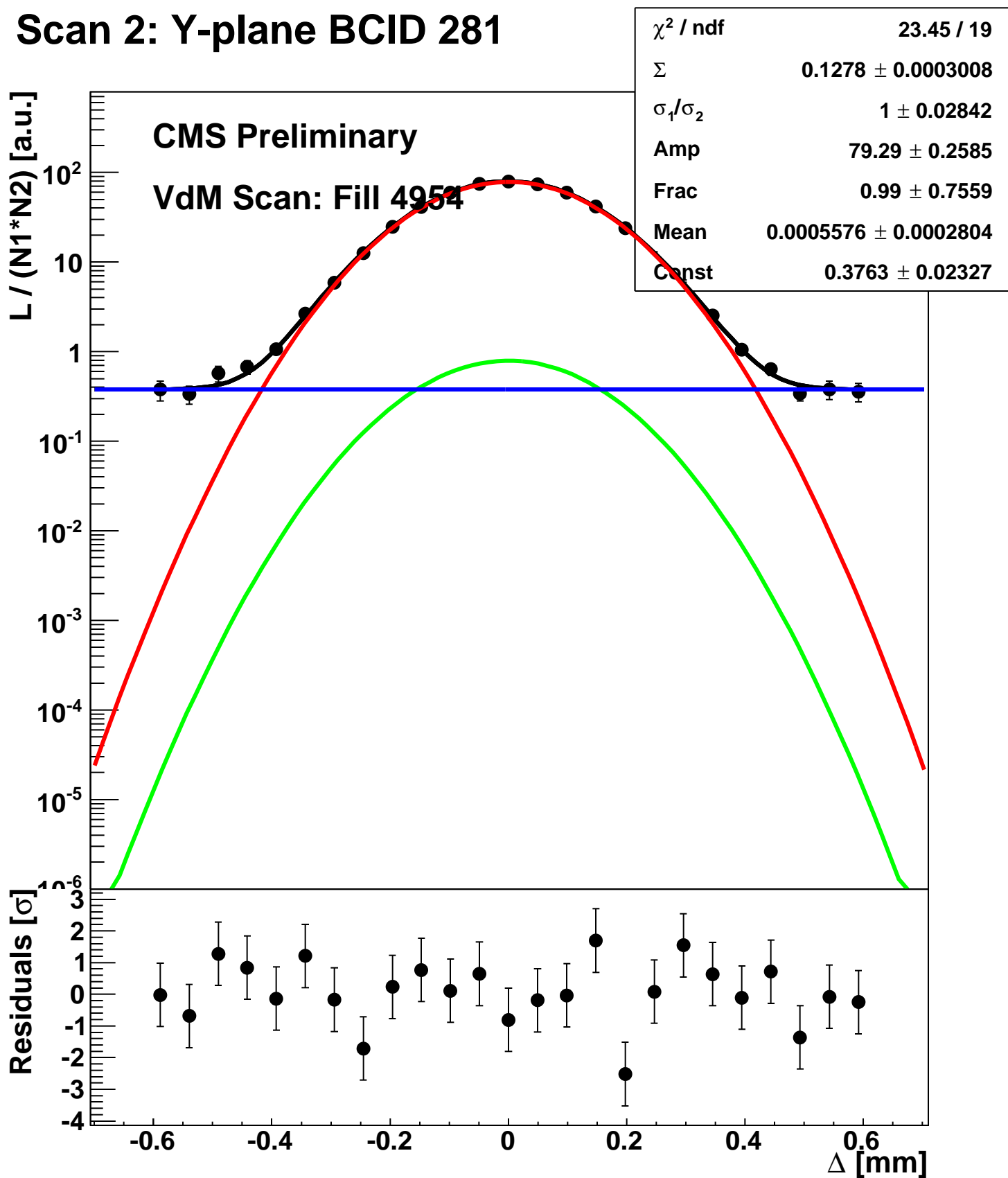
Scan 2: Y-plane BCID 1783



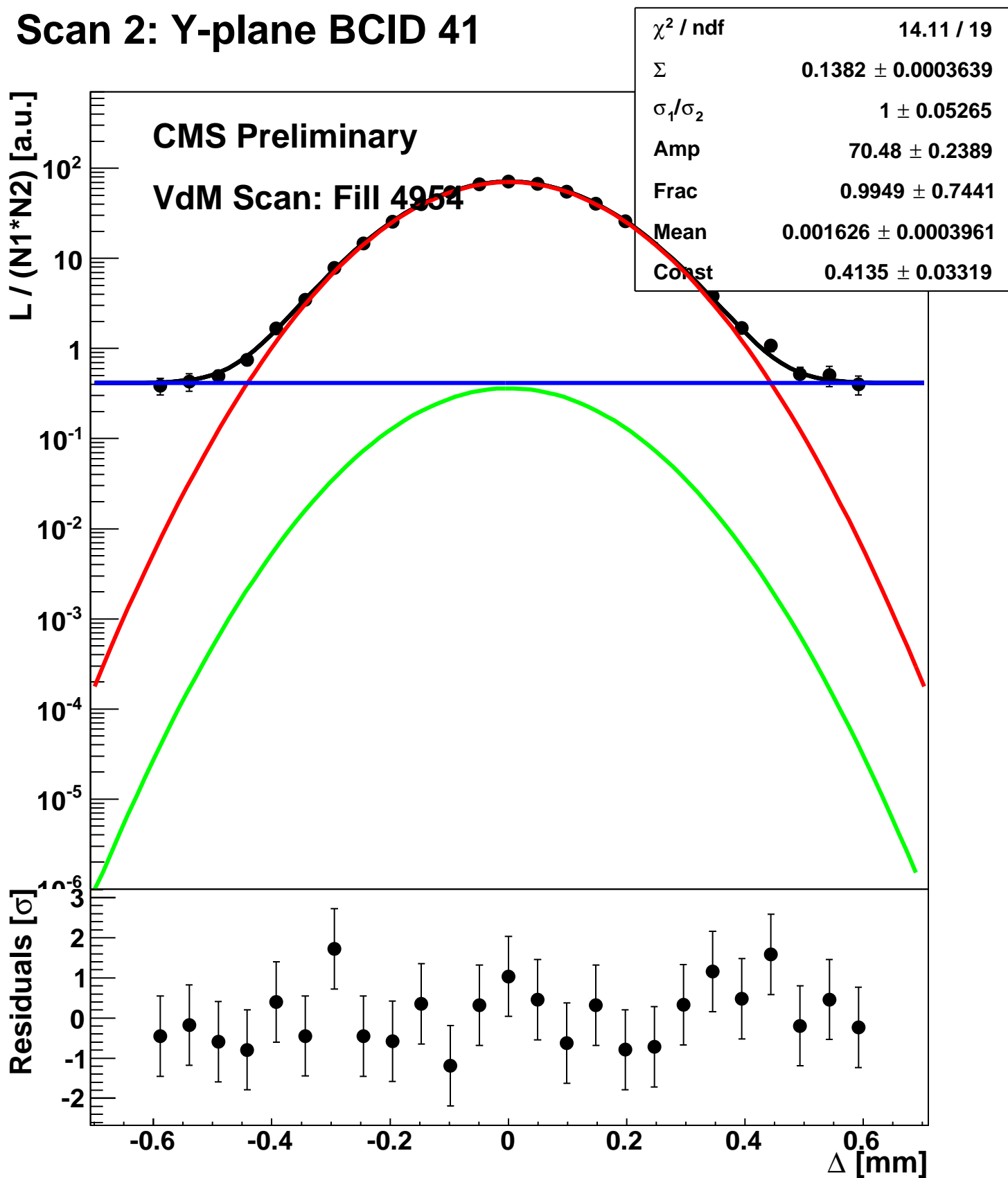
Scan 2: Y-plane BCID 2063



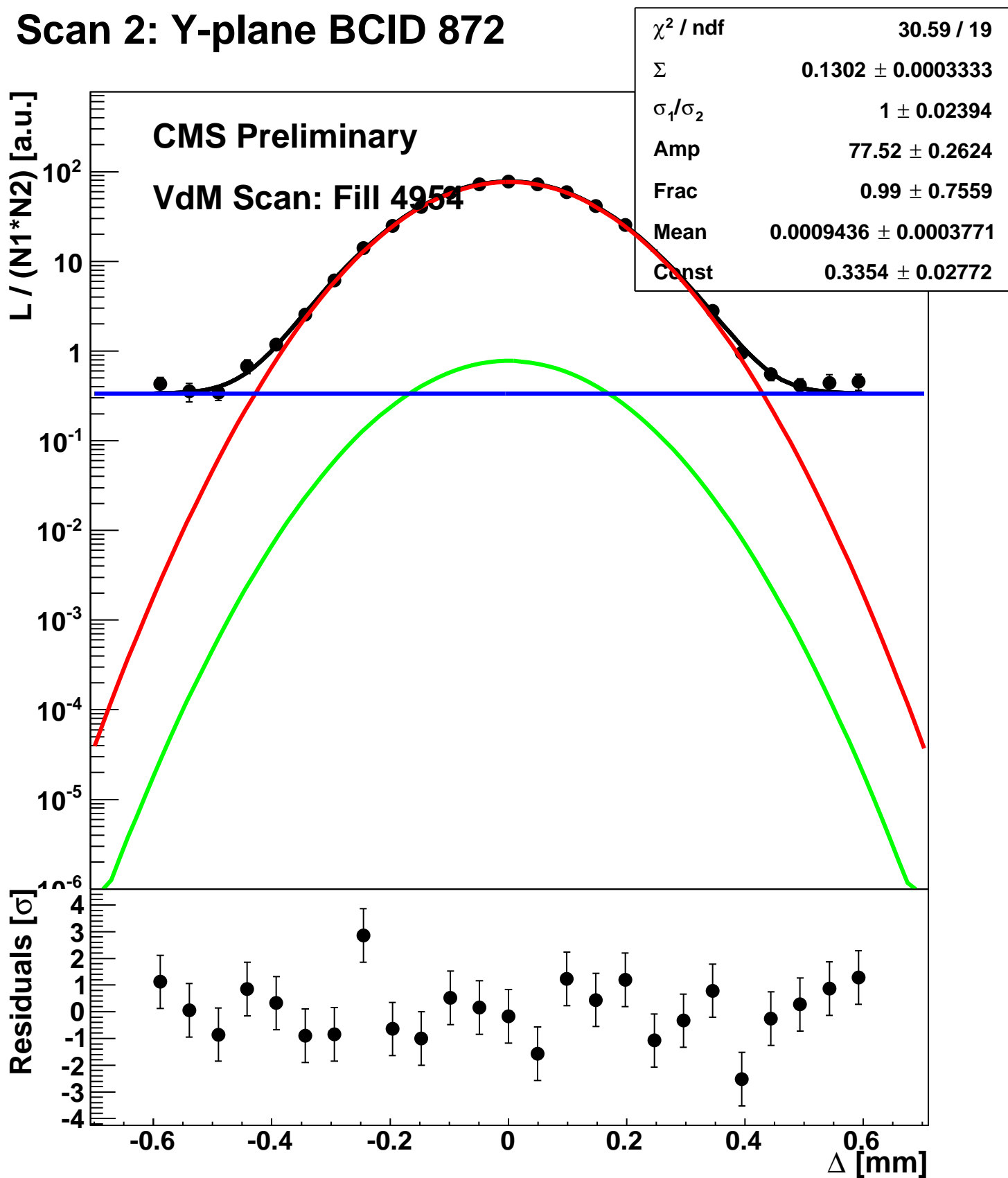
Scan 2: Y-plane BCID 281



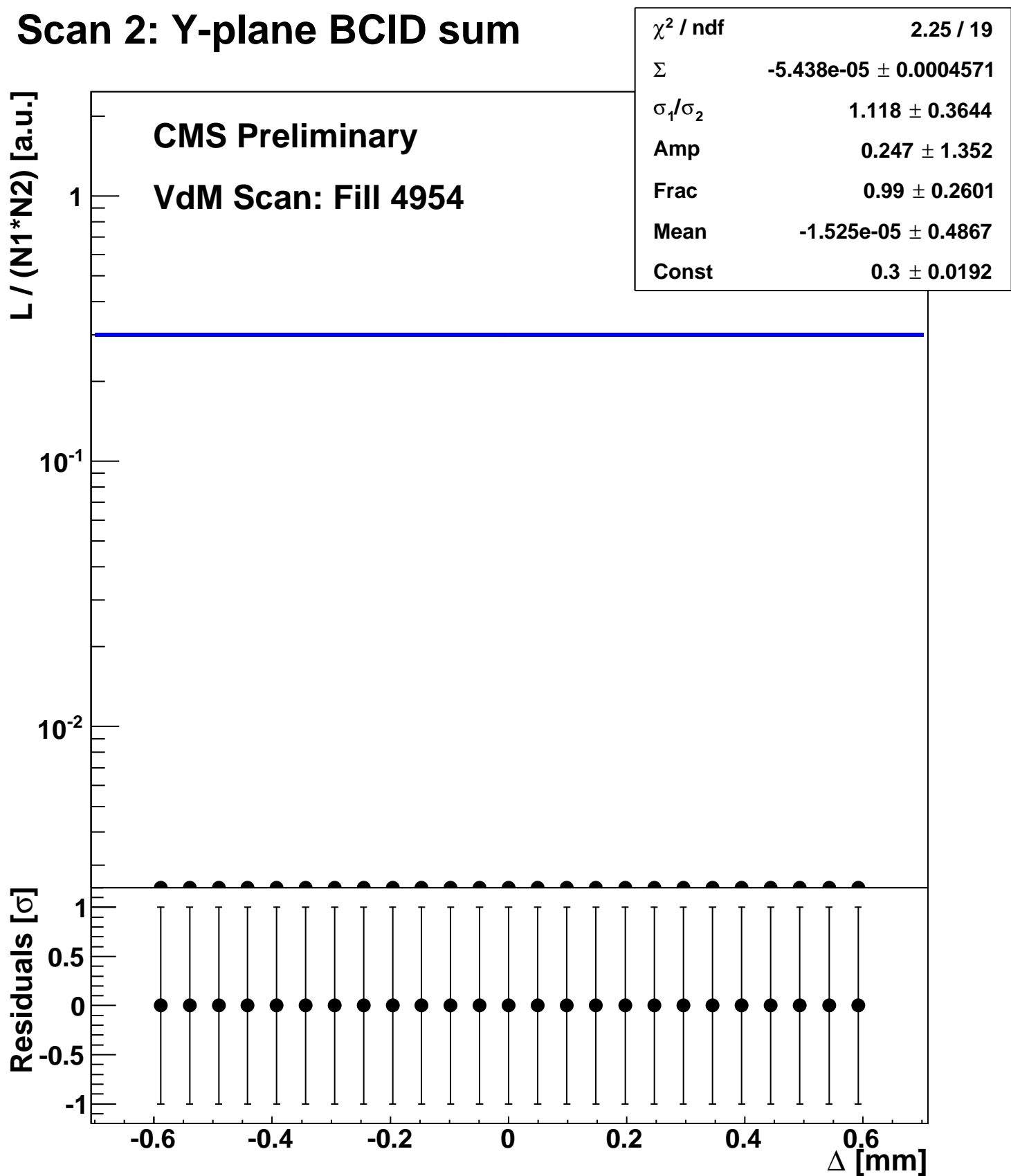
Scan 2: Y-plane BCID 41



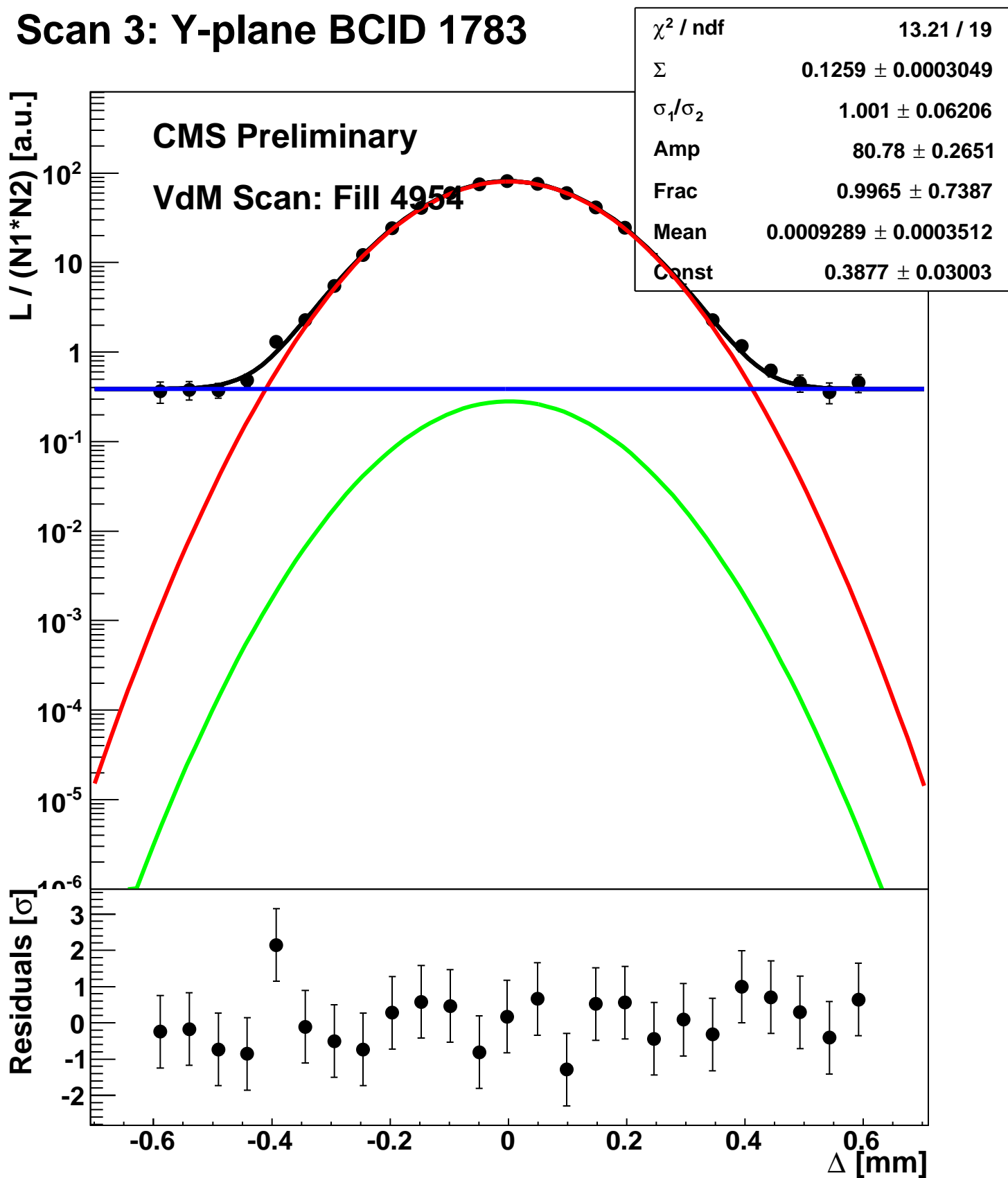
Scan 2: Y-plane BCID 872



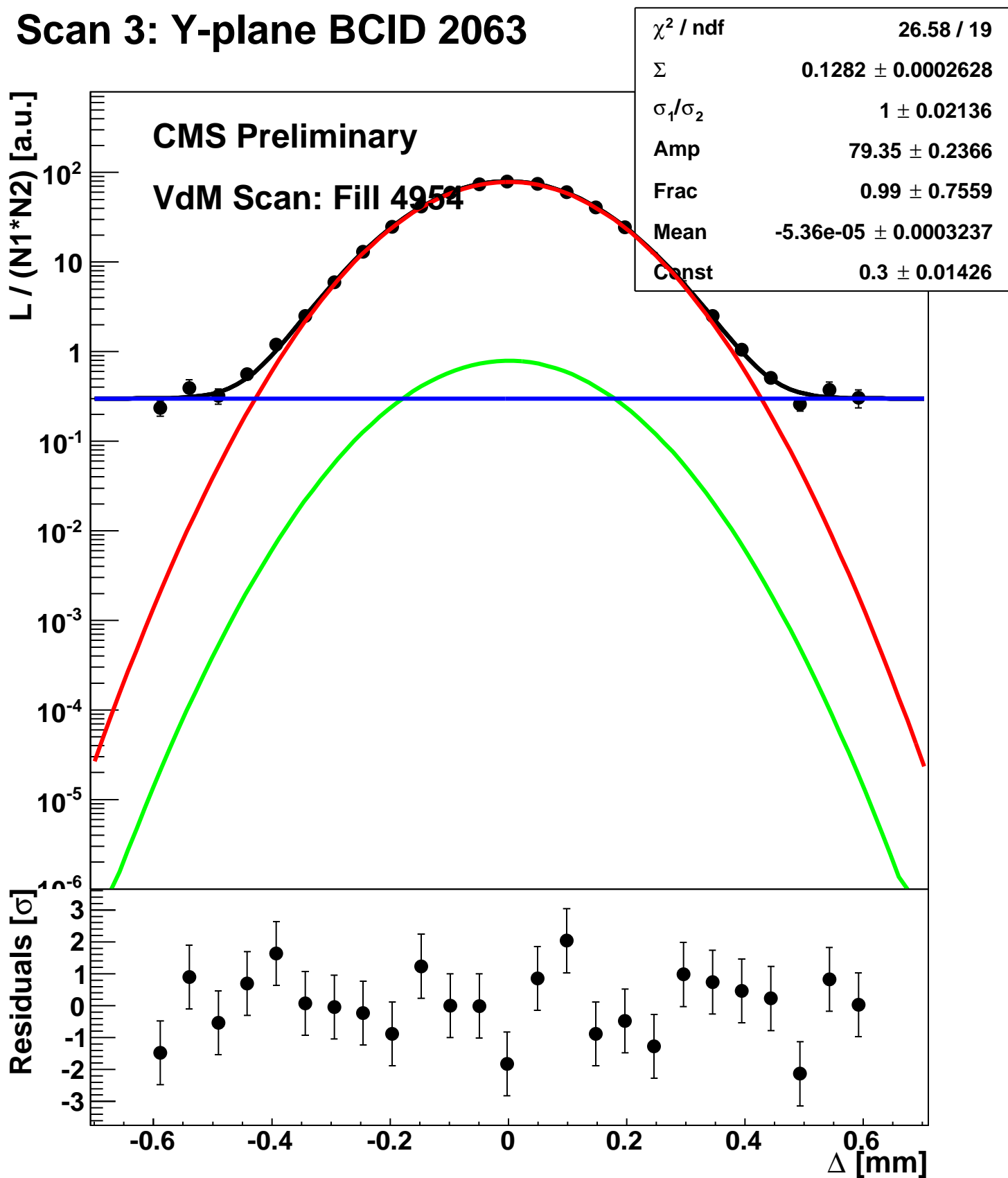
Scan 2: Y-plane BCID sum



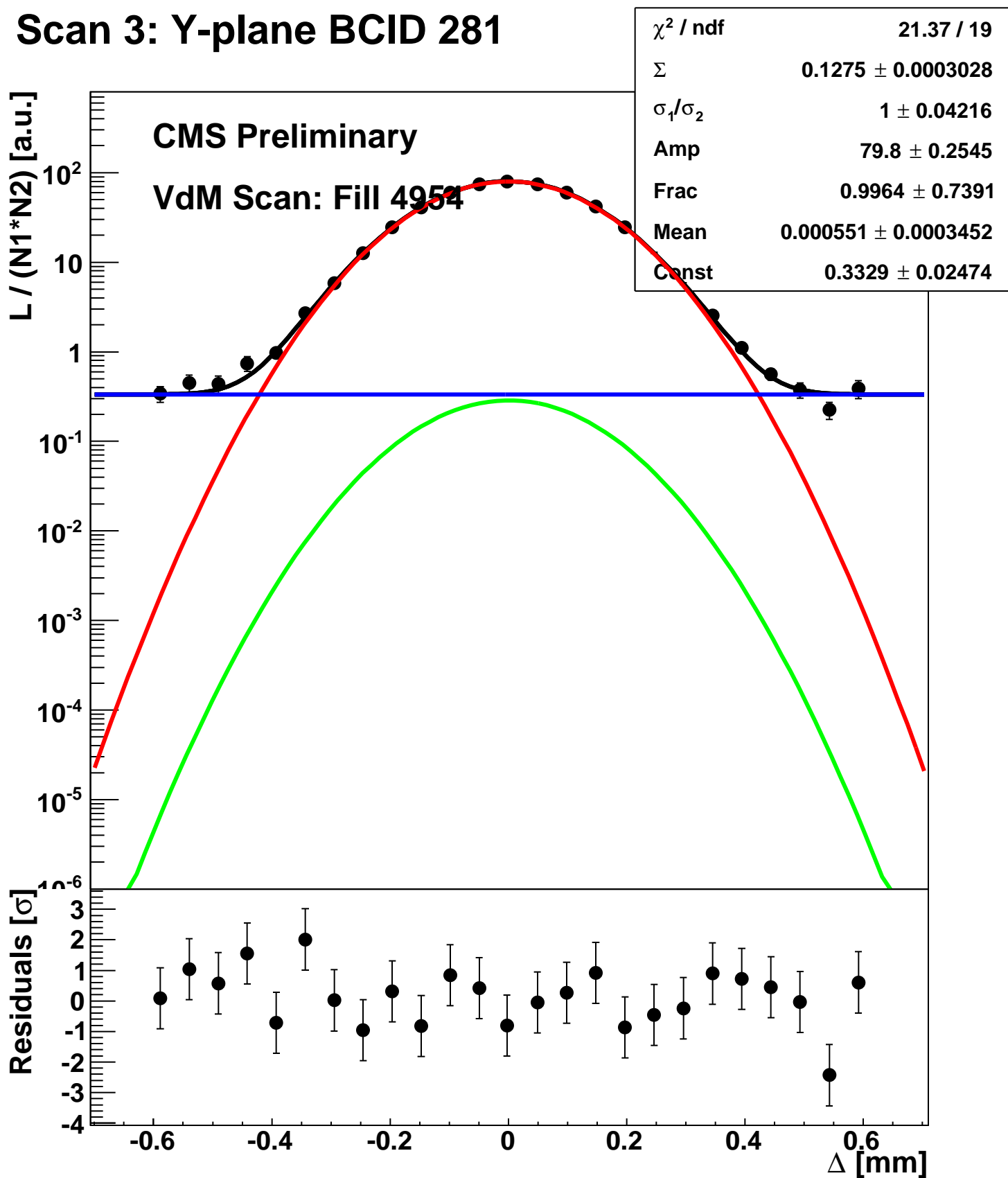
Scan 3: Y-plane BCID 1783



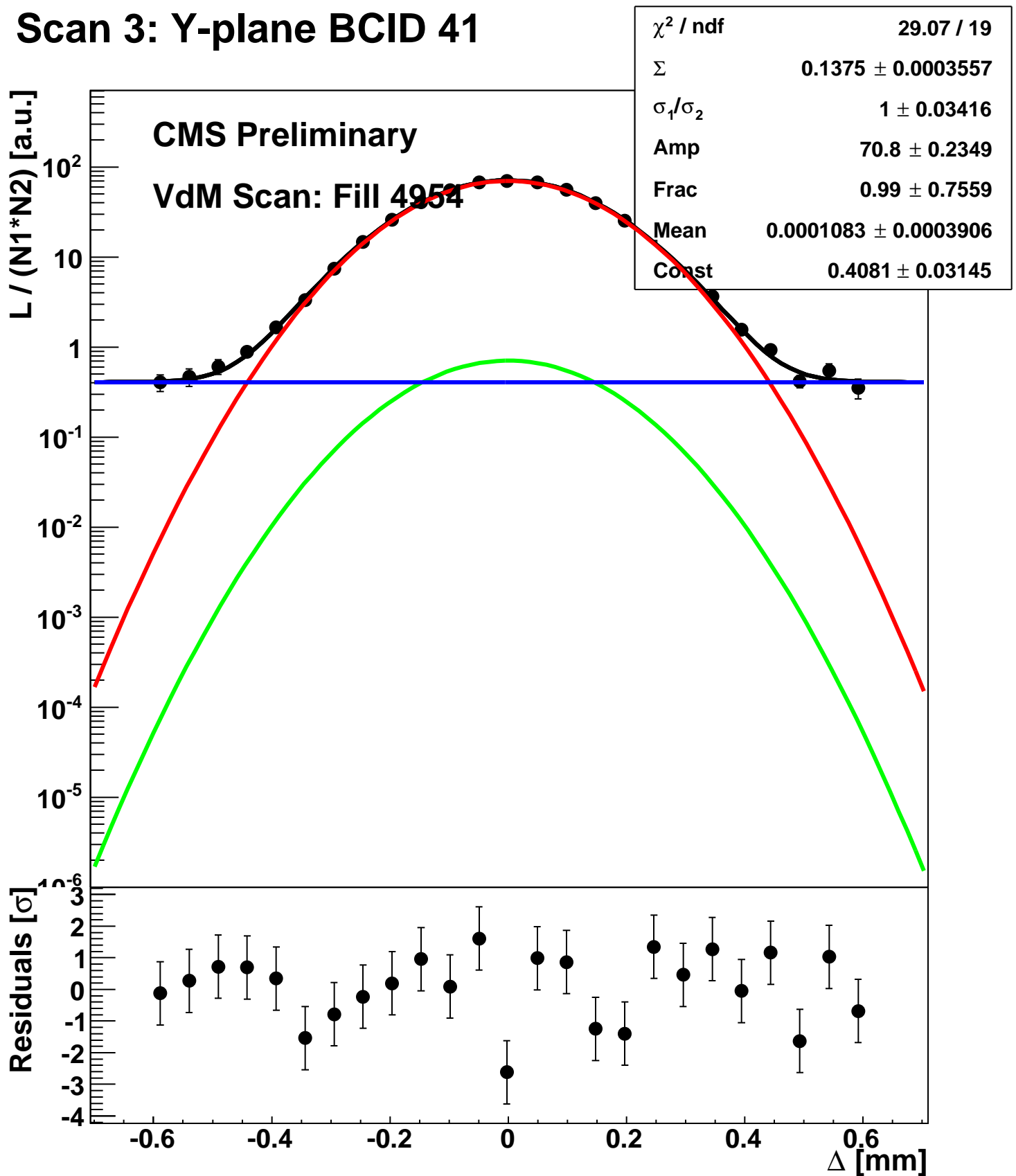
Scan 3: Y-plane BCID 2063



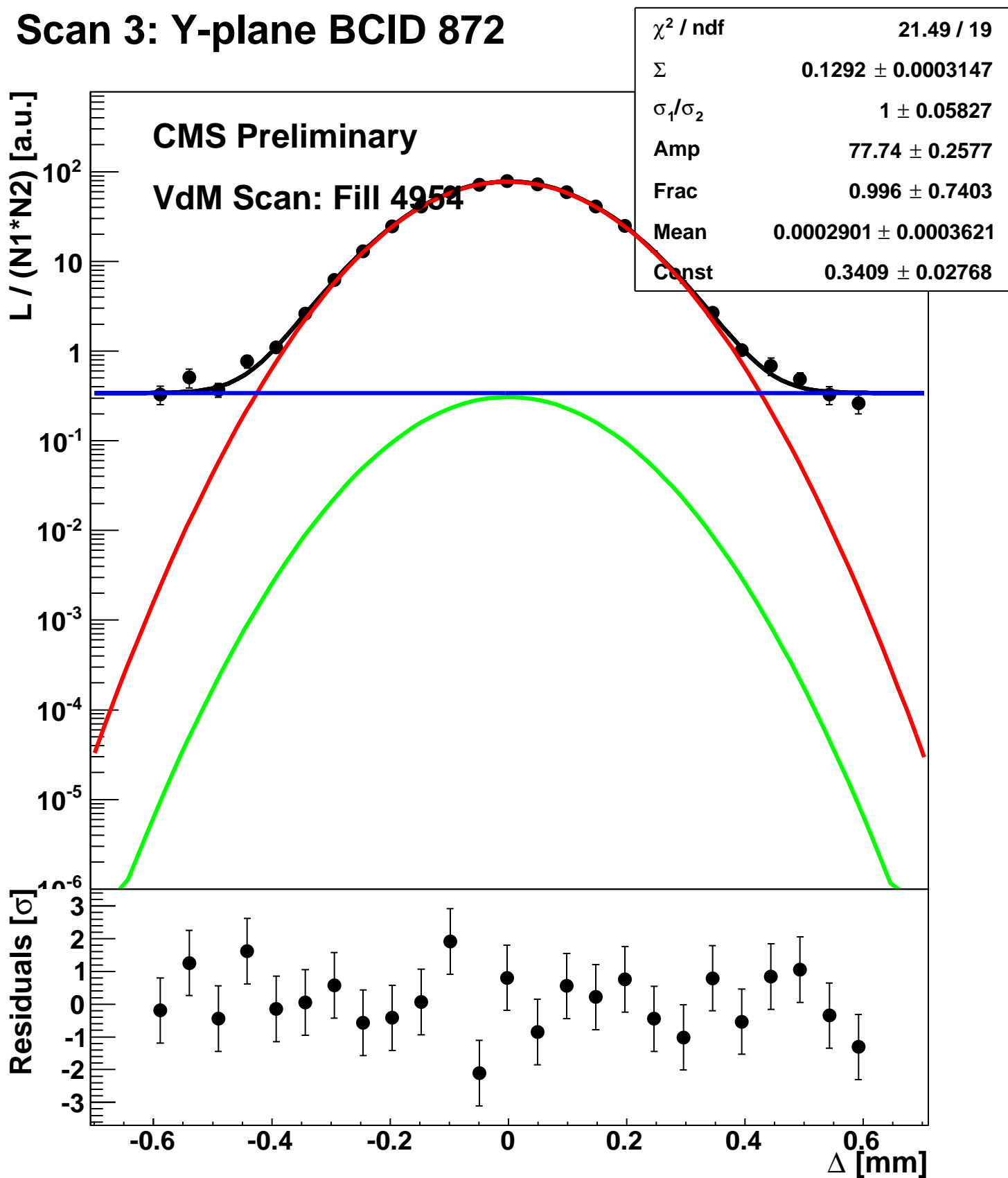
Scan 3: Y-plane BCID 281



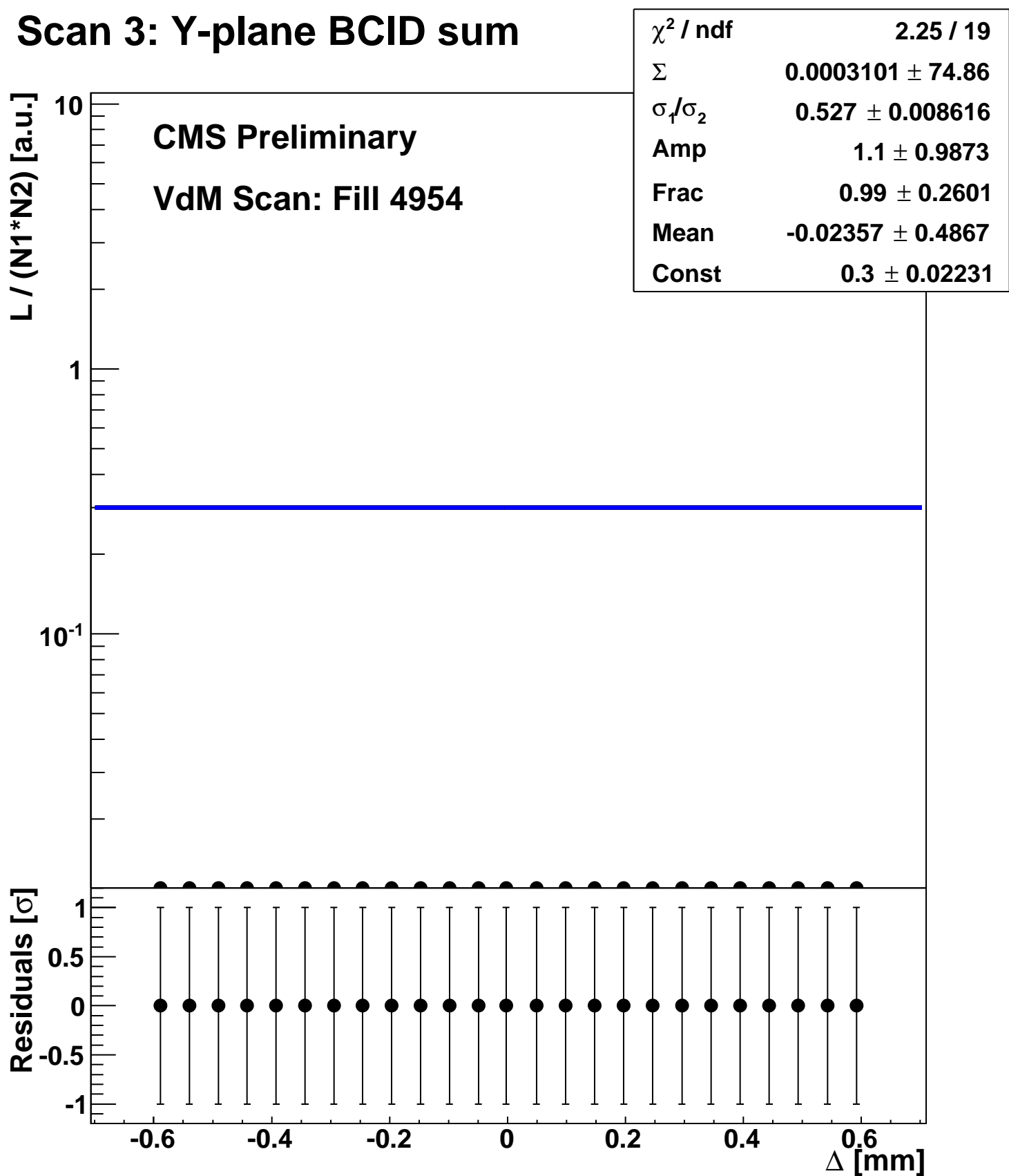
Scan 3: Y-plane BCID 41



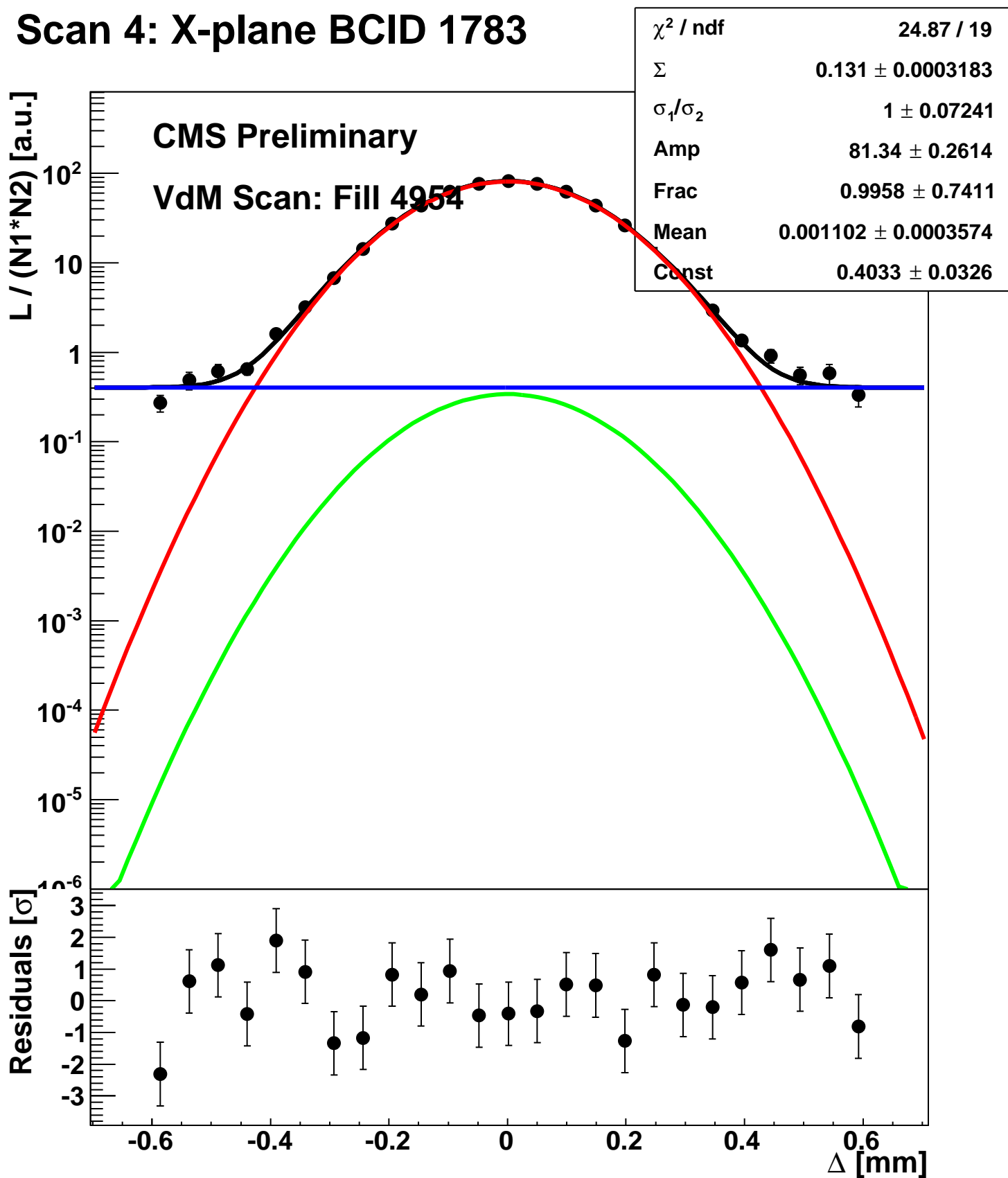
Scan 3: Y-plane BCID 872



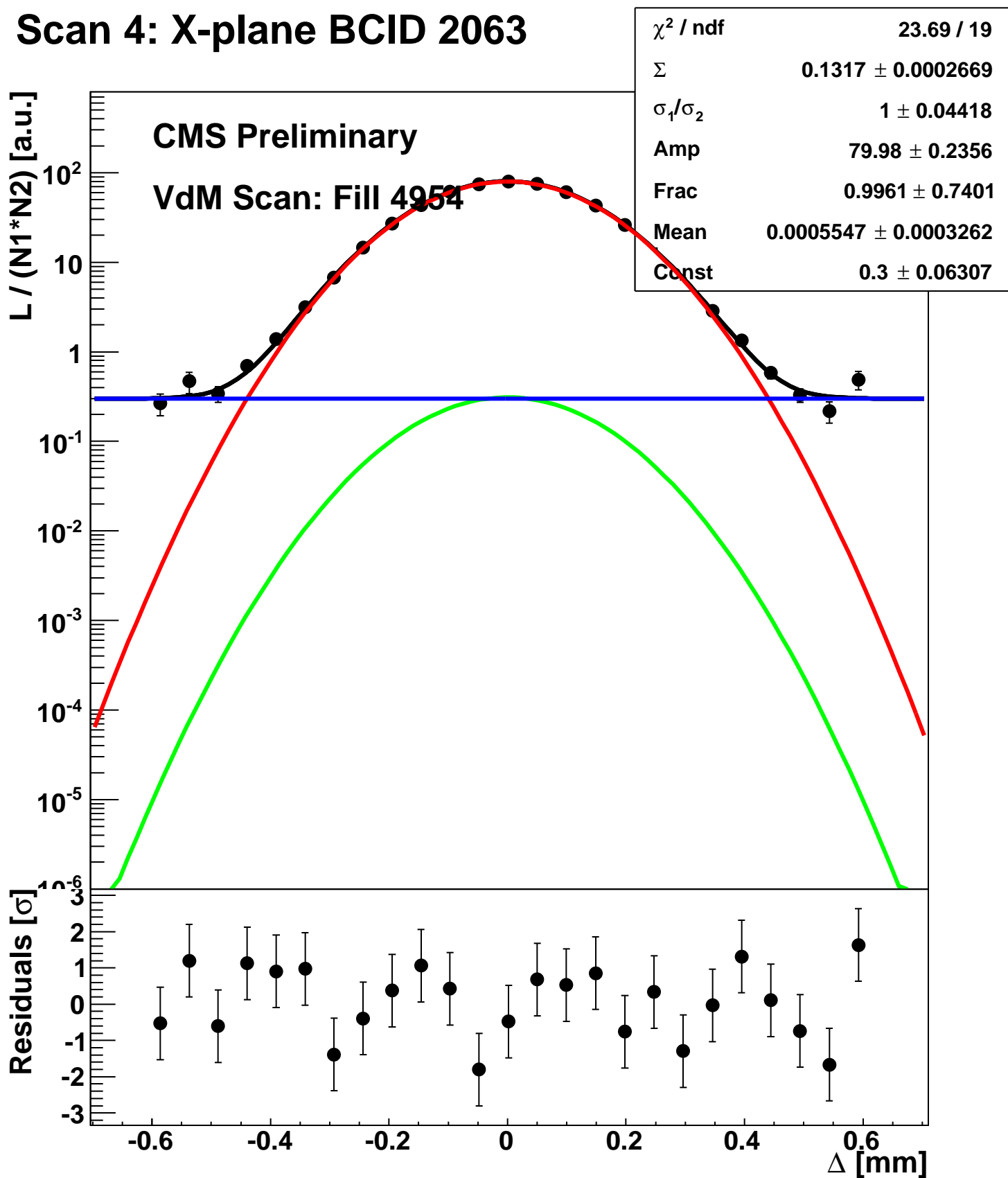
Scan 3: Y-plane BCID sum



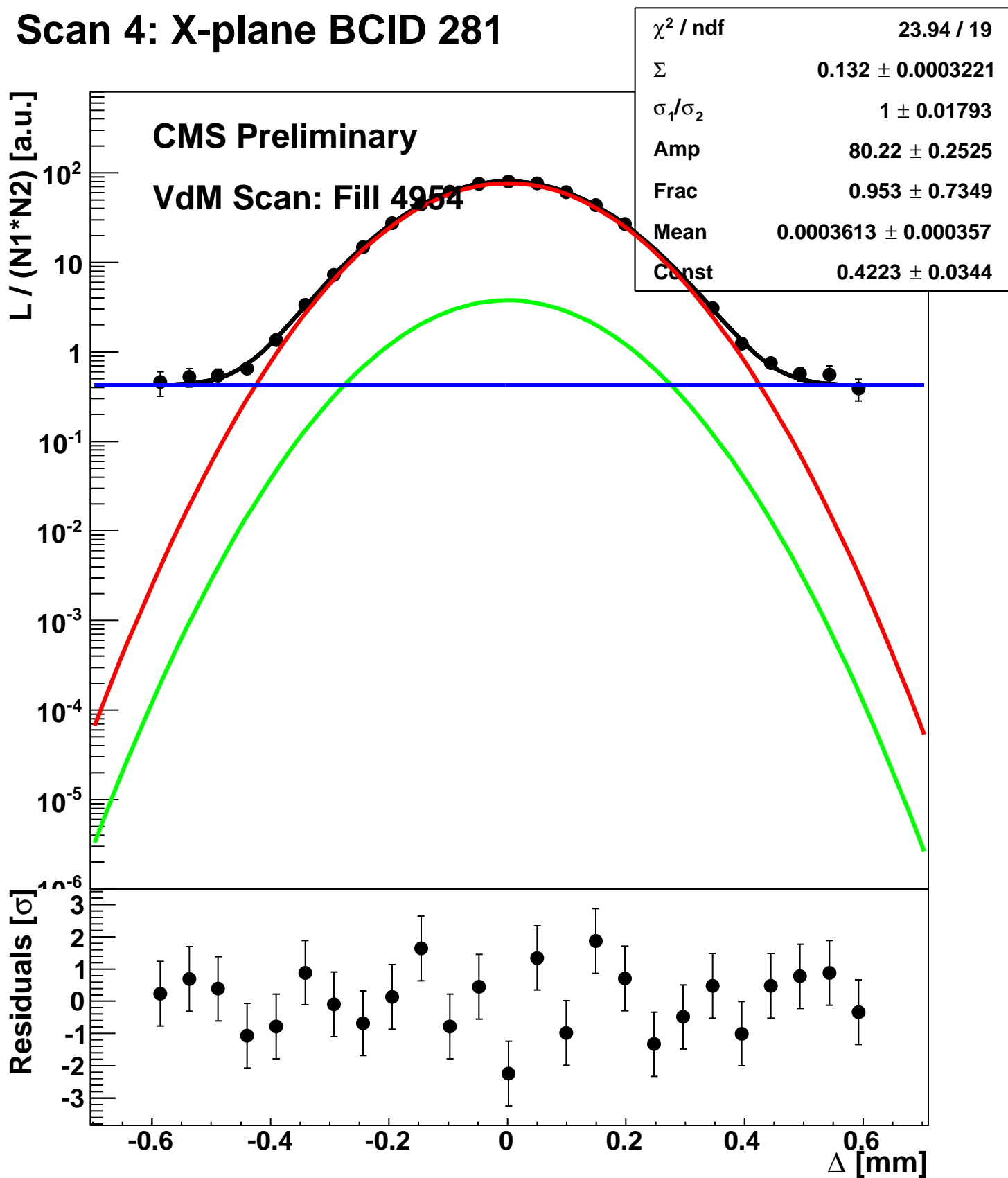
Scan 4: X-plane BCID 1783



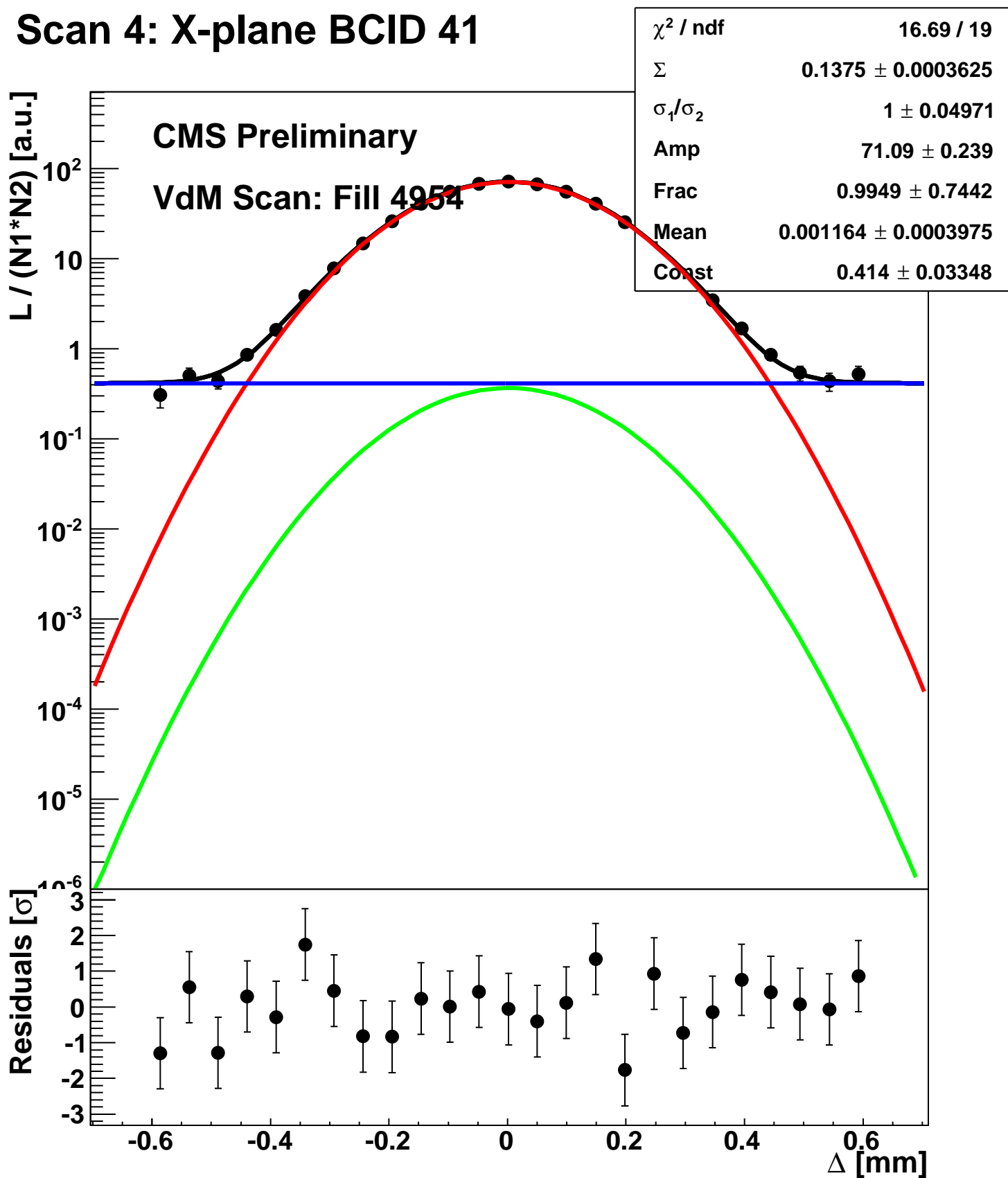
Scan 4: X-plane BCID 2063



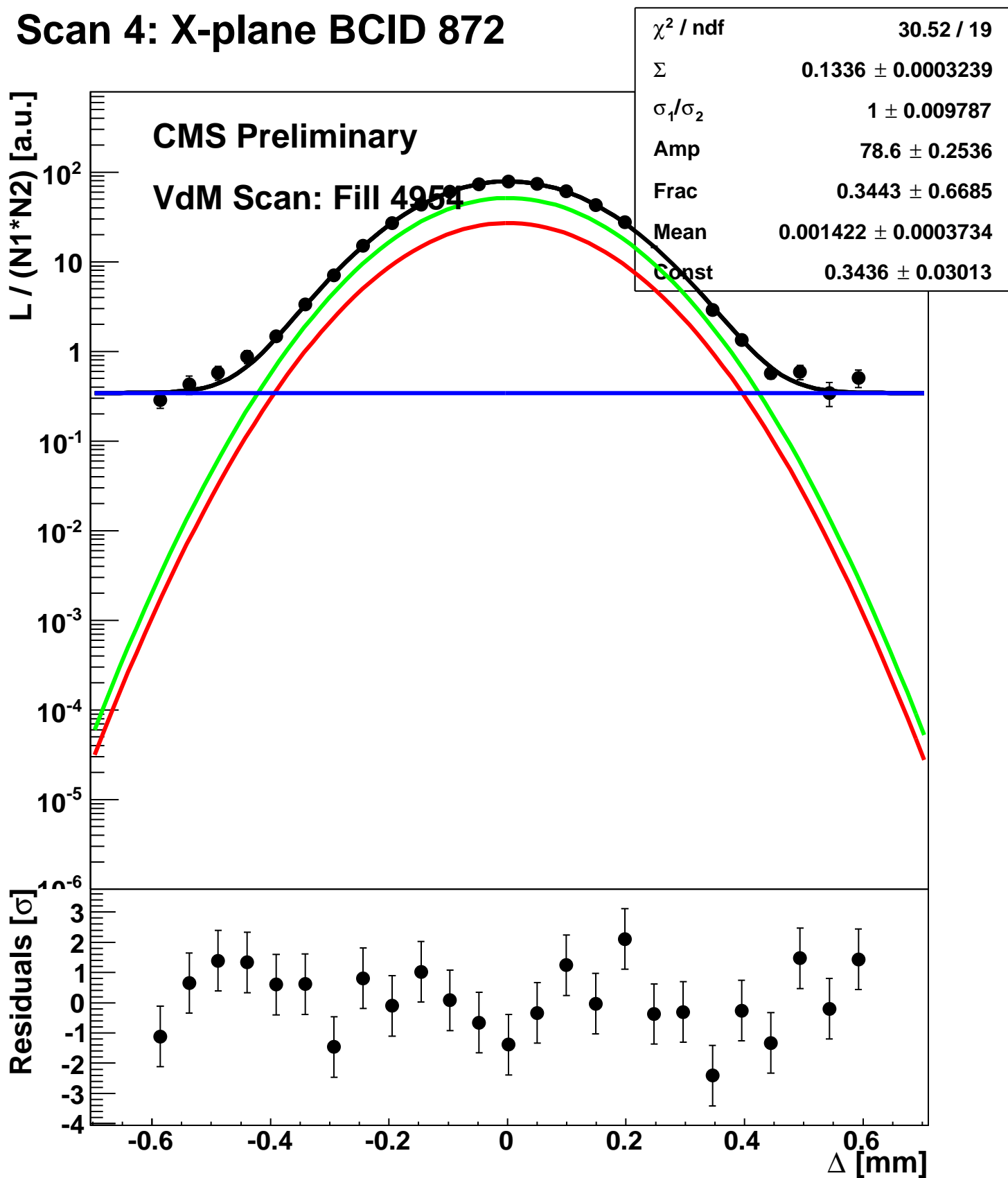
Scan 4: X-plane BCID 281



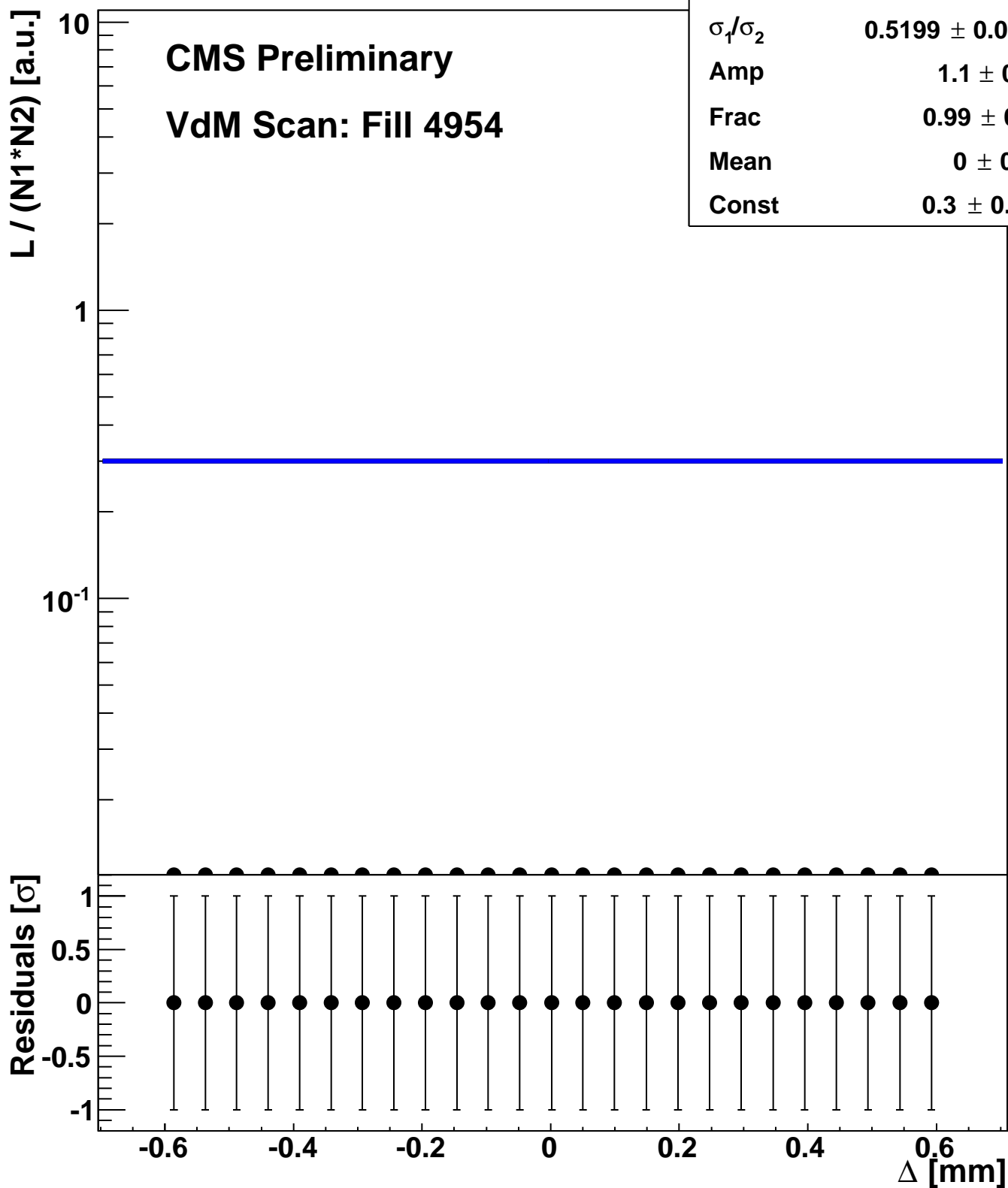
Scan 4: X-plane BCID 41



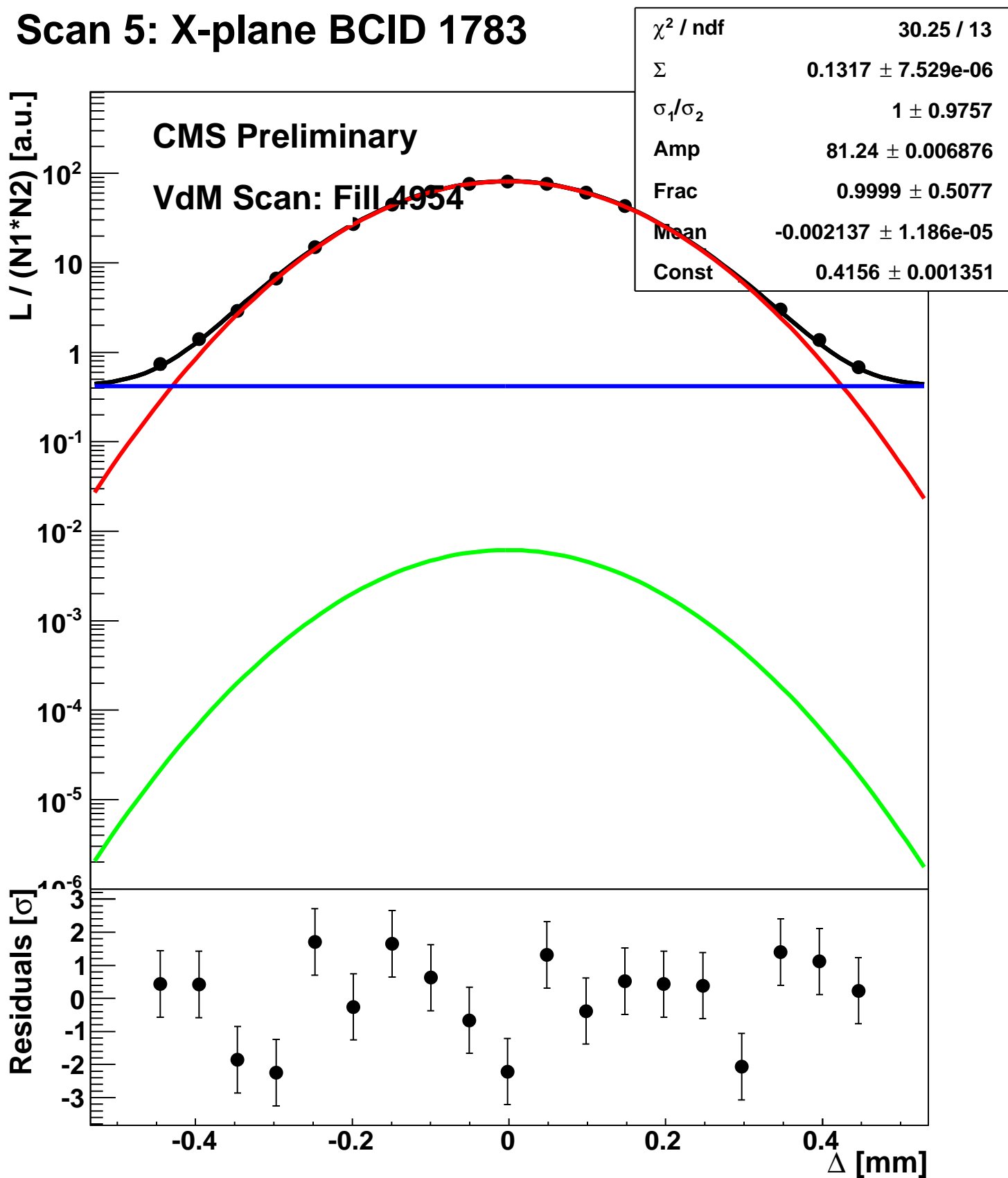
Scan 4: X-plane BCID 872



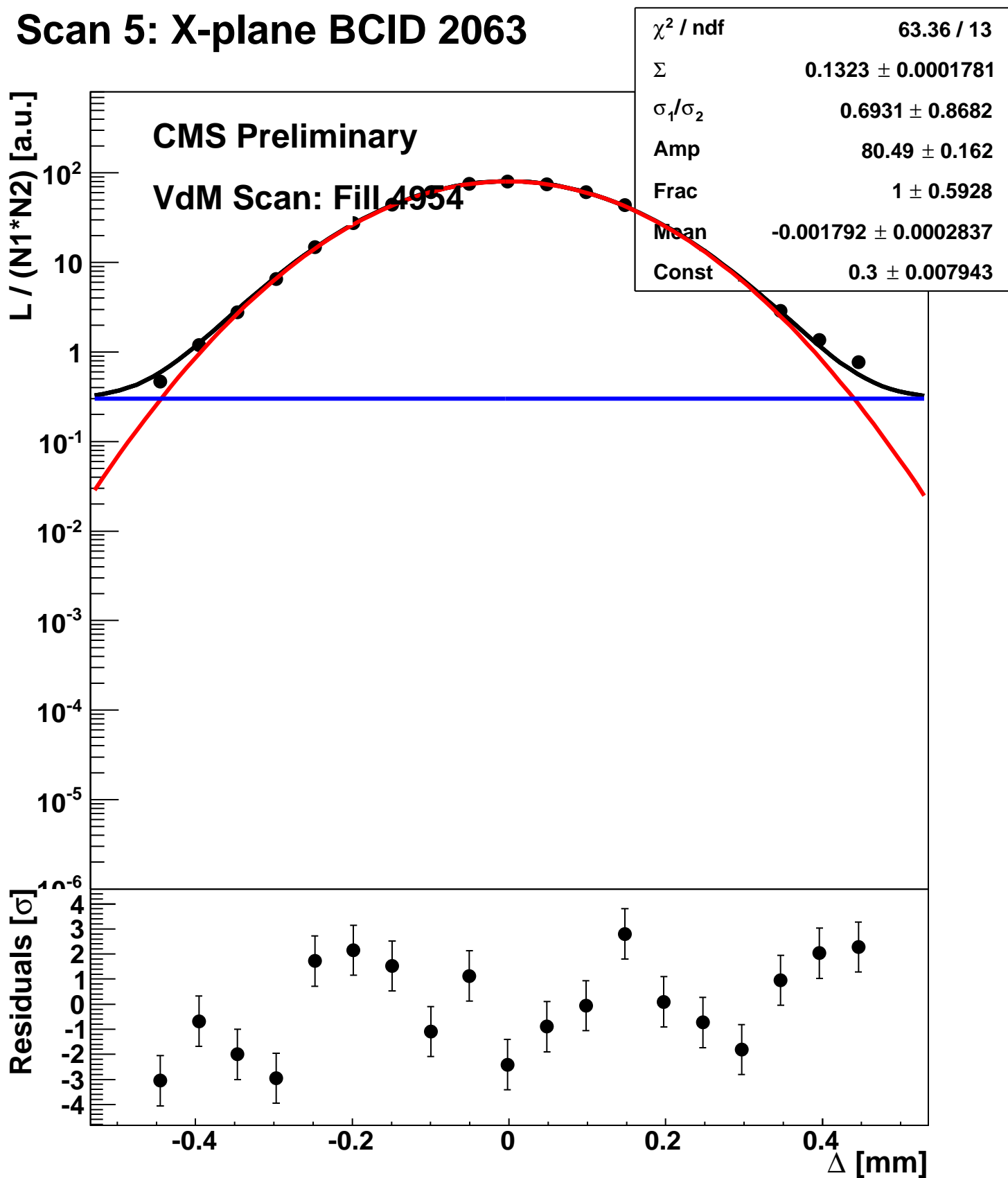
Scan 4: X-plane BCID sum



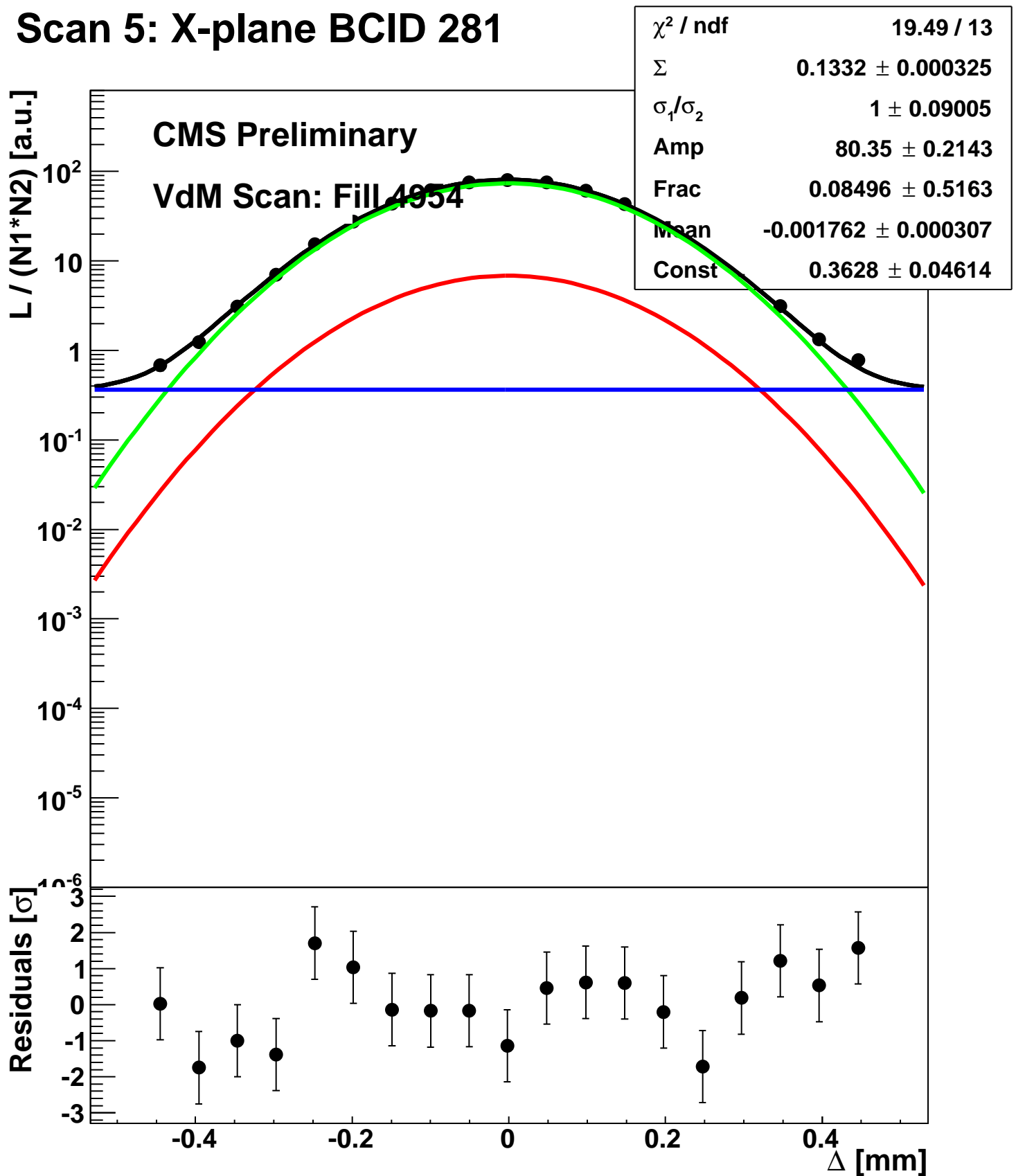
Scan 5: X-plane BCID 1783



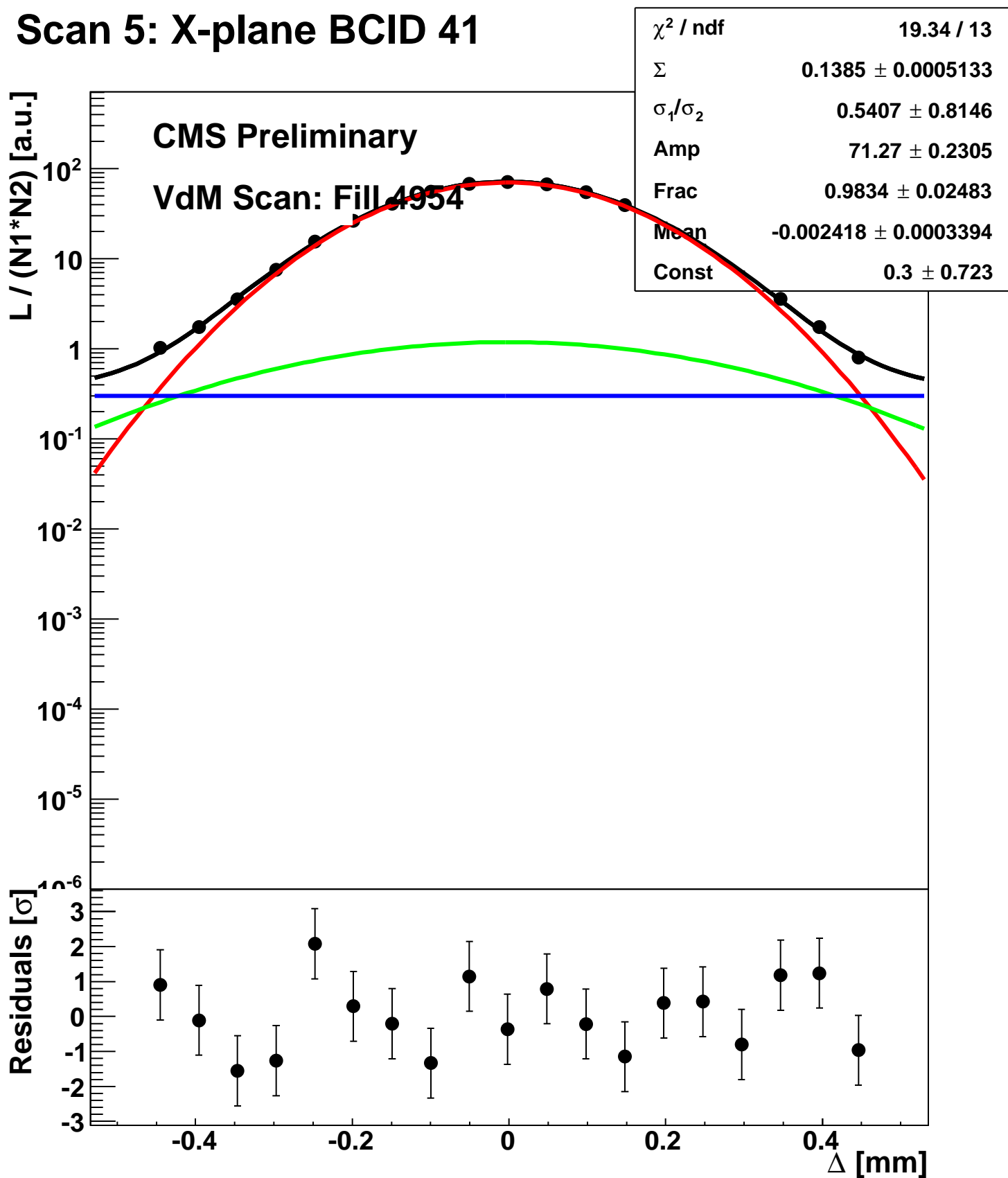
Scan 5: X-plane BCID 2063



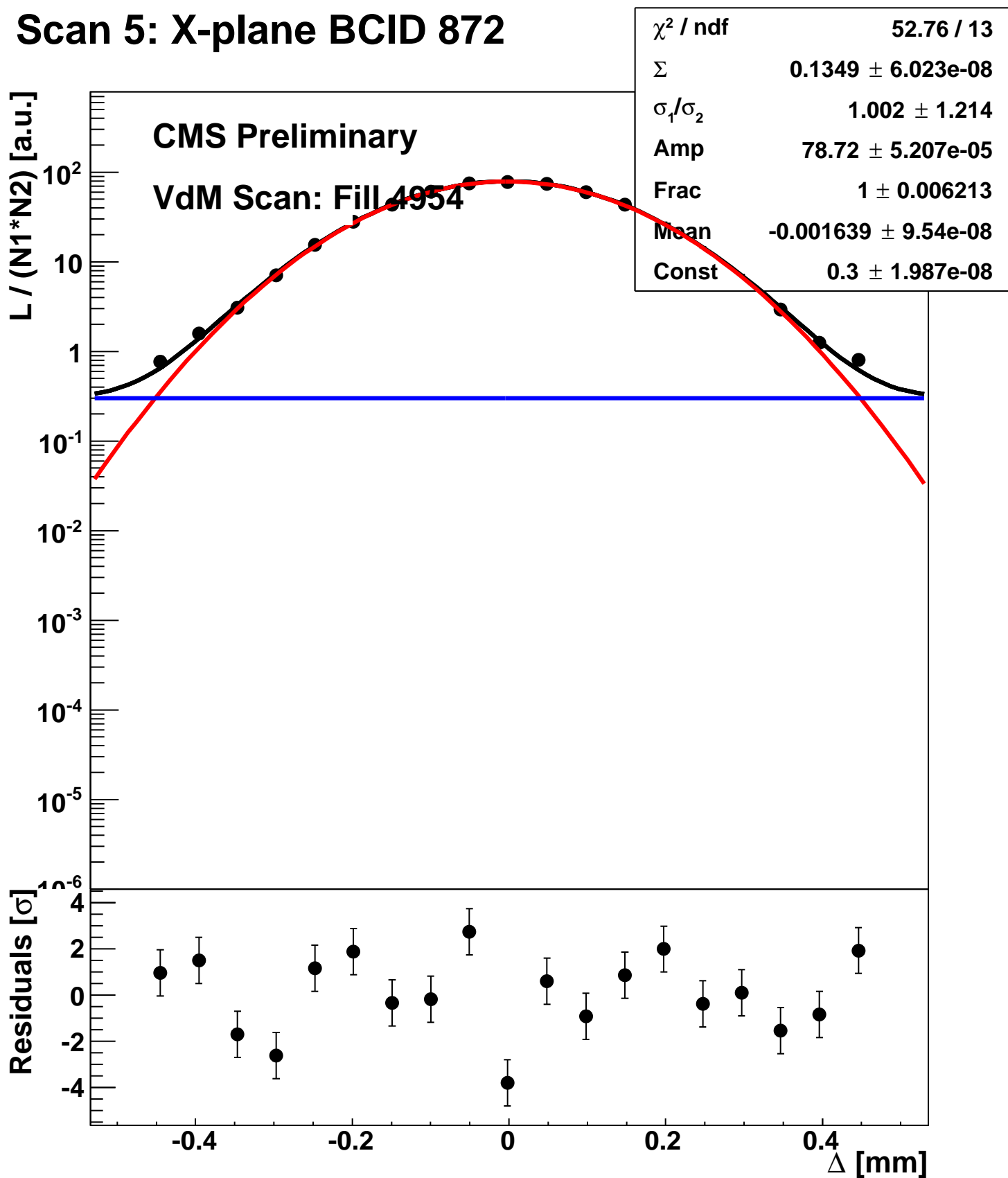
Scan 5: X-plane BCID 281



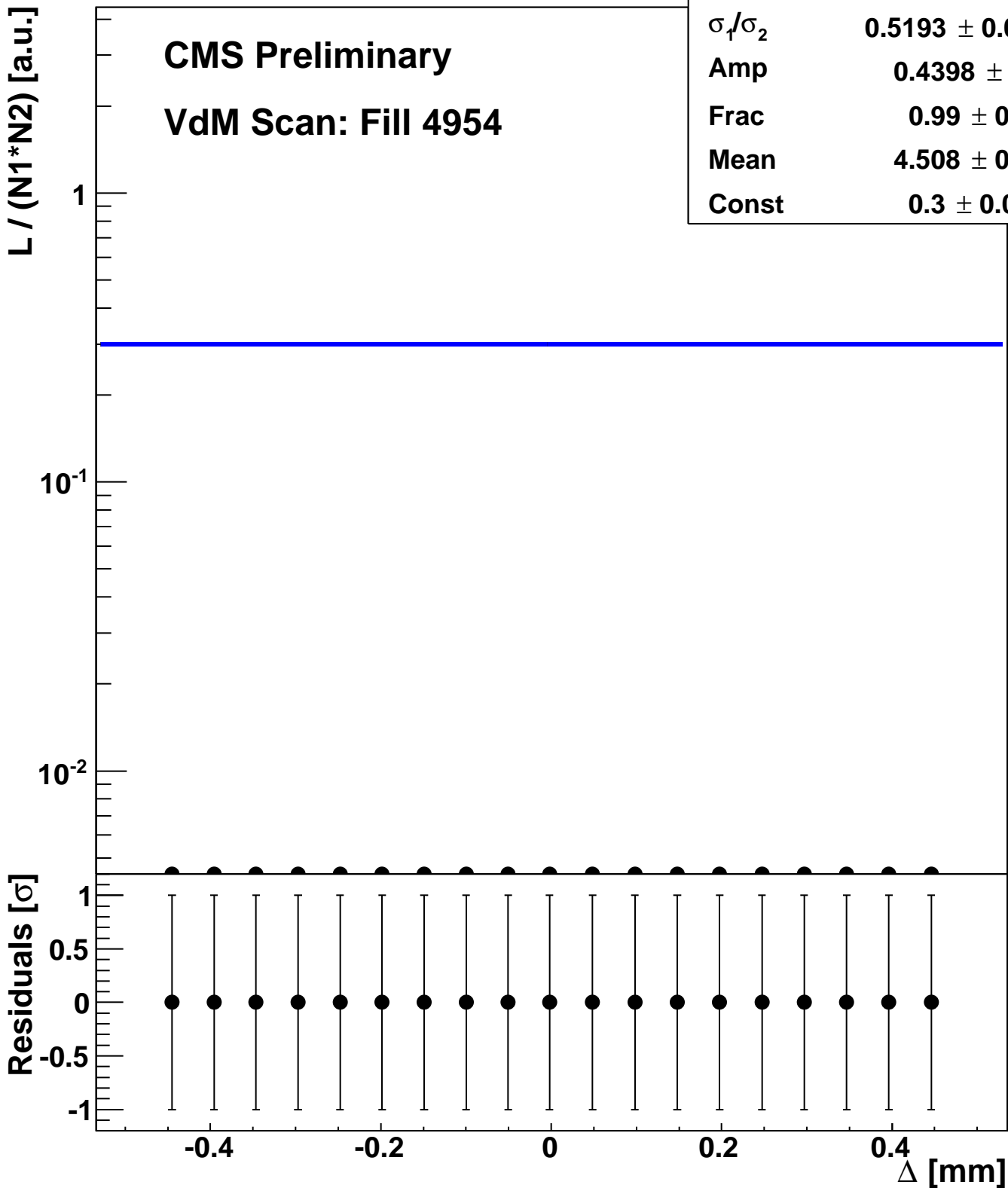
Scan 5: X-plane BCID 41



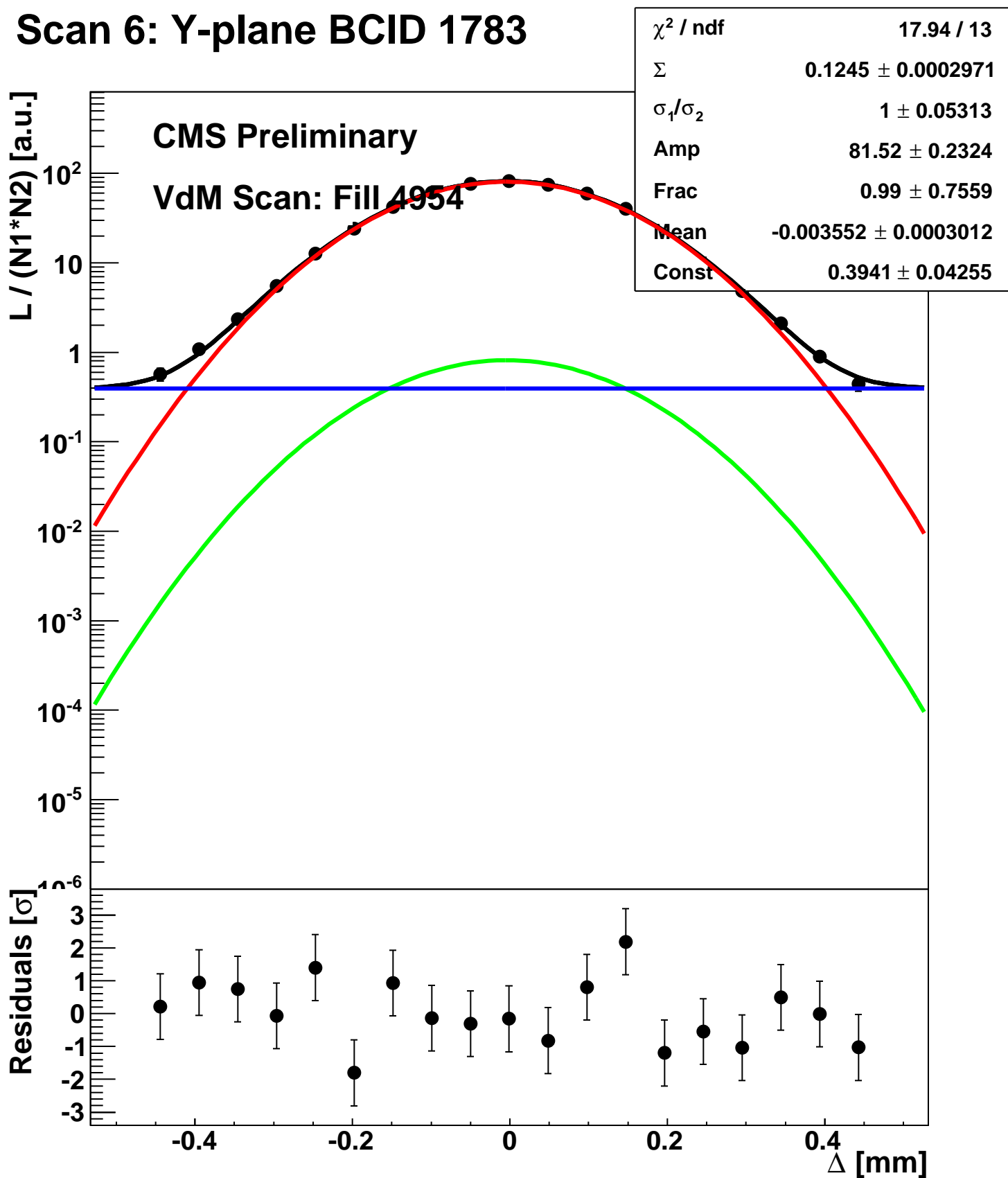
Scan 5: X-plane BCID 872



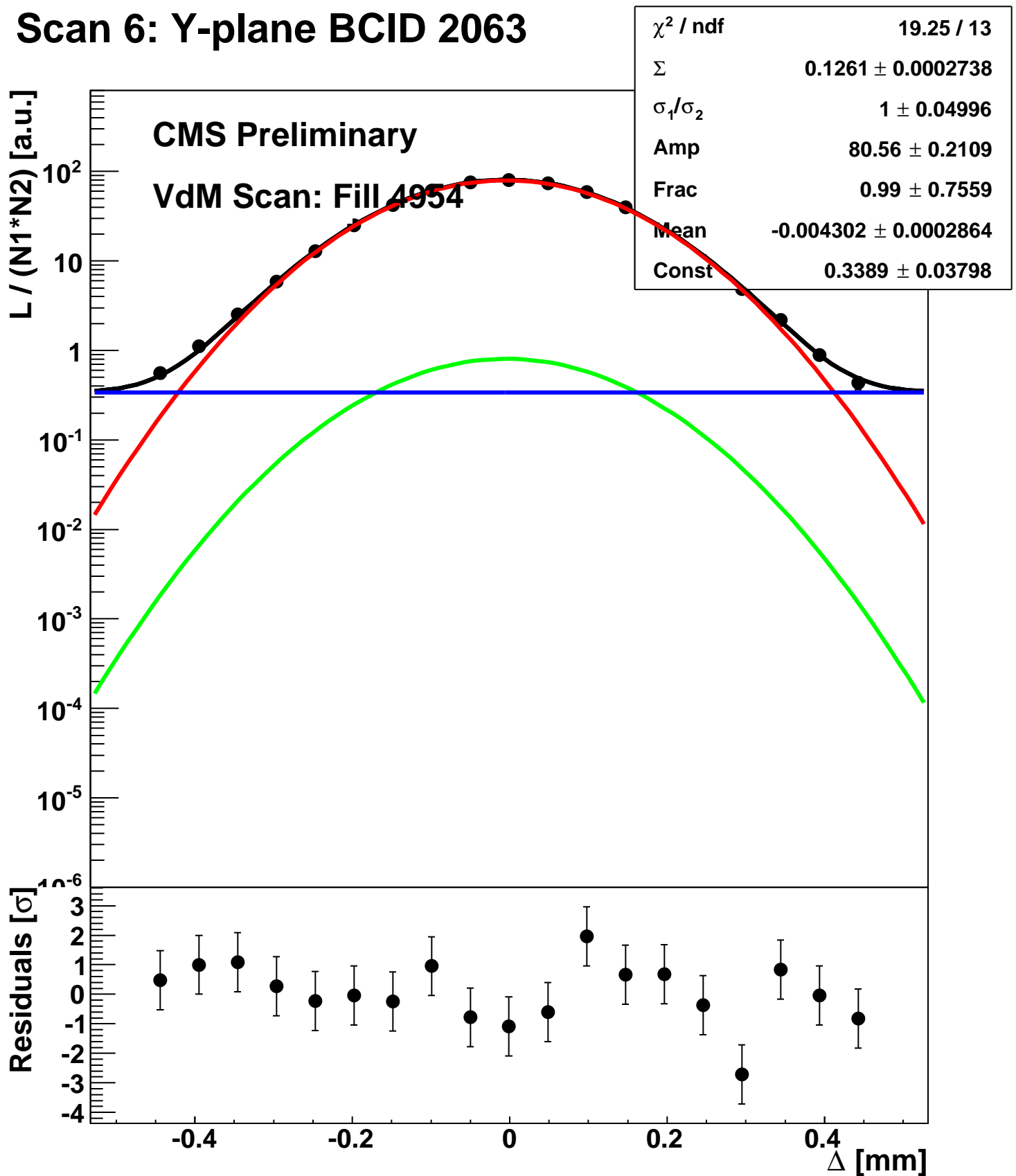
Scan 5: X-plane BCID sum



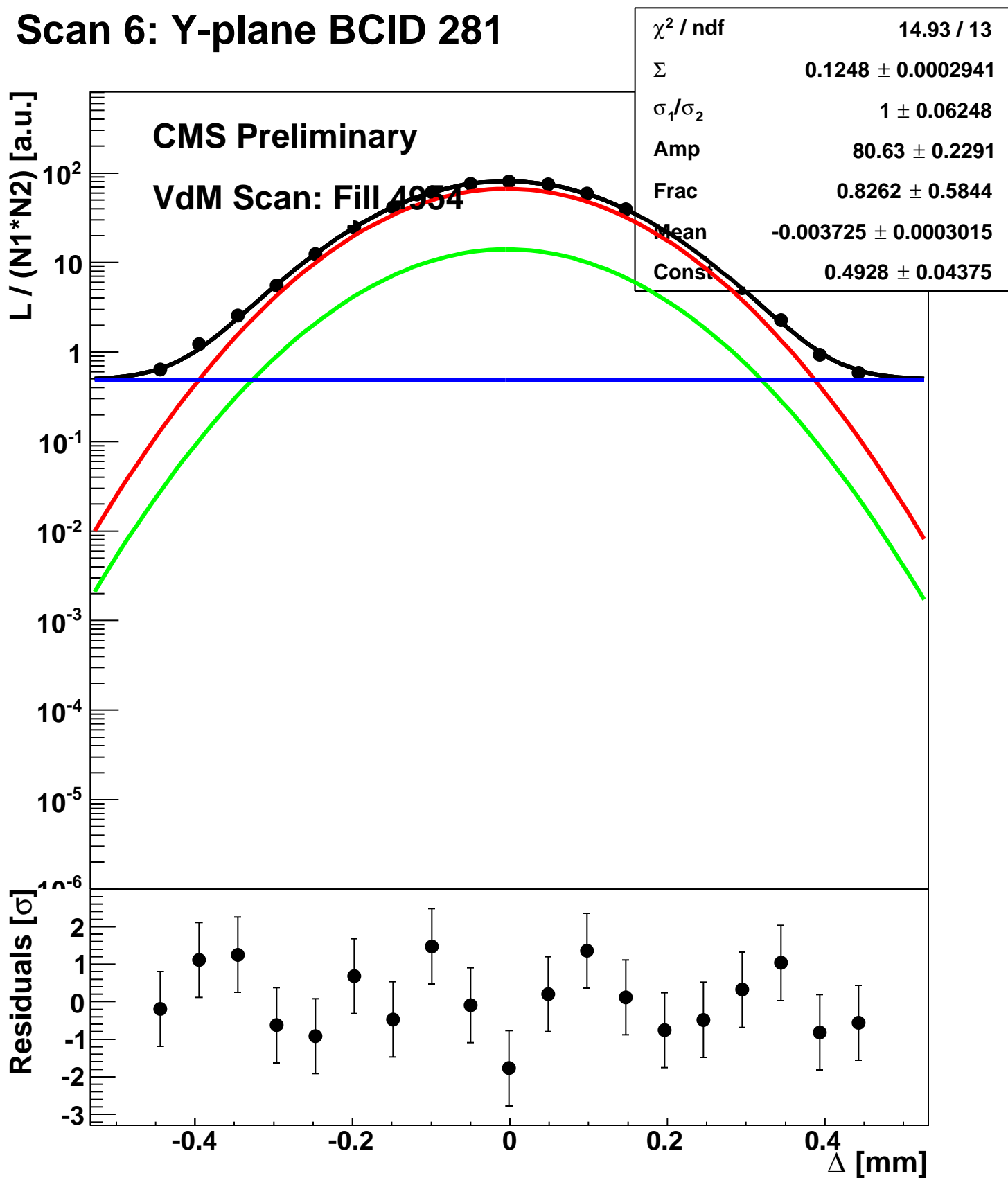
Scan 6: Y-plane BCID 1783



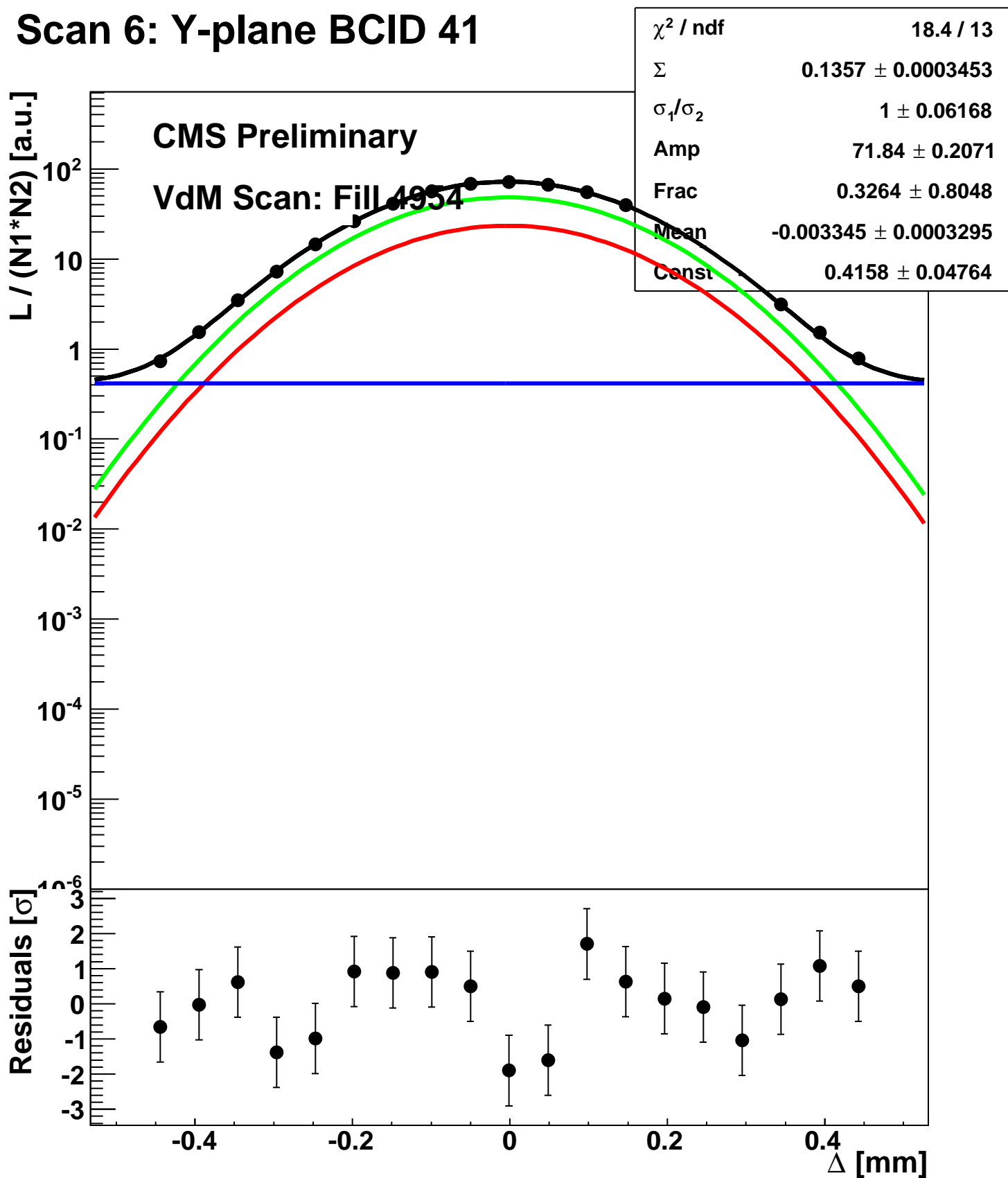
Scan 6: Y-plane BCID 2063



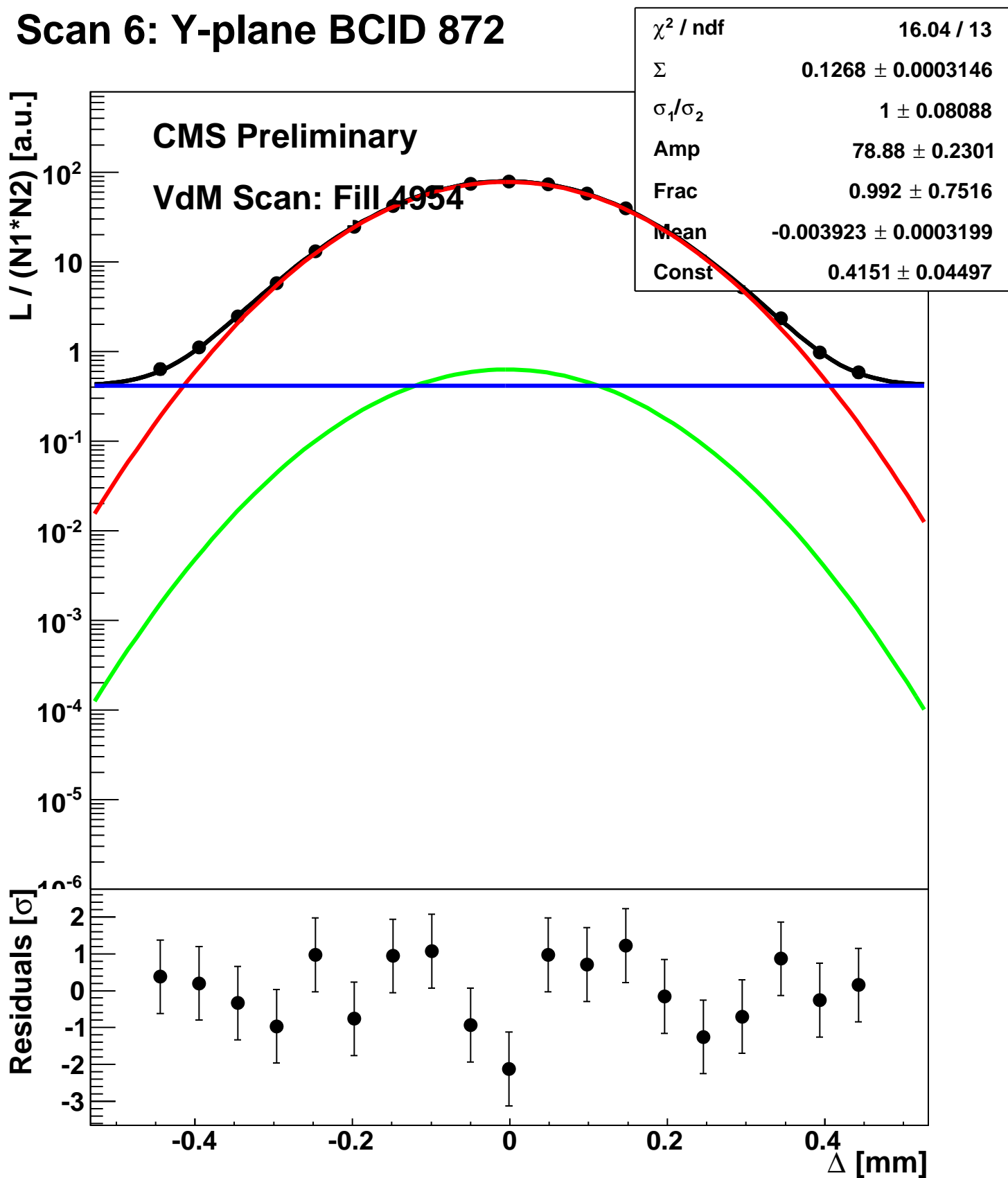
Scan 6: Y-plane BCID 281



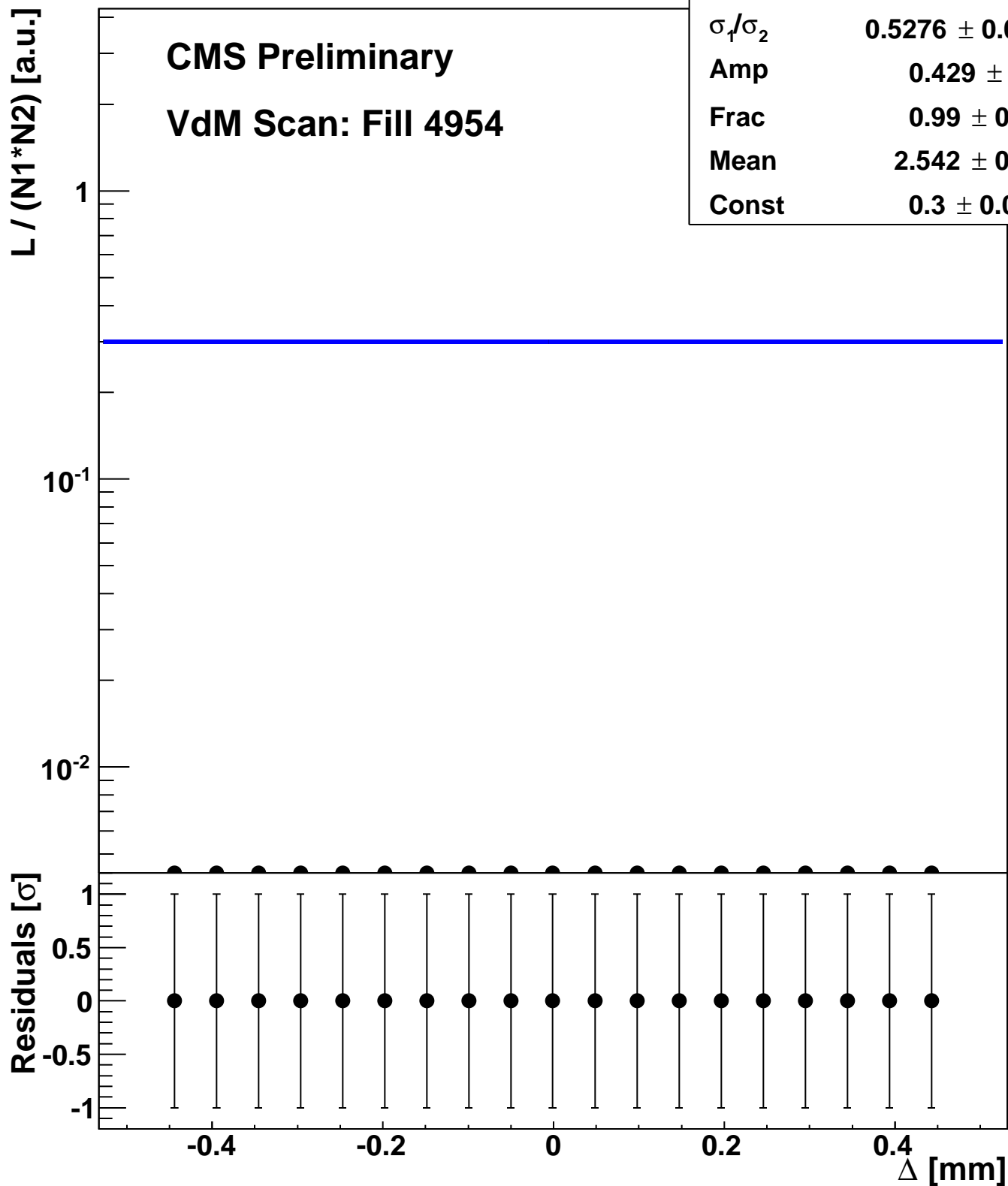
Scan 6: Y-plane BCID 41



Scan 6: Y-plane BCID 872

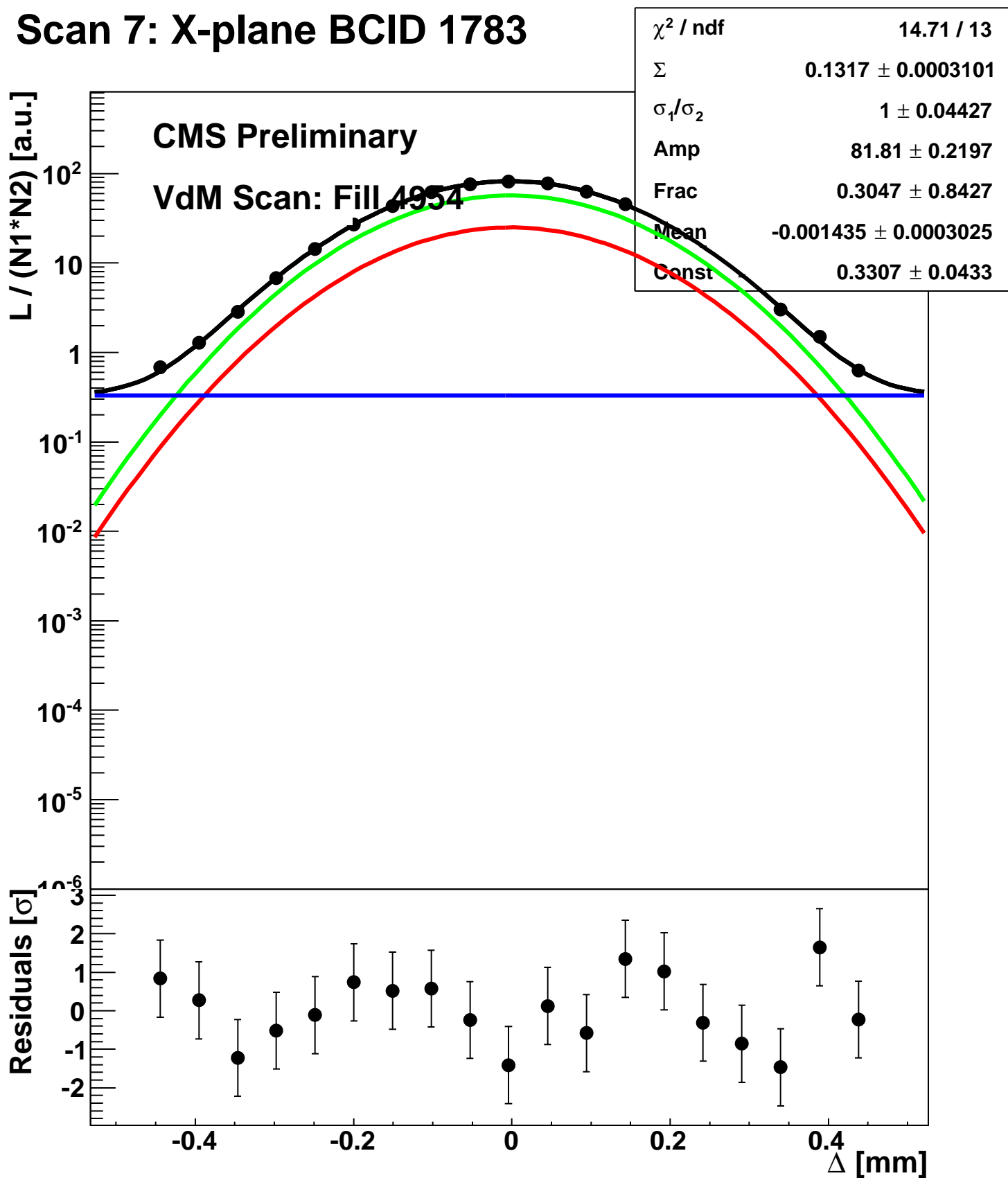


Scan 6: Y-plane BCID sum

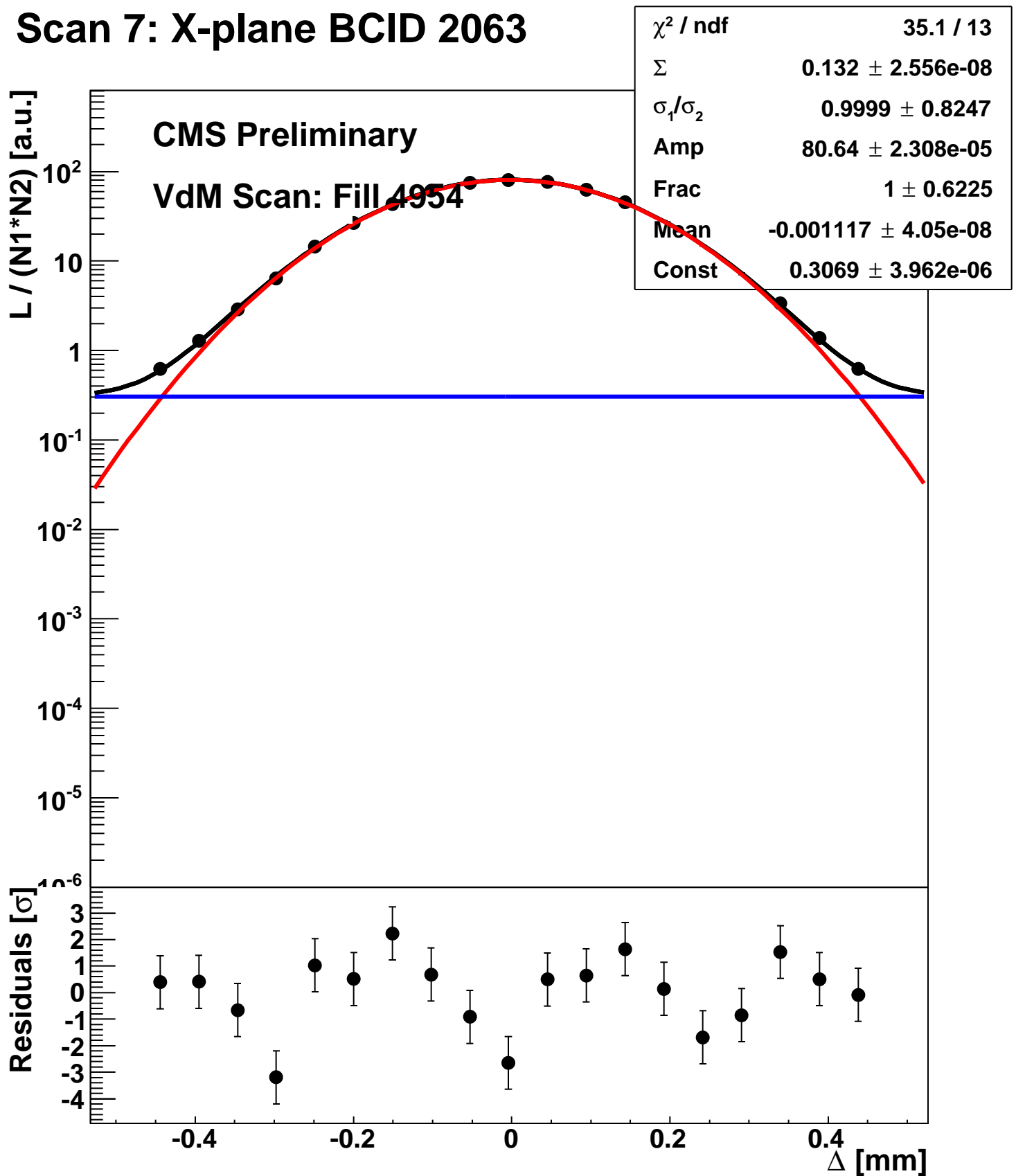


χ^2 / ndf	1.71 / 13
Σ	-0.04633 \pm 280.2
σ_1 / σ_2	0.5276 \pm 0.01142
Amp	0.429 \pm 1.145
Frac	0.99 \pm 0.2742
Mean	2.542 \pm 0.5129
Const	0.3 \pm 0.03067

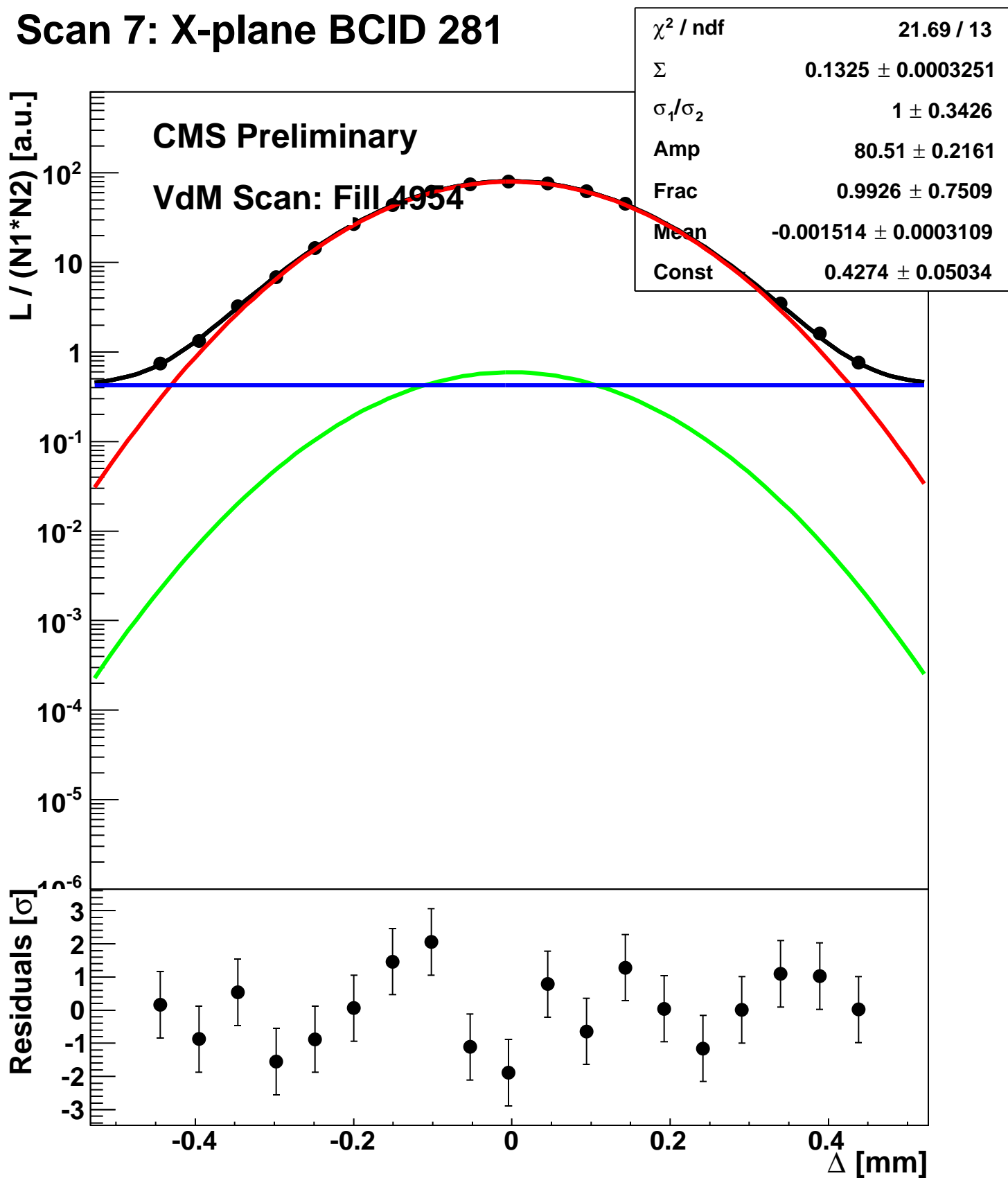
Scan 7: X-plane BCID 1783



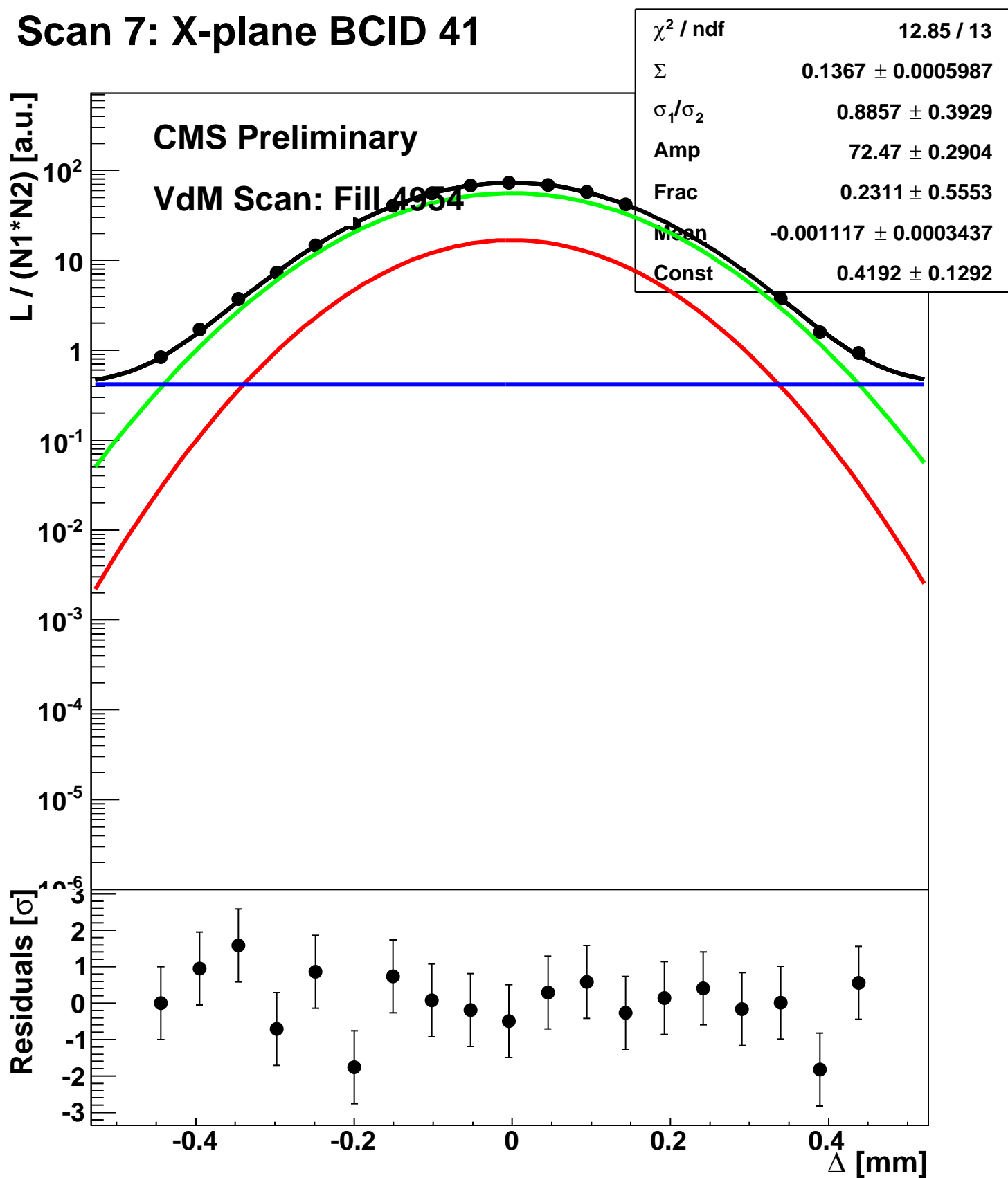
Scan 7: X-plane BCID 2063



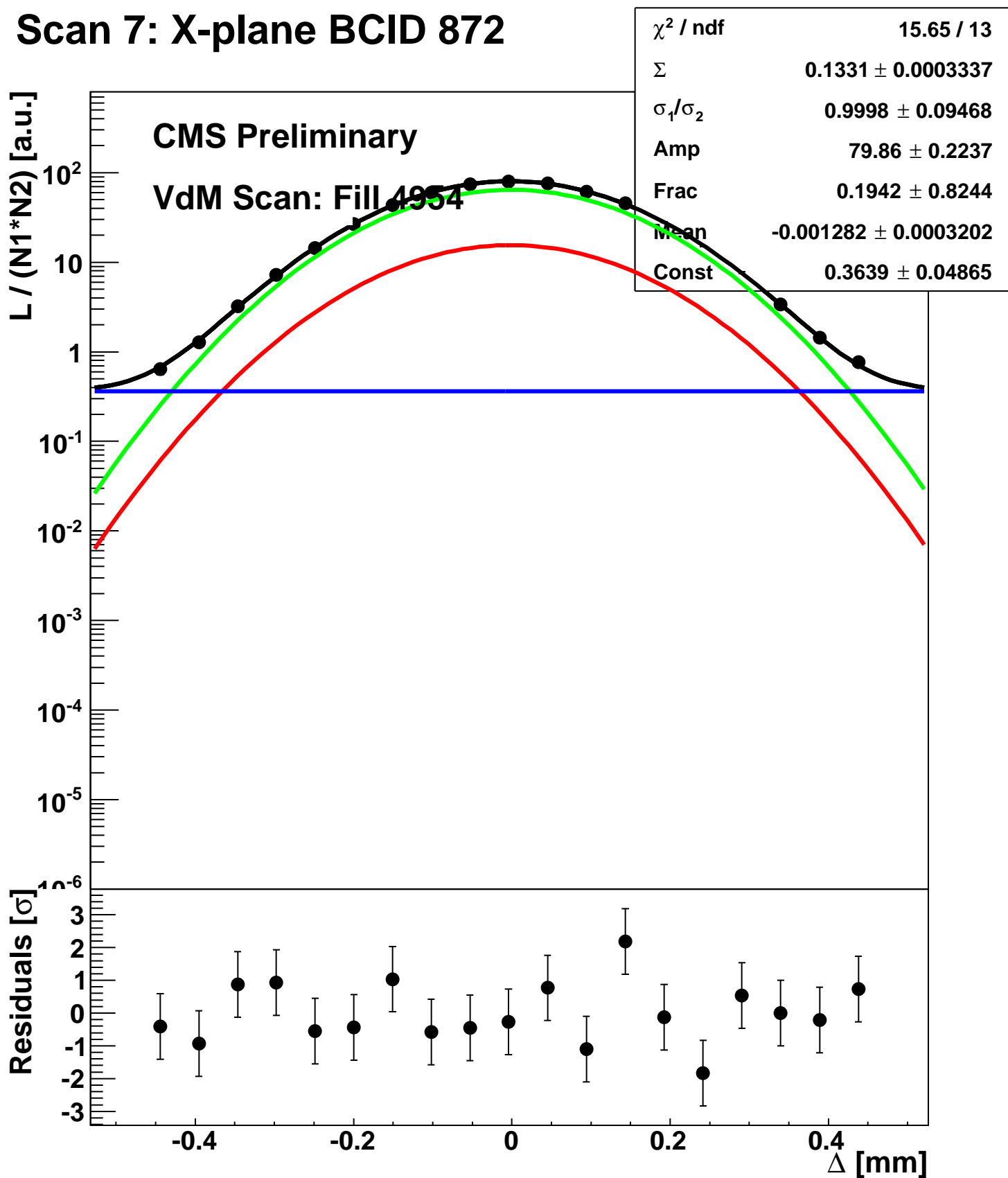
Scan 7: X-plane BCID 281



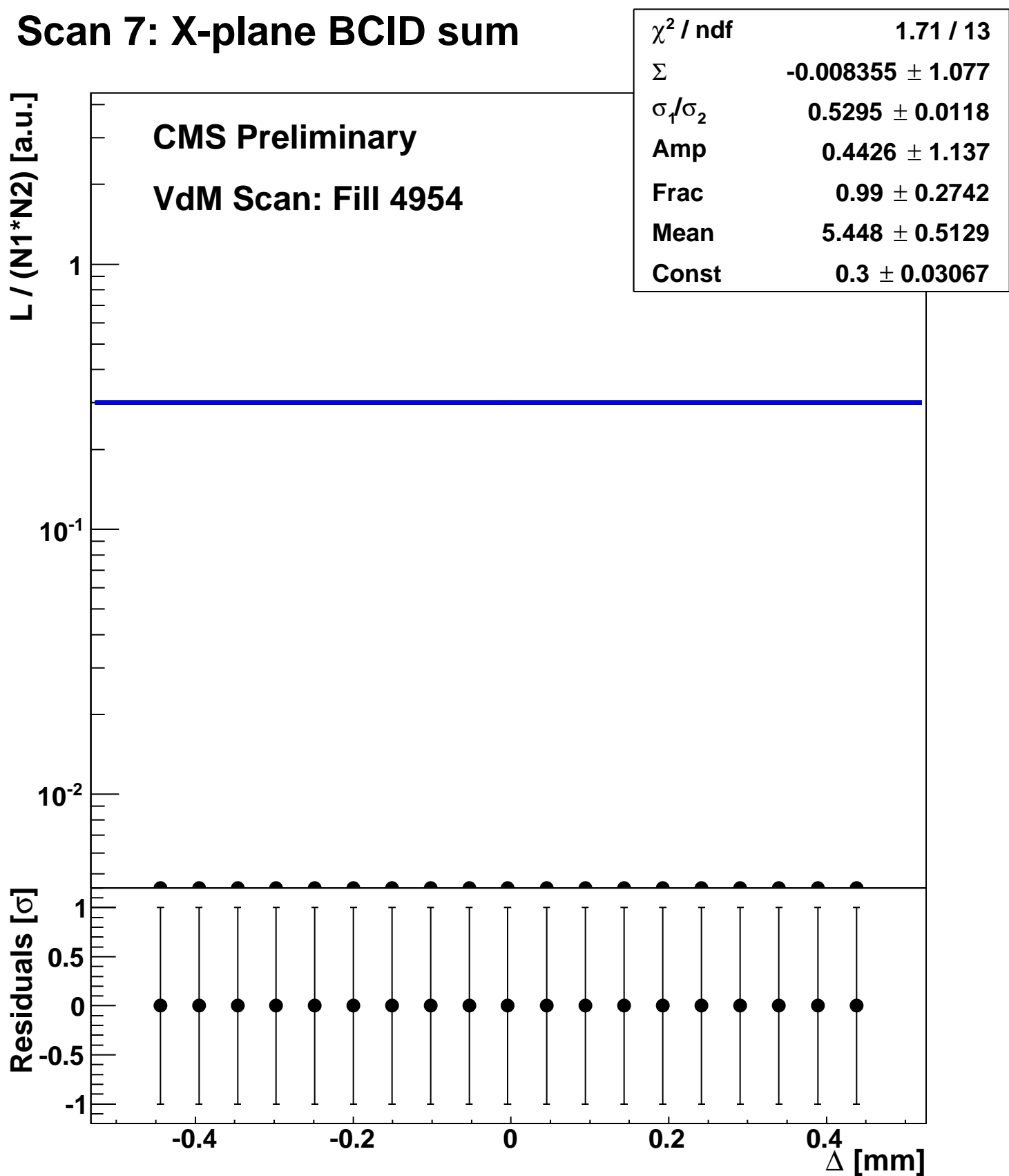
Scan 7: X-plane BCID 41



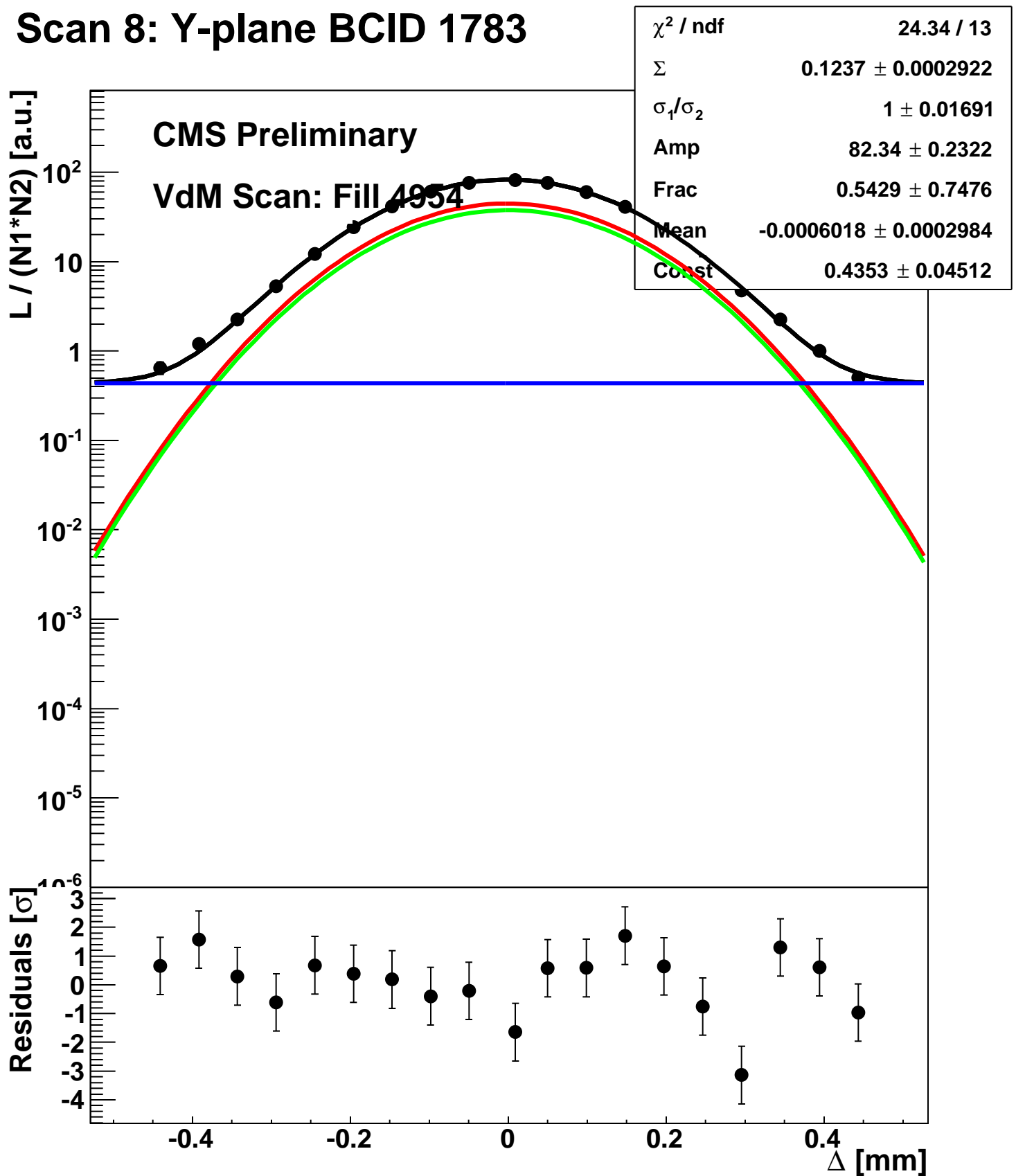
Scan 7: X-plane BCID 872



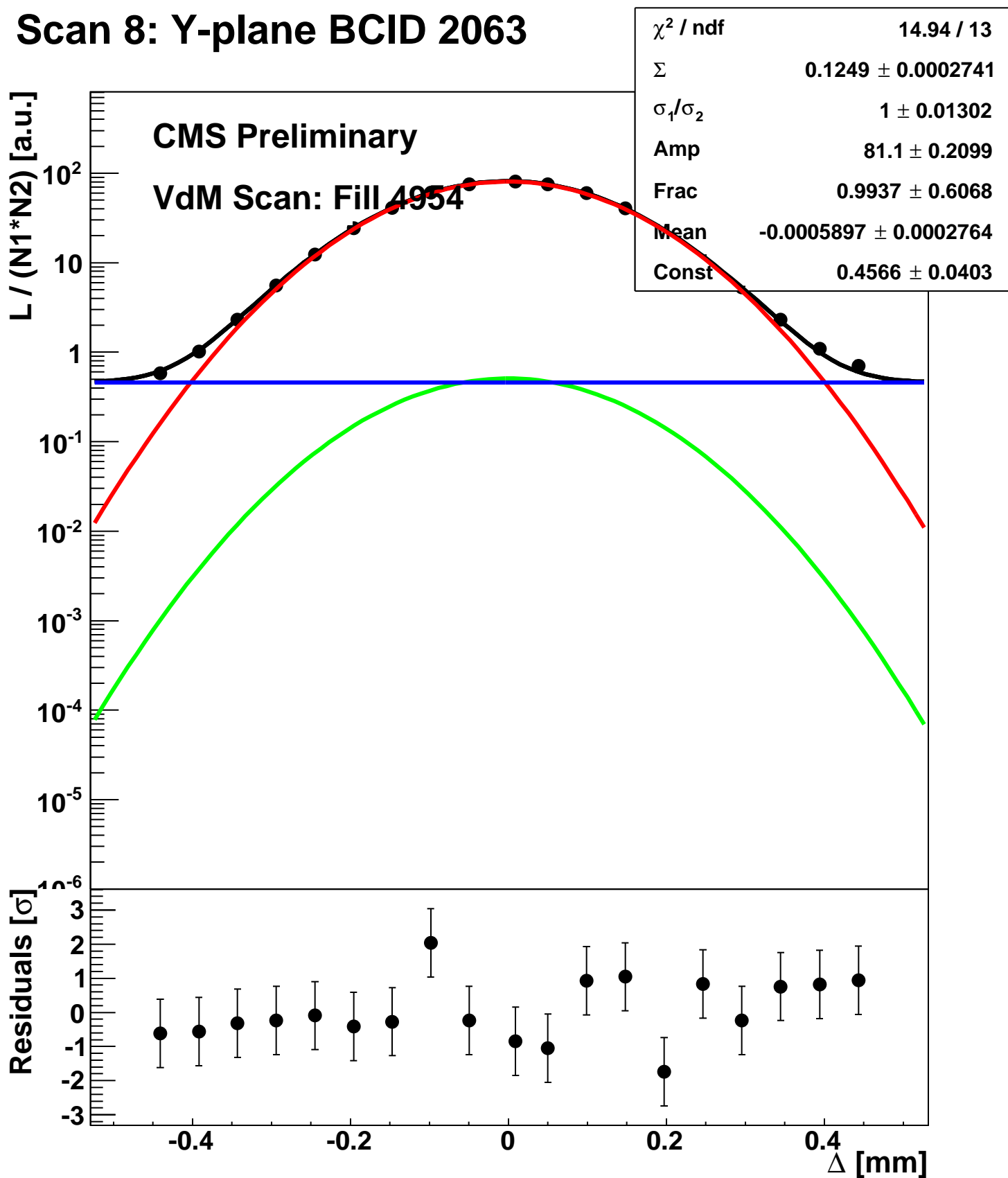
Scan 7: X-plane BCID sum



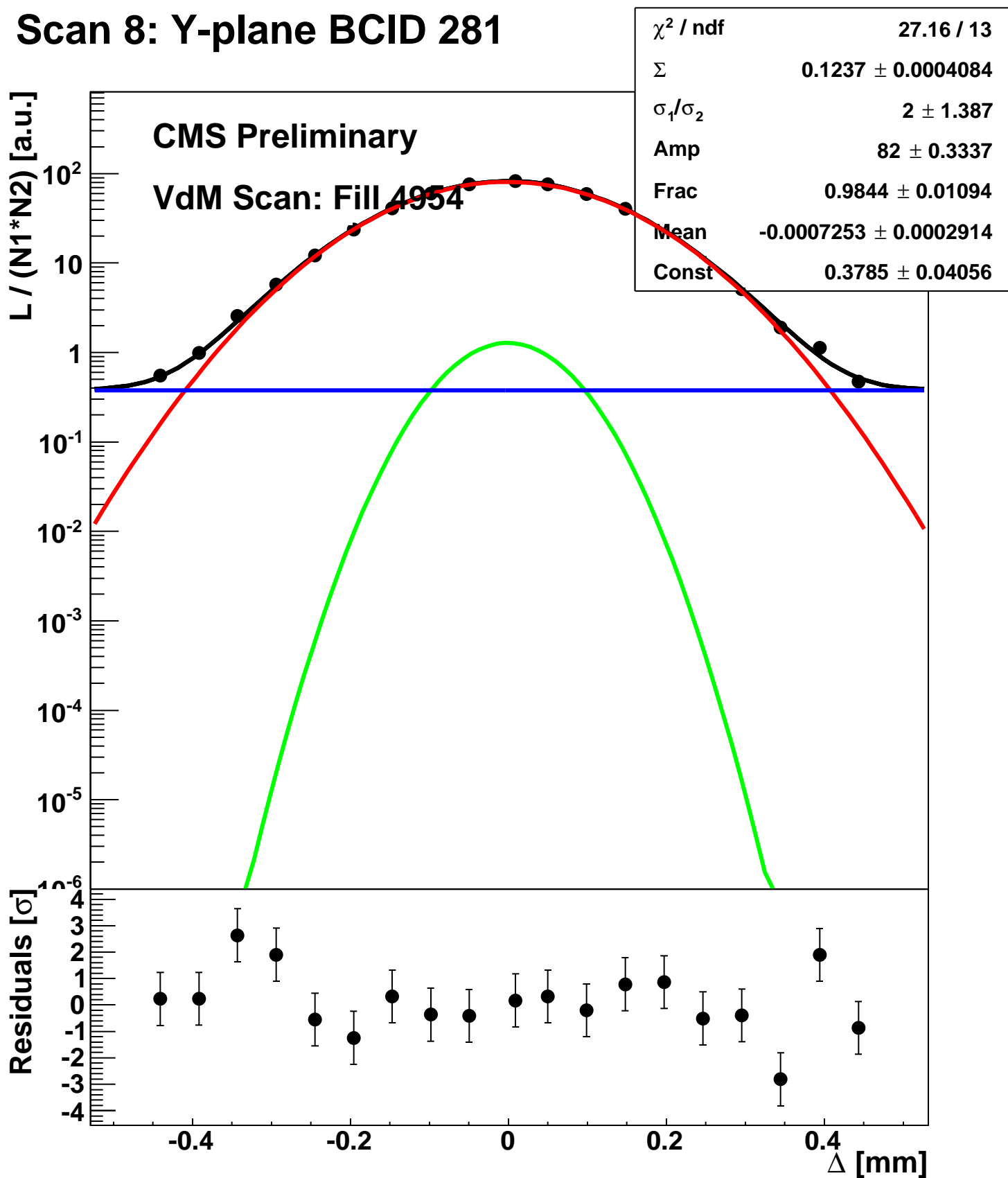
Scan 8: Y-plane BCID 1783



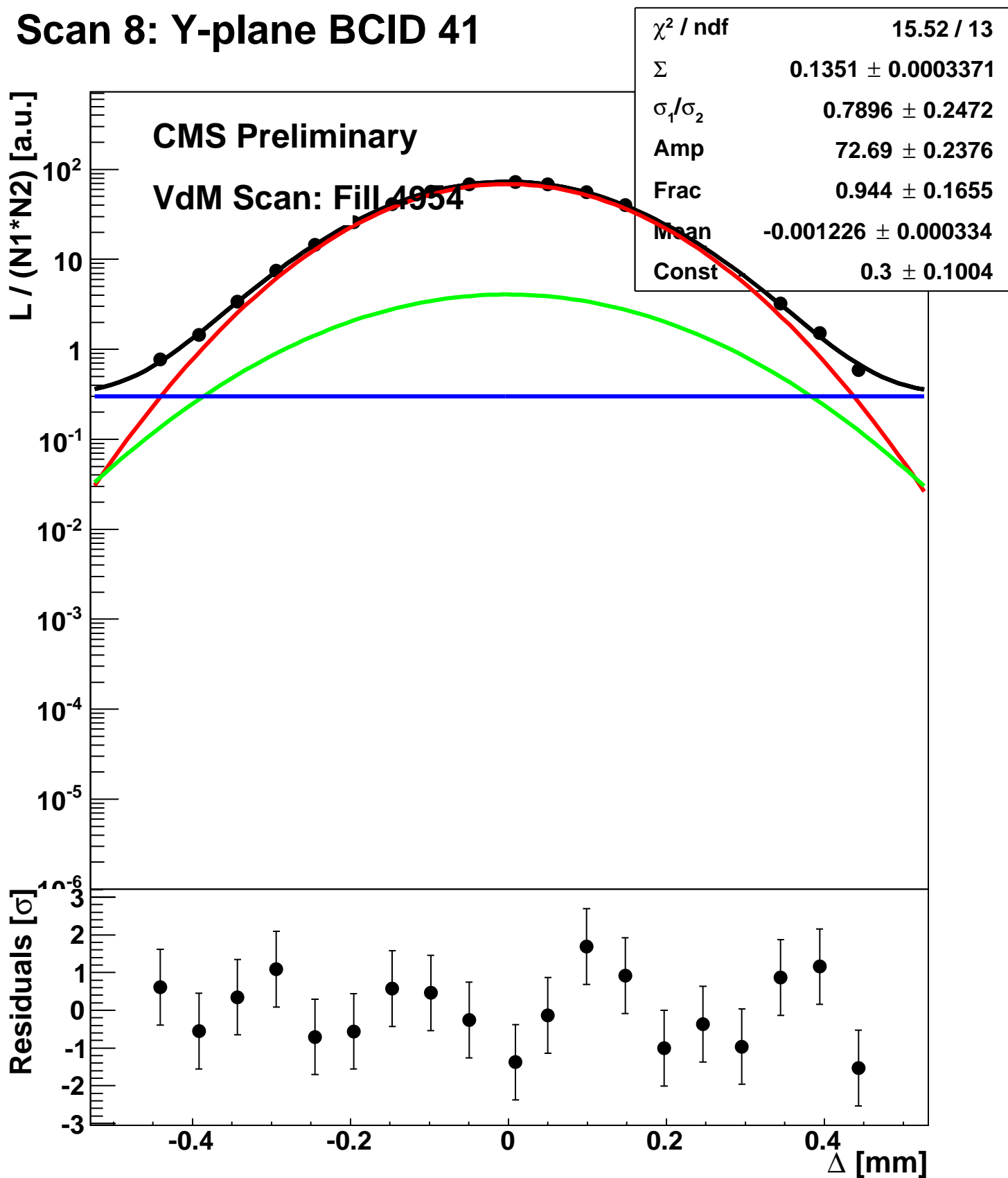
Scan 8: Y-plane BCID 2063



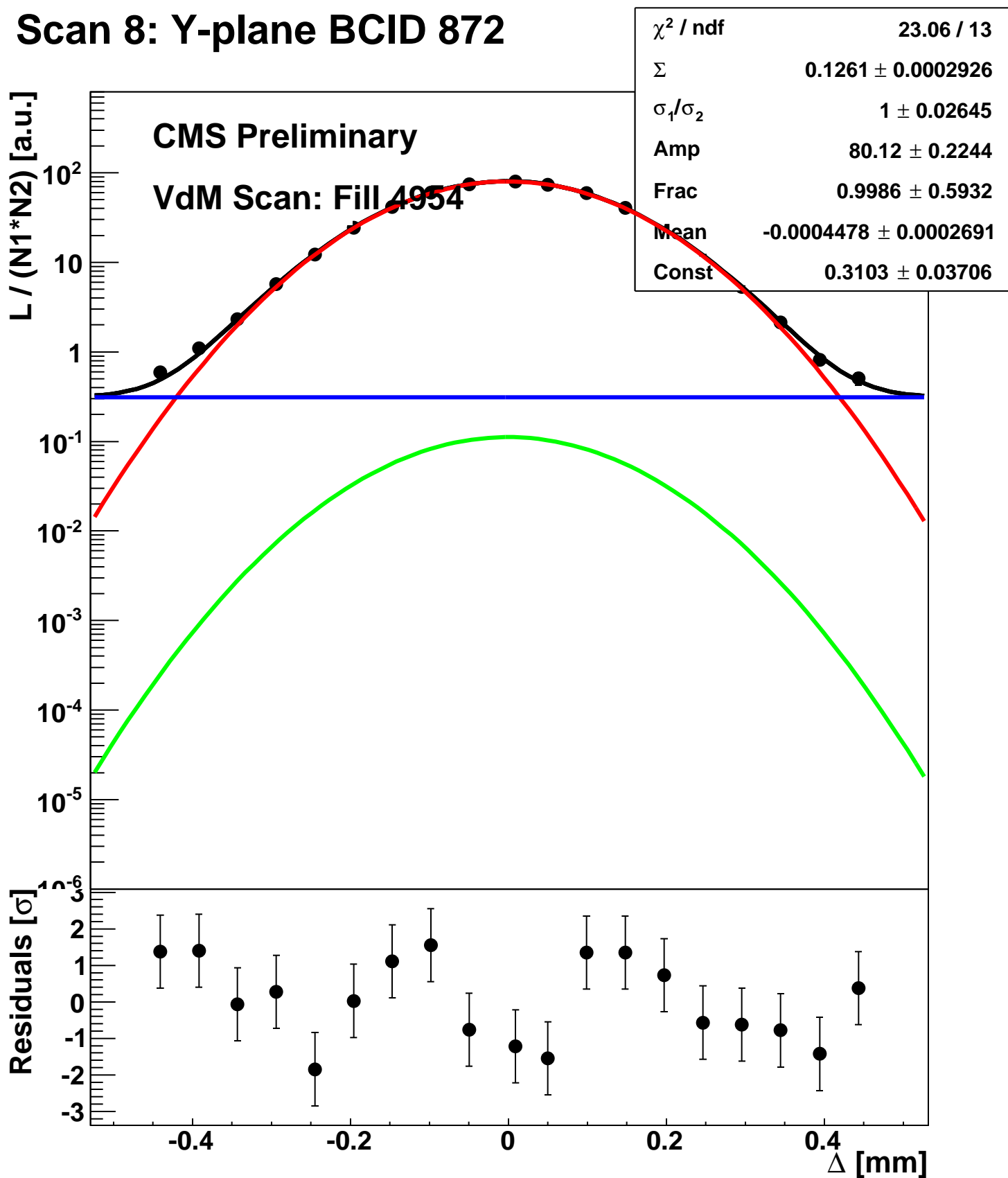
Scan 8: Y-plane BCID 281



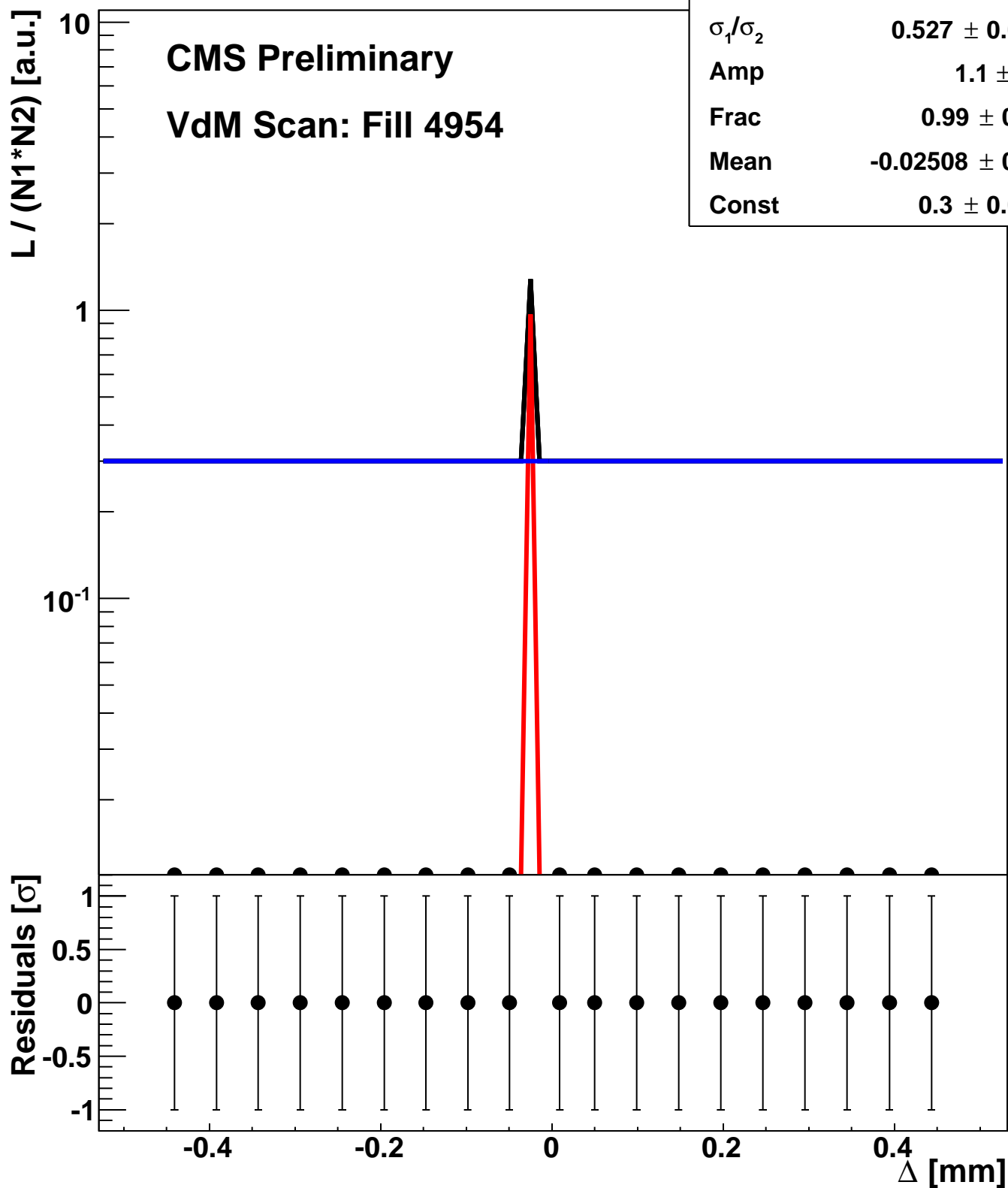
Scan 8: Y-plane BCID 41



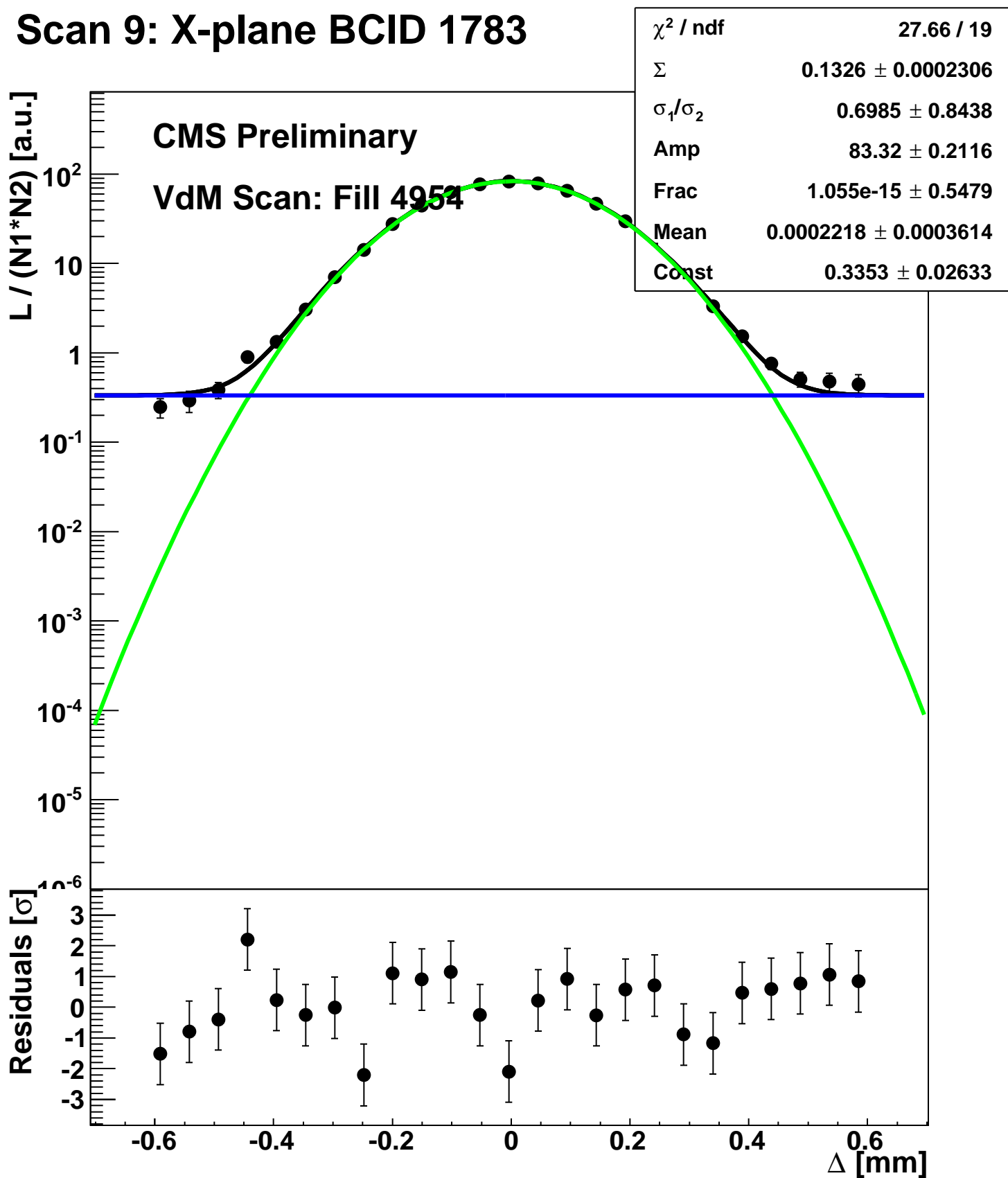
Scan 8: Y-plane BCID 872



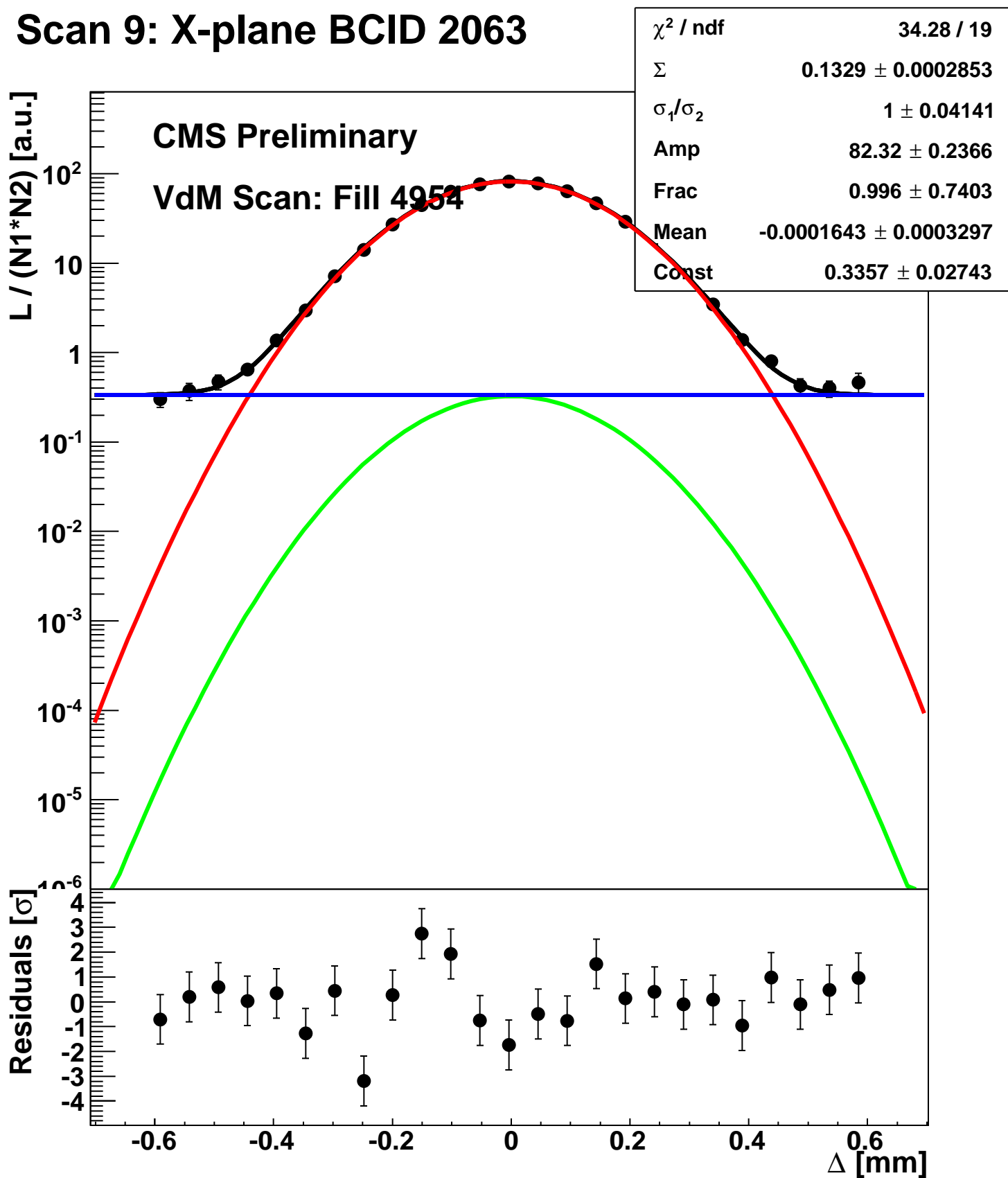
Scan 8: Y-plane BCID sum



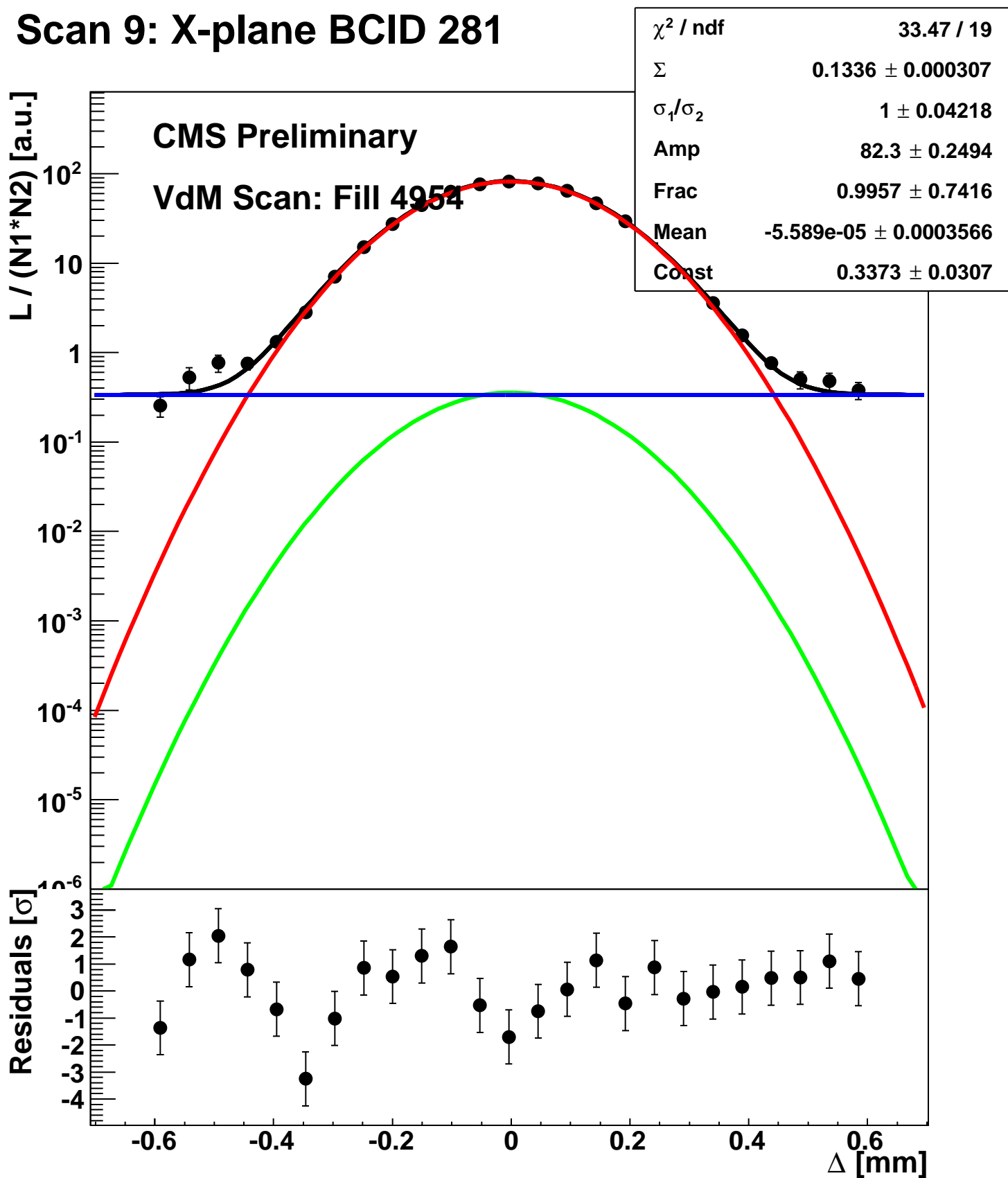
Scan 9: X-plane BCID 1783



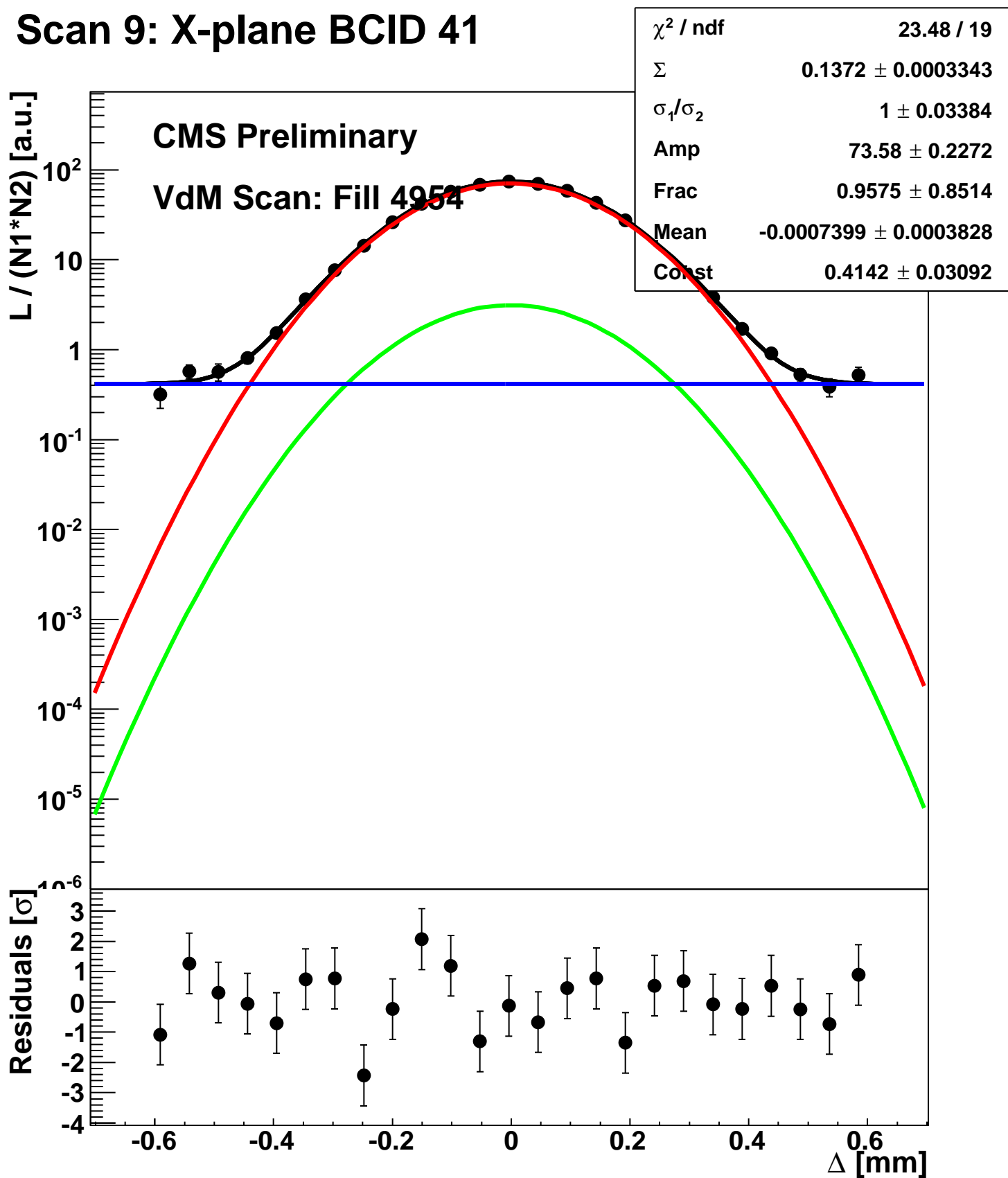
Scan 9: X-plane BCID 2063



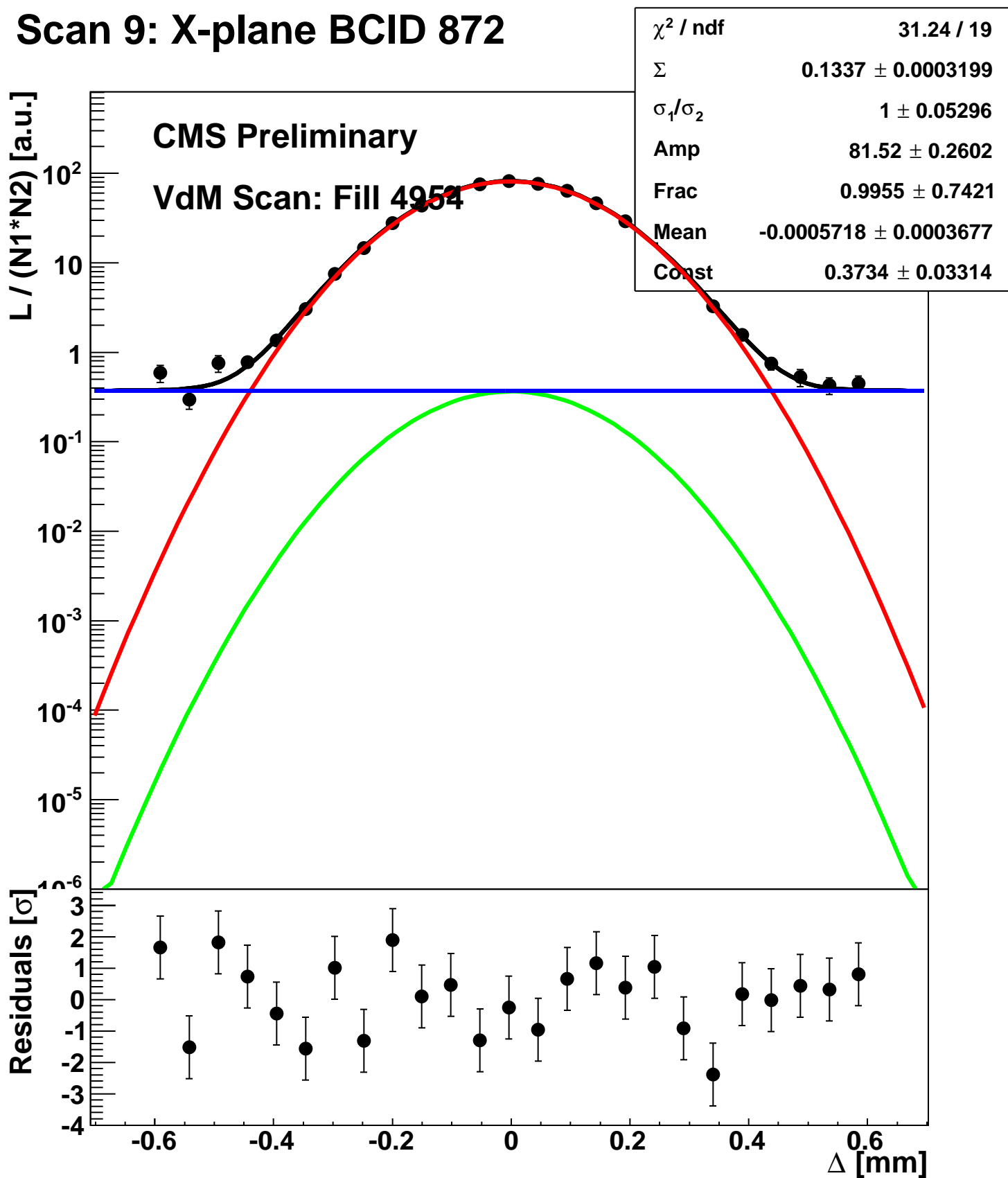
Scan 9: X-plane BCID 281



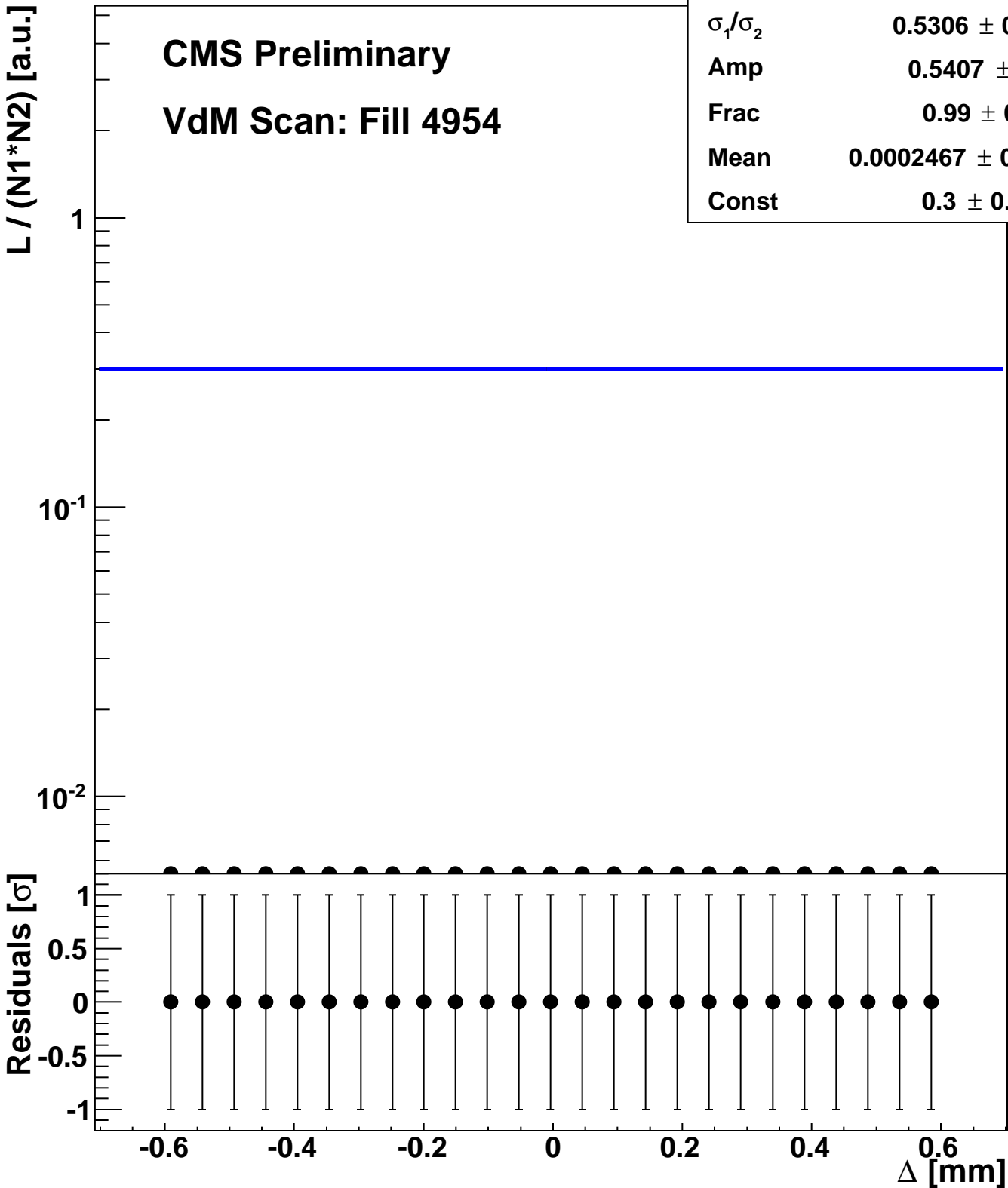
Scan 9: X-plane BCID 41



Scan 9: X-plane BCID 872



Scan 9: X-plane BCID sum



χ^2 / ndf	2.25 / 19
Σ	$9.901\text{e-}05 \pm 0.002715$
σ_1 / σ_2	0.5306 ± 0.1424
Amp	0.5407 ± 1.031
Frac	0.99 ± 0.2601
Mean	0.0002467 ± 0.4867
Const	0.3 ± 0.02231